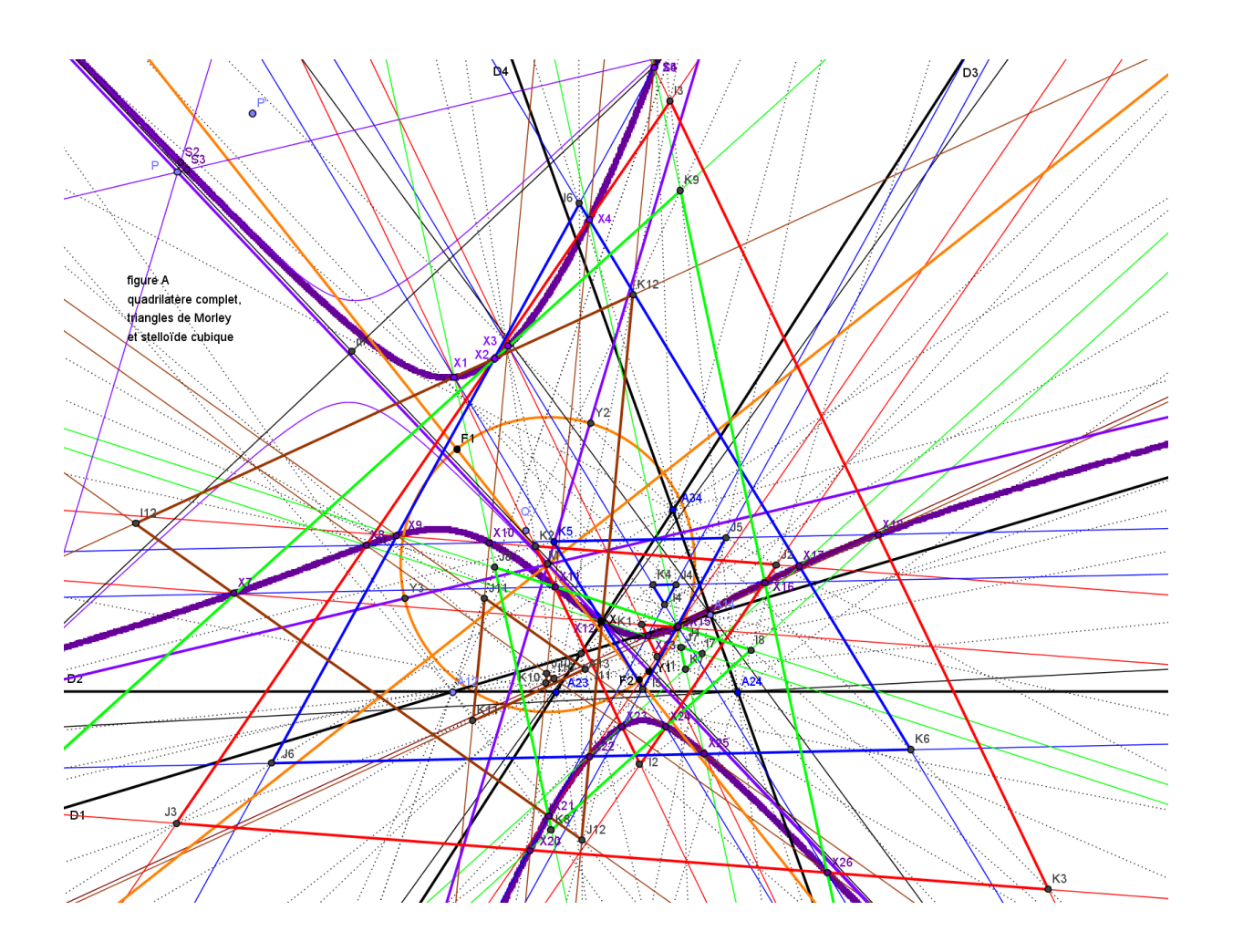
Bernard Keizer (bernard.keizer@wanadoo.fr)

Le Quadrilatère Complet et la Stelloïde Cubique



Résumé

L'article est une prolongation d'un article paru fin 2013 (*) et présentant les principales propriétés du quadrilatère complet. Il passe en revue sans les démonstrations analytiques les éléments remarquables de cette figure : points (Miquel, Kantor-Hervey, Morley ...), droites (Newton, Steiner, Euler ...), cercles (Miquel, Hervey, Plücker, Dimidium ...) et courbes classiques (parabole, deltoïde de Kantor-Hervey et cardioïdes de Morley). Surtout, il décrit la cubique de Eckart Schmidt des 27 centres de cardioïdes ou stelloïde cubique de Jules Marchand, sa hessienne ou cubique circulaire focale de Van Rees et sa cayleyenne, ainsi que 2 autres cubiques associées. L'article utilise toujours autant que possible les notations de Encyclopedia of Quadrifigures de Chris van Tienhoven (**).

Abstract

The article is a follow up of an article published at the end of 2013 (*) and presenting the main properties of the complete quadrilateral. It reviews without the analytical proofs the remarkable elements of this figure: points (Miquel, Kantor-Hervey, Morley...), lines (Newton, Steiner, Euler...), circles (Miquel, Hervey, Plücker, Dimidium...) and classical curves (parabola, Kantor-Hervey's deltoïd and Morley's cardioïds...). Above all, it describes Eckart's cubic of the 27 centers of cardioids or Jules Marchand's cubic stelloïd, it's hessian or Van Rees focal circular cubic and it's cayleyean as well as 2 other associated curves. The article uses always as much as possible the notations of Encyclopedia of Quadrifigures by Chris van Tienhoven (**).

Zusammenfassung

Der Artikel ist eine Verlängerung des Ende 2013 erschienen und die Haupteigenschaften des vollständigen Vierseits darstellenden Artikels (*). Er untersucht ohne die analytischen Beweise die merkwürdigen Elemente dieser Figur: Punkte (Miquel, Kantor-Hervey, Morley ...), Geraden (Newton, Steiner, Euler ...), Kreise (Miquel, Hervey, Plücker, Dimidium ...) und klassische Kurven (Parabel, Kantor-Hervey's Deltoïd und Morley's Kardioïden ...). Vor allem schildert sie Eckart's Kubik der 27 Kardioïde's Zentren oder Jules Marchand's kubische Stelloïde, ihre Hessesche Kurve oder Van Rees fokale zirkulare Kubik und ihre Cayleysche Kurve so wie 2 andere verbundenen Kurven. Der Artikel benutzt immer soviel wie möglich die Notierungen von Chris van Tienhoven's Encyclopedia of Quadrifigures (**).

- (*) Bernard Keizer La Géométrie du Quadrilatère Complet http://bernardkeizer.blogspot.fr
- (**) Chris van Tienhoven Encyclopedia of Quadrifigures www.chrisvantienhoven.nl

Sommaire

Introduction

Première partie : définitions et propriétés du QC

- A) Définitions du QC
- B) Propriétés du QC (Jakob Steiner)
- C) Points de Kantor-Hervey et de Morley et orthocentre du QI des Oi
- D) Autres points et propriétés remarquables
- E) Transformations et constructions

Seconde partie : courbes classiques (parabole, deltoïde et cardioïdes)

- F) Parabole tangente aux 4 droites Di et parabole associée
- G) Deltoïde tangente aux 4 droites Di
- H) Monocardioïde tangente aux 4 cercles Ci
- I) Triangles de Morley et multicardioïdes tangentes aux 4 droites Di
- J) Quartique des points de Plücker généralisés

Troisième partie : stelloïde cubique, hessienne, cayleyenne et courbes associées

- K) Stelloïde cubique de J. Marchand
- L) Hessienne de Van Rees
- M) Cayleyenne
- N) Courbes associées
- Résumé et remarques
- Tableau des éléments remarquables
- Bibliographie

Figures

- Figure A Quadrilatère complet, triangles de Morley et stelloïde cubique
- Figure B Points, droites et cercles du quadrilatère complet
- Figure C Courbes classiques : paraboles, deltoïde et cardioïdes
- Figure D Faisceau sygyzétique : stelloïde cubique, hessienne de Van Rees et hessiennes de 2 autres courbes ayant la même cayleyenne
- Figure 1 Quadrangle et triangle diagonal
- Figure 2 Quadrilatère complet
- Figure 3 Quadrilatère complet, triangle diagonal et perspectives
- Figure 4 Point et cercle de Miquel
- Figure 5 Droites de Simson, de Steiner et de Newton
- Figure 6 Centres des cercles inscrits et exinscrits
- Figure 7 Intersections des bissectrices de 2 sommets opposés
- Figure 8 Droite d'Euler du QI des Oi
- Figure 9 Points de Kantor-Hervey et de Morley
- Figure 10 Points et cercle de Plücker
- Figure 11 Droite d'Euler du QC
- Figure 12 Cercles de Miquel et de Hervey et HypEq des Oi et des hi
- Figure 13 Lieu des centres des coniques par les Oi (HypEq de centre G)
- Figure 14 Points D, point et cercle Dimidium
- Figure 15 Point de Lemoine K
- Figure 16 Droite d'Euler du triangle diagonal
- Figure 17 Hyperbole équilatère du triangle diagonal
- Figure 18 QC diagonal et 2nd triangle diagonal
- Figure 19 Coniques, points S et cercle Dimidium
- Figure 20 Transformation Clawson-Schmidt
- Figure 21 Transformations Clawson-Schmidt du QC et du QC diagonal
- Figure 22 Droite QQ' et cercle de Plücker et autres droites et cercles conjugués
- Figure 23 Transformation harmonique
- Figure 24 Réciprocité polaire et cercle de Clawson
- Figure 25 Construction de Chasles et trisection de l'angle

- Figure 26 Parabole tangente aux 4 droites Di
- Figure 27 Parabole associée et parabole du QC diagonal
- Figure 28 Deltoïde tangente aux 4 droites Di
- Figure 29 Monocardioïde tangente aux 4 cercles Ci
- Figure 30 Triangles de Morley et centres des 27 multicardioïdes tangentes aux 4 droites Di
- Figure 31 Trois cardioïdes tangentes aux 4 droites Di
- Figure 32 Quartique des points de Plücker généralisés
- Figure 33 Stelloïde cubique conjuguée du quadrilatère complet
- Figure 34 Trois pivots de la stelloïde cubique
- Figure 35 Conique polaire de la SC ou hyperbole équilatère
- Figure 36 Hessienne de Van Rees et conique polaire dégénérée de la SC
- Figure 37 Triangle de pivots principal
- Figure 38 Conique apolaire de la SC et inscrite dans le QC
- Figure 39 Stelloïde cubique, hessienne et cayleyenne
- Figure 40 Points d'inflexion et d'intersection de la stelloïde cubique et de la hessienne et tangentes communes à la hessienne et à la cayleyenne
- Figure 41 Poles d'une droite passant par 2 points conjugués de la hessienne
- Figure 42 Hessienne de van Rees et hessiennes de 2 autres courbes ayant la même cayleyenne que la stelloïde cubique

Ces figures ont été réalisées avec Géogébra version 4.2

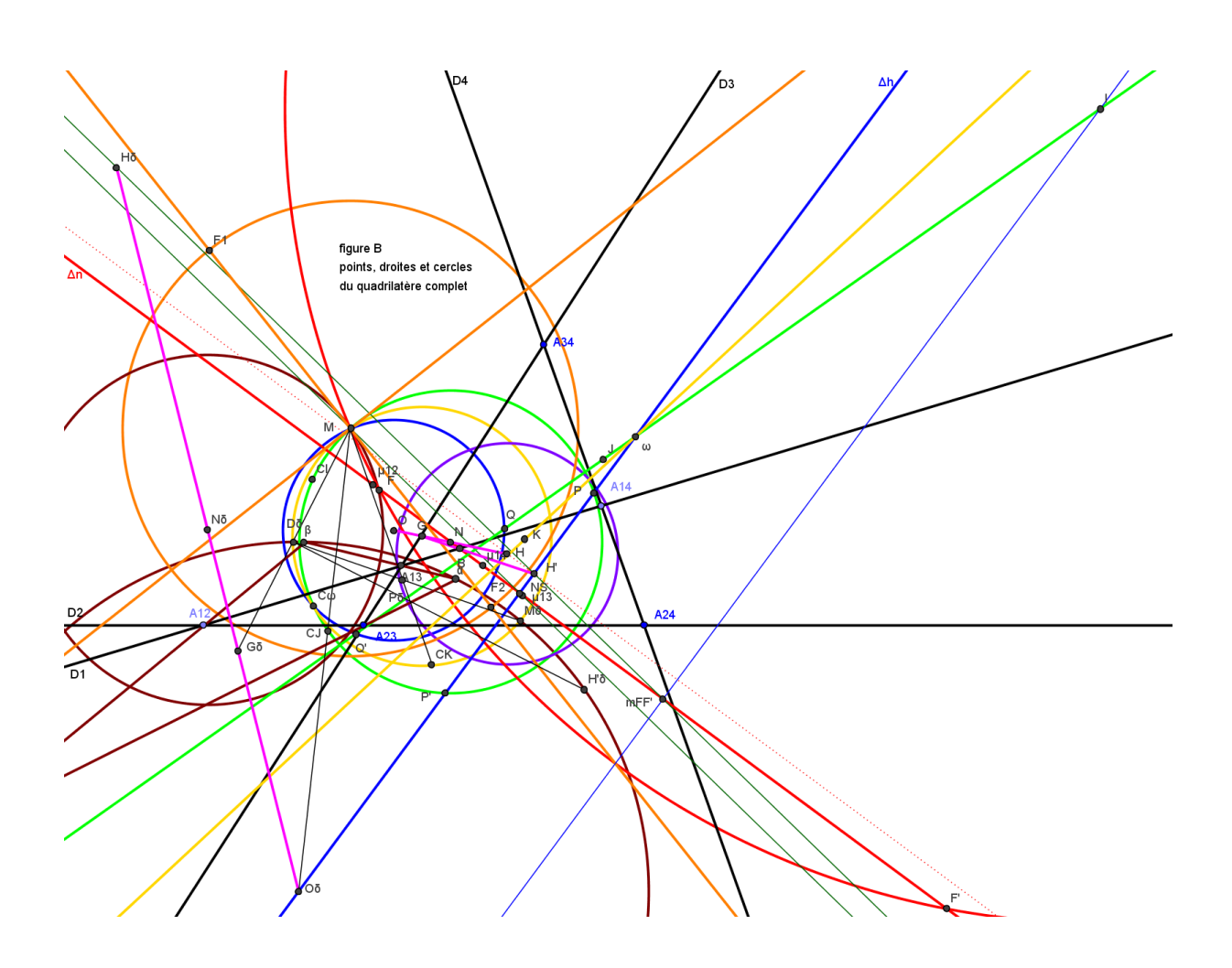
Introduction

- Le premier article mentionné ci-dessus page 2 s'achevait sur la découverte par Eckart Schmidt de la cubique des 27 centres des cardioïdes inscrites dans le quadrilatère complet et sur les multiples correspondances entre les courbes décrites mettant en évidence des relations d'angles entre leurs axes et asymptotes. Il était clair que le quadrilatère complet n'avait pas encore révélé tous ses mystères.
- Le groupe de travail Quadrifigures a poursuivi ses recherches autour de Chris van Tienhoven, Eckart Schmidt et le spécialiste en matière de cubiques Bernard Gibert. Je tiens à les remercier tous les trois chaleureusement pour les échanges fructueux et les progrès considérables réalisés depuis un an.
- Bernard Gibert a consacré à la cubique de Eckart une étude très complète (*) et signalé
 qu'elle était en fait la stelloïde cubique conjuguée du quadilatère complet décrite par
 Jules Marchand dans un article resté assez confidentiel paru dans la revue Bulletin de
 la société vaudoise de sciences naturelles (Lausanne, Suisse) (**)
- J'ai pu me procurer cet article grâce à l'obligeance du service de documentation de l'Institut de géologie et poursuivre alors les réflexions entamées ; cet article a, depuis lors, été numérisé et est désormais disponible sur Internet.
- J'ai enfin découvert dans une brochure de l'APMEP (***) la construction de Chasles utilisée pour la trisection de l'angle, ce qui m'a permis de réaliser, toujours avec Géogebra, un grand nombre de figures illustratives des propriétés décrites (notamment axes de la deltoïde, triangles de Morley et asymptotes de la stelloïde cubique).
- Ce second article reprend rapidement les principales propriétés du quadrilatère complet et montre, en étudiant la stelloïde cubique et ses courbes dérivées, hessienne et cayleyenne, l'unité profonde de cette figure liée à la trisection de l'angle.

- (*) Bernard Gibert 2013 Inscribed Cardioïds and Eckart Cubics
- (**) Jules Marchand 1937 Géométrie du quadrilatère complet
- (***) Roger Cuppens Faire de la géométrie supérieure en jouant avec Cabri-géométre II Bulletins de l'APMEP n° 124 et 125

Première partie

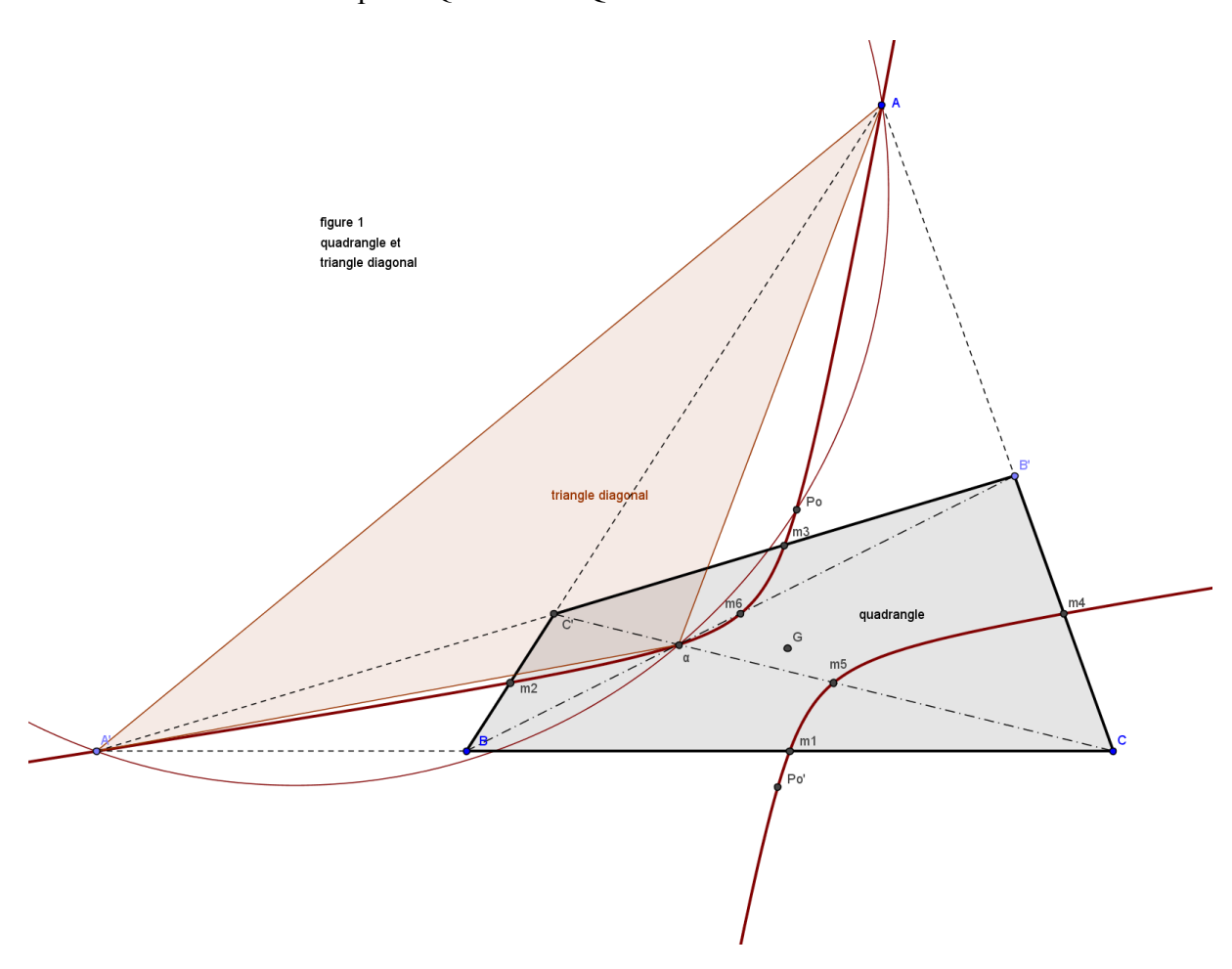
Définitions et propriétés du Quadrilatère Complet



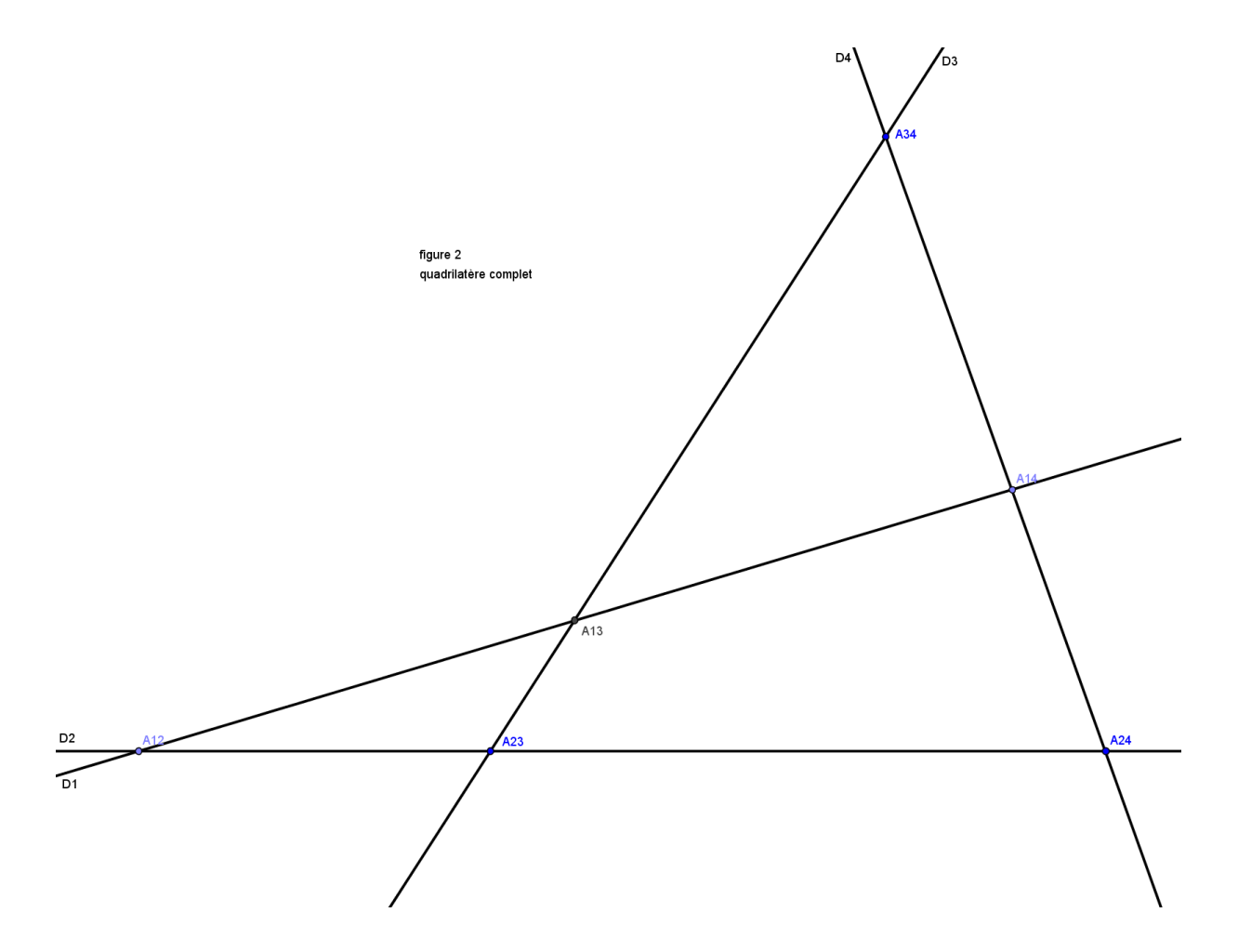
A) Définitions du Quadrilatère Complet

(figures 1, 2 et 3) (cf C.A. van Tienhoven dans EQF)

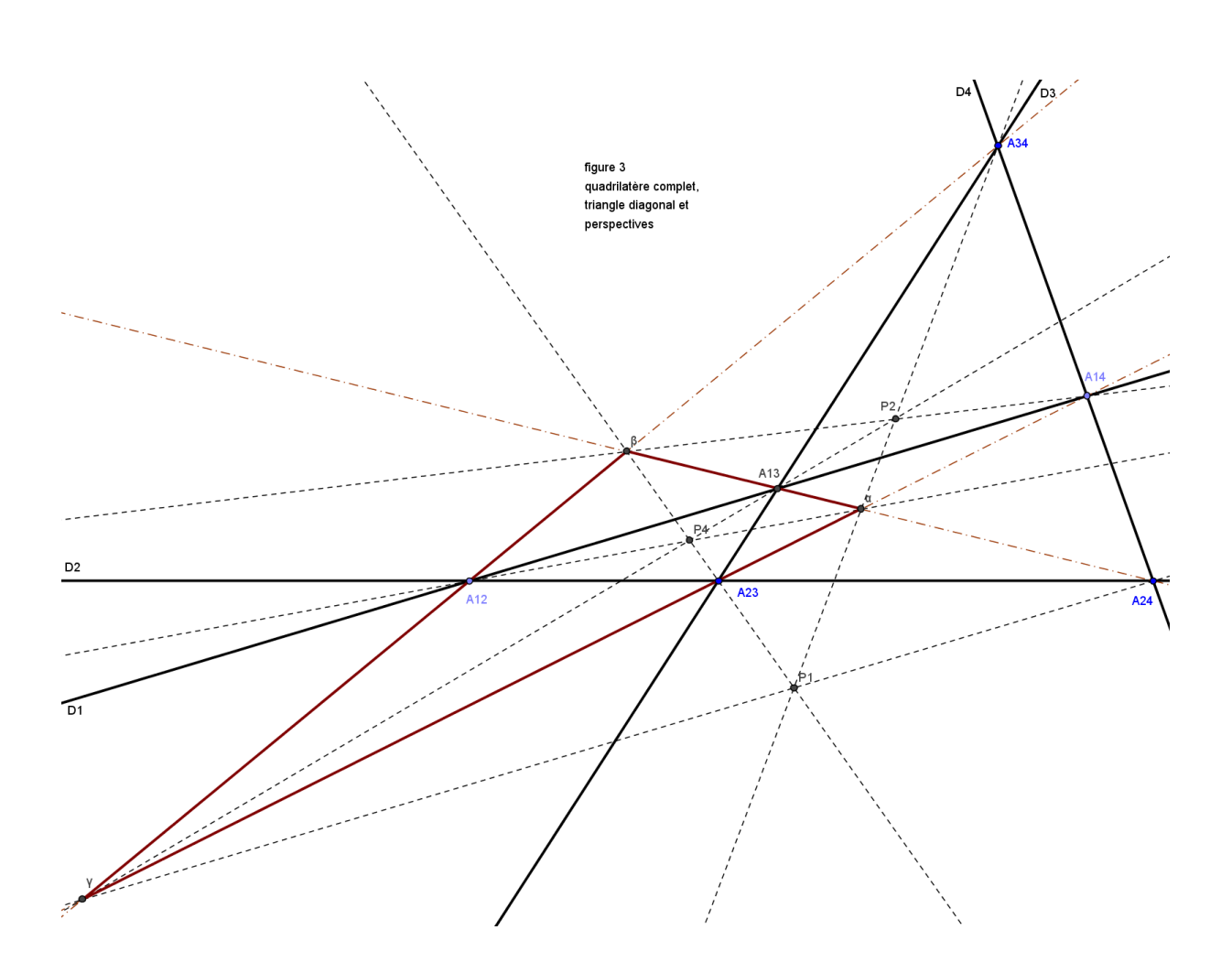
- Un quadrangle ou QA est déterminé par 4 points dans un ordre donné ; il a 4 côtés et 2 diagonales. Les intersections des 2 couples de côtés opposés et des 2 diagonales constituent le triangle diagonal du quadrangle.
- Le lieu des centres des coniques passant par les 4 points est la conique Γ des 9 points.
 Le centre g de la conique est le milieu commun des 3 segments joignant les milieux des 2 couples de côtés opposés et ceux des diagonales ; c'est le point QA-P1 de EQF et Γ est la conique QA-Co1 dans EQF.
- Cette conique passe par un certain nombre de points intéressants :
 - o les 6 milieux des 4 côtés opposés et des 2 diagonales
 - o les 3 sommets du triangle diagonal A, A' et α
 - o le point Po ou point d'Euler-Poncelet du QA: c'est le point d'intersection des 4 cercles d'Euler des 4 triangles formés par 3 points du QA. Po est le point QA-P2 de EQF; il est sur le cercle circonscrit au triangle diagonal, cercle QA-Ci1 de EQF.
 - o Po est le centre de l'unique hyperbole équilatère passant par les 4 points ; c'est la conique QA-Co2 de EQF.
 - o le point Po' ou point de Gergonne-Steiner du QA; c'est l'intersection des 4 cercles passant par les milieux des 3 segments joignant 1 sommet du QA aux 3 autres et le symétrique de Po par rapport au centre g. Po'est le point QA-P3 de EQF.



- Lorsque les 4 points sont cocycliques, le QA devient un QI et les points étudiés se simplifient; le point de Gergonne-Steiner Po' est confondu avec le centre du cercle circonscrit aux 4 points et le point d'Euler-Poncelet est le symétrique de ce centre par rapport à l'isobarycentre des 4 points ou anticentre du QI et le symétrique du centre du cercle circonscrit par rapport à l'anticentre est l'orthocentre du QI.
- Lorsque les 4 points forment un ensemble tel que l'un des 4 est l'orthocentre du triangle formé par les 3 autres, le QA est dit orthocentrique; les coniques passant par les 4 points sont des hyperboles équilatères, dont le centre est sur le cercle d'Euler des 4 triangles.
- Un quadrilatère complet ou QC est défini par 4 droites Di ou par leurs 6 points d'intersection 2 à 2 Aij, déterminant 12 côtés AijAik et 3 diagonales AijAkl. On note qu'un QC comprend 3 QA, dont les diagonales sont 2 des 3 diagonales du QC. Sur la figure 2, les 3 QA sont A13A14A24A23, A23A34A14A12 et A13A34A24A12.
- A l'inverse, on passe d'un QA à un QC en prolongeant les côtés tronqués du QA (d'où l'appellation de quadrilatère complet) ; ainsi, A13A23 et A14A24 se coupent en A34 et A13A14 et A23A24 en A12. Comme il y a 3 manières de joindre 4 points 2 à 2, un ensemble de 4 points détermine 3 QC différents, chaque couple de points étant tour à tour côté ou diagonale ; le QC d'origine détermine 3 QA et chaque QA détermine à son tour 2 autres QC associés au premier. Au total, il y a donc 7 QC différents formés par 4 droites : D1, D2, D3 et D4 pour le QC d'origine et 2 des 4 droites avec 2 des 3 diagonales pour les 6 autres.



- Le QC est ainsi la figure duale du QA, les 4 points étant remplacés par 4 droites Di.
- Le QC comprend 4 triangles de référence, chacun étant déterminé par 3 des 4 droites. On appelle Ti le triangle déterminé par les 3 droites Dj, Dk et Dl, Ci son cercle circonscrit, de centre Oi et de rayon Ri, Gi son centre de gravité, Hi son orthocentre et Ni le centre de son cercle d'Euler, de rayon ri = 1/2 Ri.
- Le triangle diagonal du QC est déterminé par les 3 diagonales ; il est en perspective avec chacun des 4 triangles de référence, le centre de perspective ou dual de la droite Di étant appelé Pi.
- Par chaque sommet du QC, il passe 2 côtés, une diagonale qui porte le sommet opposé du QC et 2 sommets du triangle diagonal et une droite passant par le 3^{ème} sommet du triangle diagonal qui porte 2 centres de perspective.
- Ces 4 droites forment un faisceau harmonique et toutes les divisions de segments sont harmoniques : ainsi, sur la figure 3, A12A34 est partagé harmoniquement par β et γ, A34α est partagé harmoniquement par P1 et P2 et coupe A23A24 en un point conjugué harmonique de A12 par rapport à A23 et A24.
- On appelle $\mu ij = \mu kl$ le milieu du segment AijAkl.

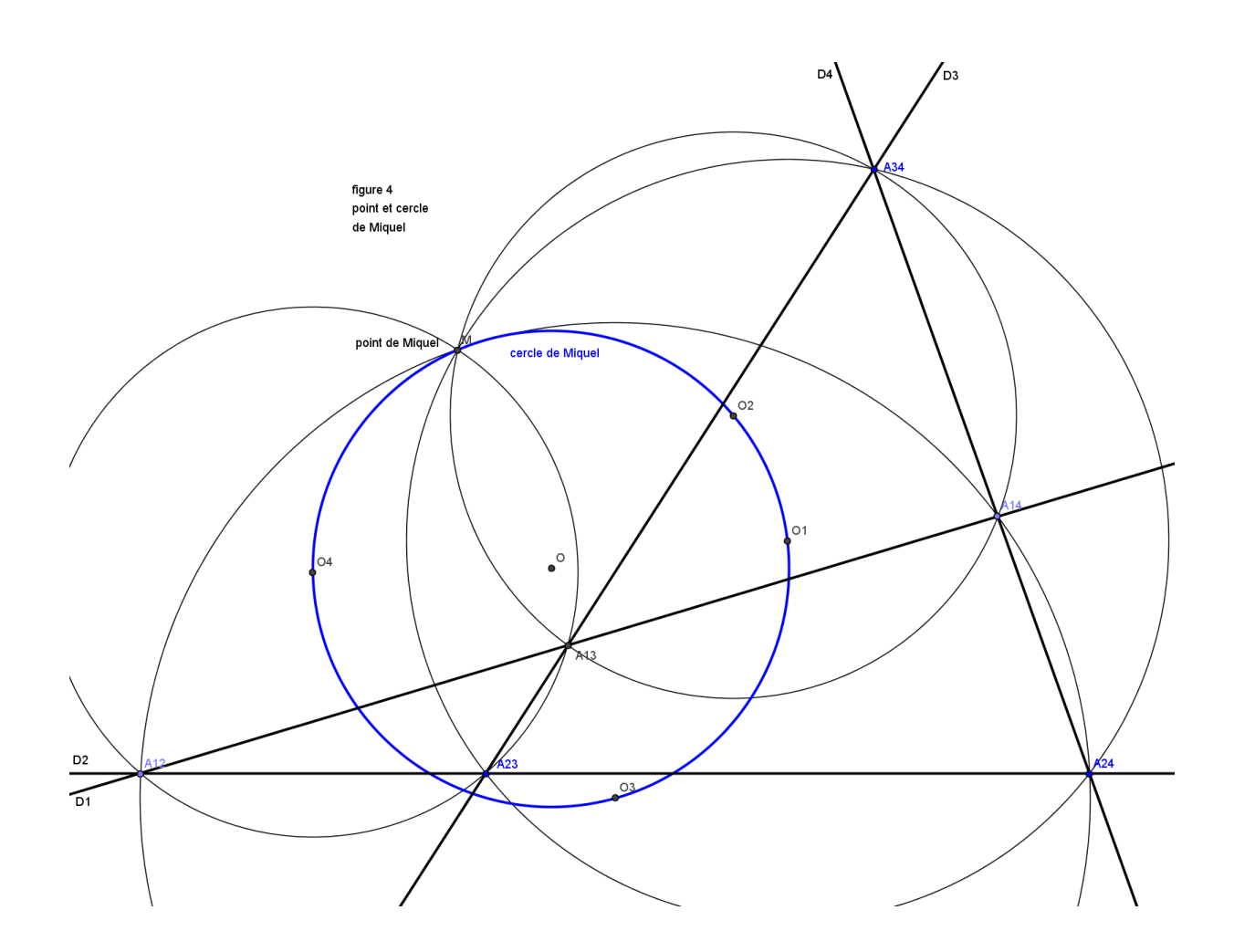


B) Propriétés du Quadrilatère Complet (Jakob Steiner)

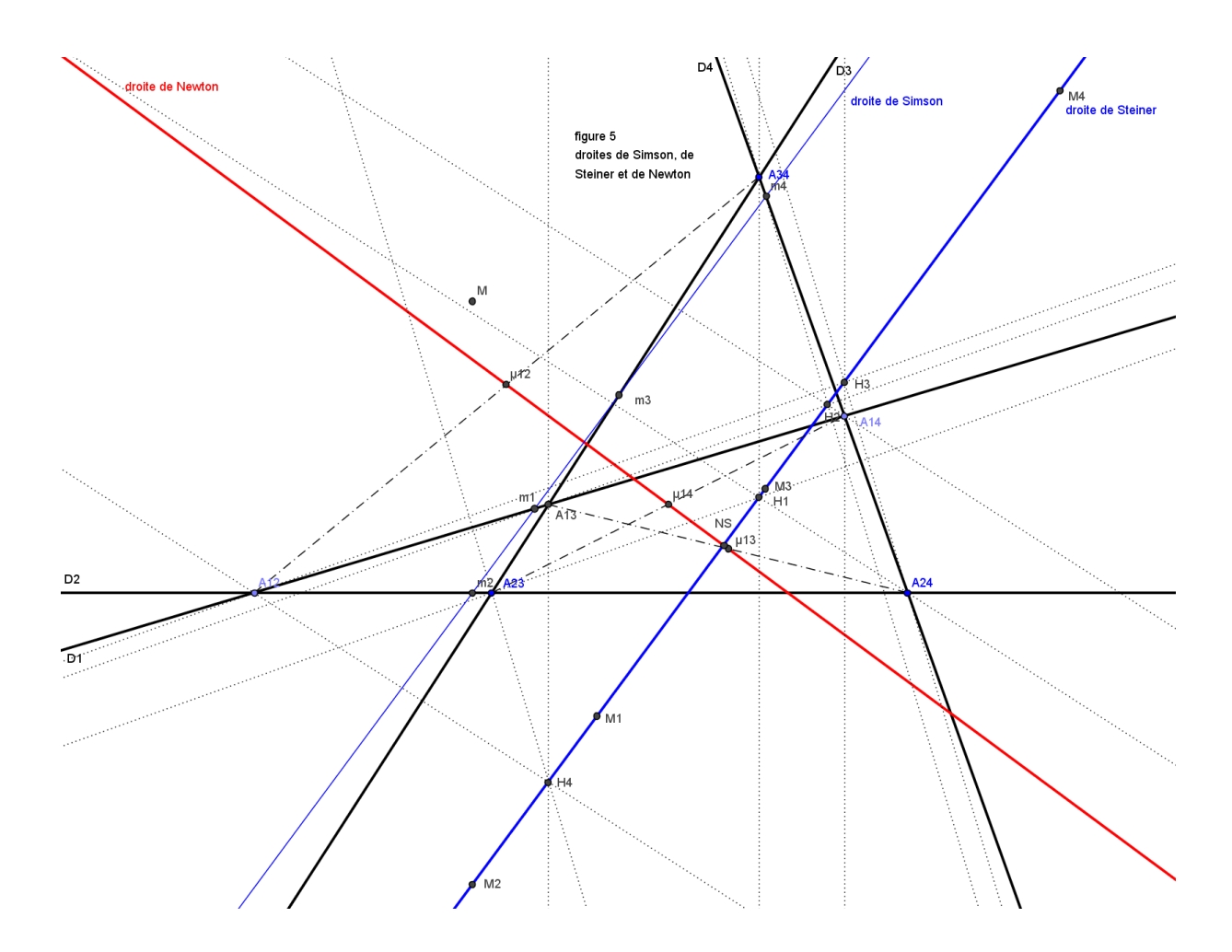
(figures 4, 5, 6 et 7) (cf J. Steiner (1), A. Miquel (3), A. Oppermann (12), J.W. Clawson (13), J.P. Ehrmann (23) et J.L. Aymé (28))

Le texte fondateur de Jakob Steiner (1) contient les 10 points suivants (St1 à St10) :

- Les 4 cercles Ci passent par un même point M, appelé point de Miquel (St1); M est le point QL-P1de EQF.
 - (on démontre classiquement cette propriété en utilisant le théorème du pivot et la similitude des triangles MAikAil et MAjkAjl, qui laisse M invariant et transforme Aik en Ajk et Ail en Ajl, Di en Dj et Ci en Cj (3)).
- Les 4 points Oi et le point M appartiennent à un même cercle C de centre O, appelé point centrique du QC et de rayon OM = r, appelé cercle centrique ou de Miquel (St2). O est le point QL-P4 de EQF et C est le cercle QL-Ci3 de EQF.



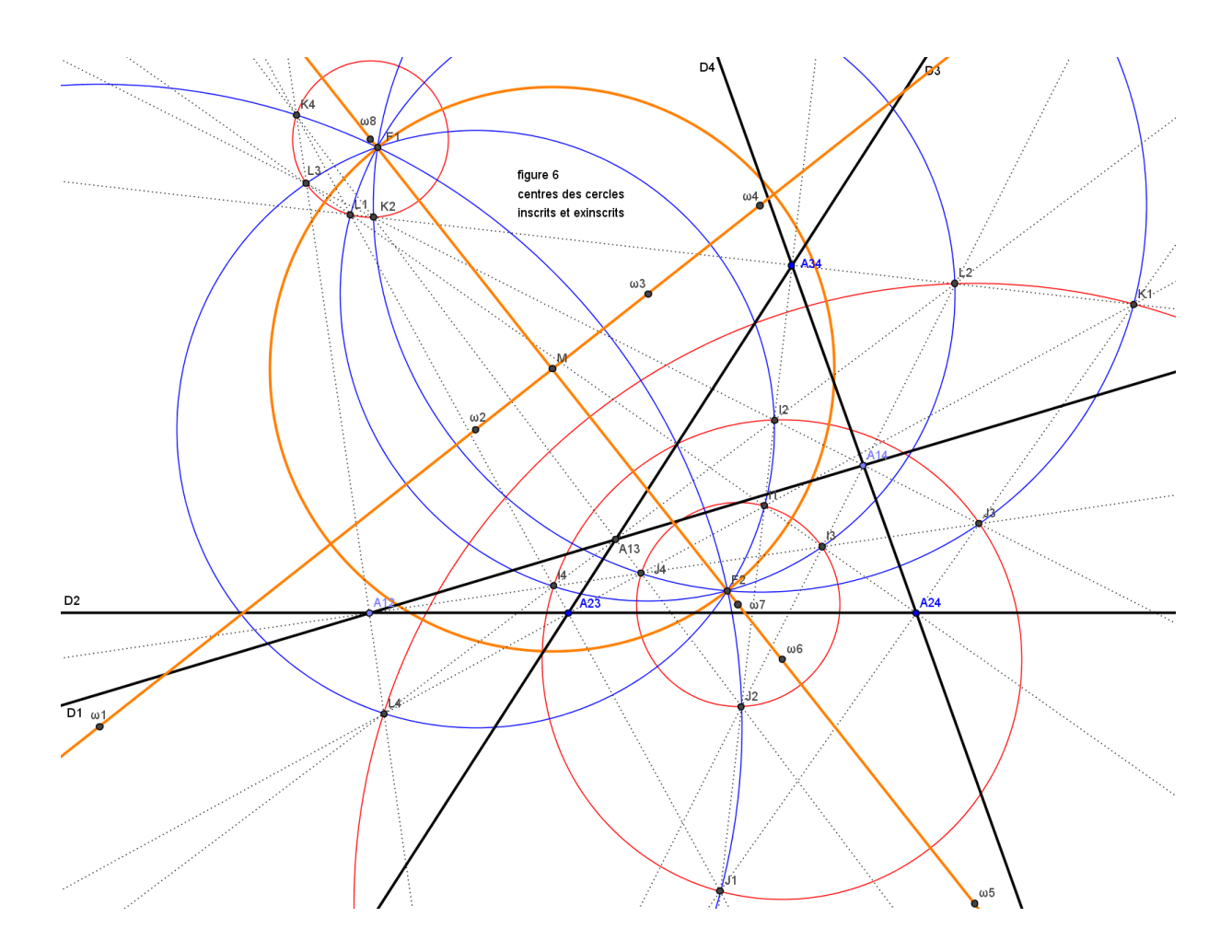
- Les projections orthogonales mi de M sur les 4 droites Di sont alignées sur la droite δ, droite de Simson de M par rapport aux 4 triangles Ti (St3).
- Les symétriques Mi de M par rapport aux points mi (et par rapport aux droites Di) et les orthocentres Hi sont alignés sur la droite Δh, droite de Steiner de M par rapport aux 4 triangles Ti et appelée droite de Steiner-Miquel du QC (St4).
- Les droites de Simson δ et de Steiner Δh sont parallèles et Δh se déduit de δ dans une homothétie de centre M et de rapport 2 (St5).
 - δ et Δh sont les droites QL-L3 et QL-L2 de EQF.
- Les 3 milieux des diagonales μij, μik et μil sont alignés sur une droite Δn, appelée droite de Newton du QC (St6). Δn est la droite QL-L1 de EQF (33).
 - (J.L. Aymé a recensé, dans un petit ouvrage passionnant, une trentaine de manières d'établir cette propriété)
- La droite de Newton Δn est perpendiculaire aux droites δ et Δh (St7).
 - (on appelle point de Newton-Steiner le point d'intersection NS des droites de Newton et de Steiner ; c'est le point QL-P7 de EQF)



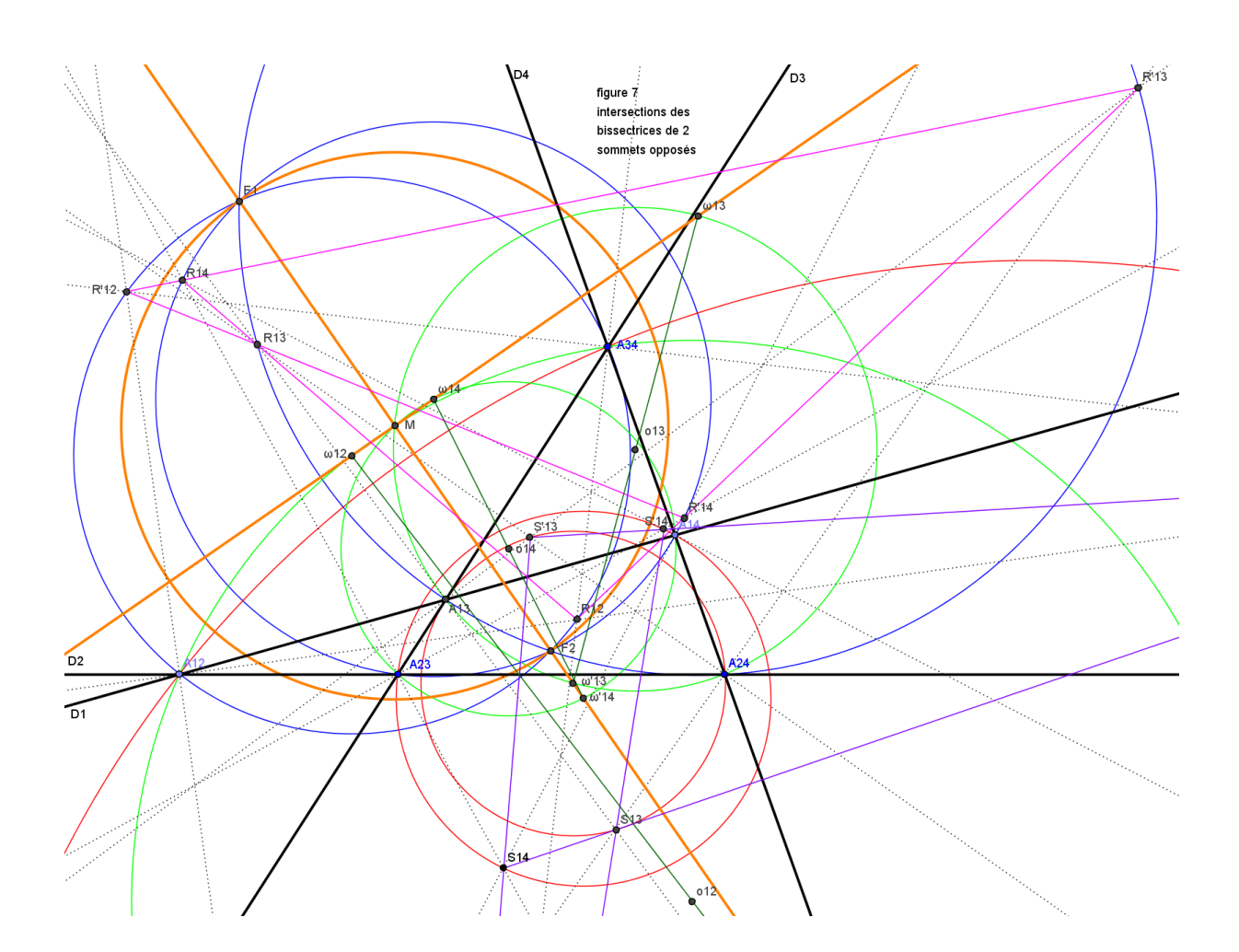
- Les bissectrices intérieures et extérieures des angles aux sommets Aij sont au nombre de 12; elles déterminent 16 centres des cercles inscrits et exinscrits dans les triangles Ti, chaque point étant, par construction, à l'intersection de 3 droites. Ces points sont, 4 par 4, sur les 12 bissectrices et, toujours 4 par 4, sur 8 cercles, chaque point étant à l'intersection de 2 cercles (St8).
- Ces cercles forment 2 faisceaux orthogonaux de 4 cercles chacun et leurs centres sont sur 2 droites perpendiculaires, 4 sur l'une et 4 sur l'autre (St9).

Selon EQF, le barycentre des 8 centres est le point O, centre du cercle de Miquel.

- Ces 2 droites se coupent au point de Miquel M (St 10).
- On verra que ces 2 droites sont les bissectrices communes des angles AijMAkl. Les points caractéristiques de ces 2 faisceaux (de base pour l'un, de Poncelet pour l'autre) sont les 2 points F1 et F2 invariants de la transformation Clawson-Schmidt (cf fin du point E) et intersections du cercle d'inversion avec une des bissectrices.
- Si l'on oriente les 4 droites Di, il n'y a qu'un cercle tangent à chaque ensemble de 3 droites et seulement 4 points sur un cercle au lieu de 16 sur 8 cercles. Si l'on choisit, par exemple, l'orientation donnée aux Di par la parabole (cf partie F), on a les points L1, K2, L3 et K4 sur le cercle de centre ω8; si l'on retient l'orientation donnée aux Di par la deltoïde (cf partie G), on a les points I1, J2, I3 et J4 sur le cercle de centre ω7.



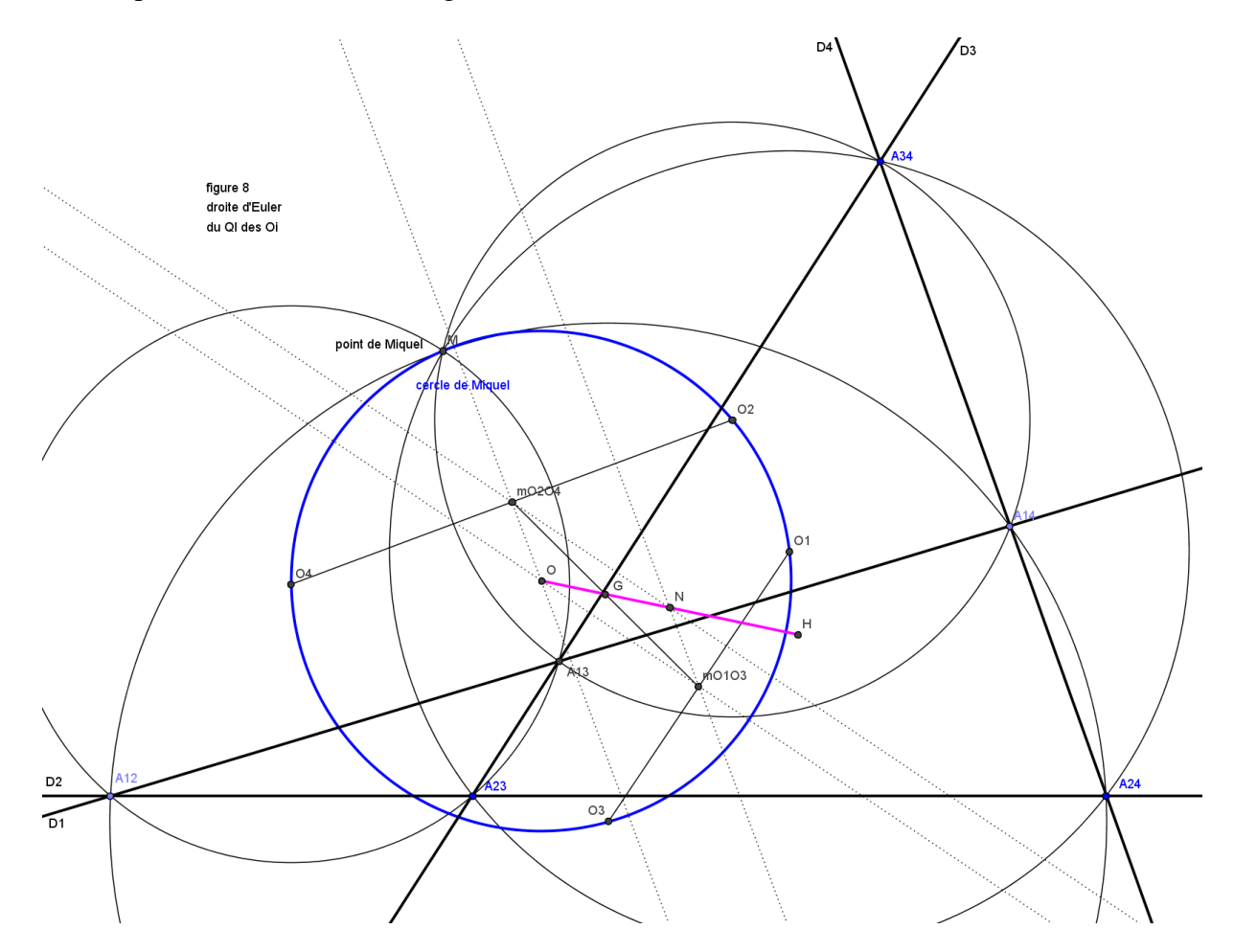
- Les bissectrices intérieures et extérieures des angles en 2 sommets opposés Aij et Akl se coupent en 4 points Rij et R'ij et Sij et S'ij.
- Rij et R'ij sont sur un cercle passant par les sommets opposés Aij et Akl et par F1 et F2.
- Sij et S'ij sont sur un cercle passant aussi par les sommets Aij et Akl et centré sur l'axe F1F2 (ainsi orthogonal au précédent).
- Ces 2 cercles, mentionnés par Jules Marchand, appartiennent aux 2 faisceaux de cercles décrits par Steiner.
- Les 4 points Rij, R'ij, Sij et S'ij constituent un quadrangle orthocentré; le cercle d'Euler commun aux 4 triangles du QA passe par le point M.
- Rij, Rik et Ril sont alignés, ainsi que Rij, R'ik et R'il; de même, Sij, Sik et Sil sont alignés, ainsi que Sij, S'ik et S'il. L'ensemble de ces alignements dessine une jolie toile d'araignée.



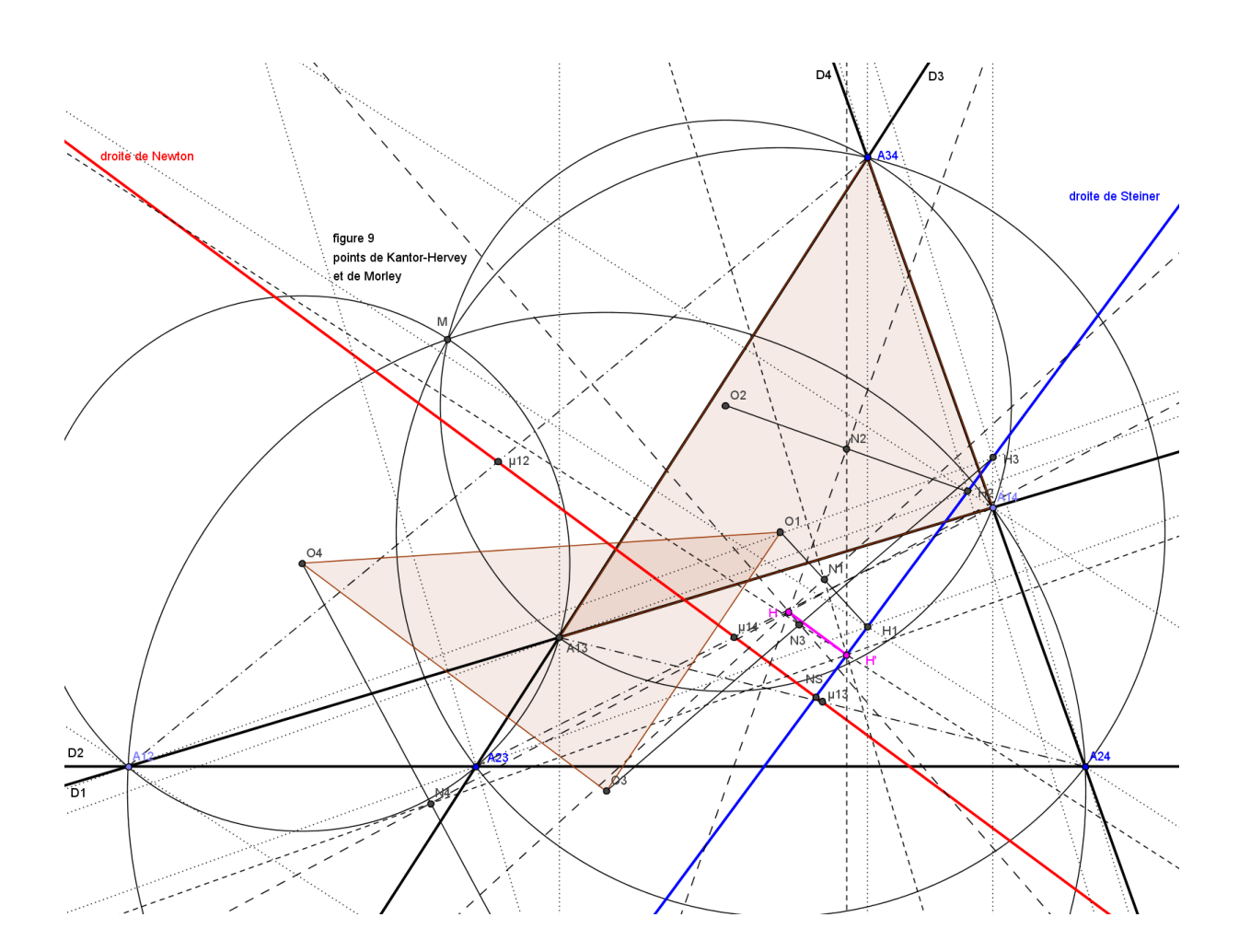
C) Points de Kantor-Hervey et de Morley et orthocentre du QI des Oi

(figures 8, 9, 10, 11, 12 et 13) (cf S. Kantor (5), F.R.J. Hervey (6), V. Thébault (17), H.E. Fettis (19), J.L. Aymé (28) et A. Levelut (29)

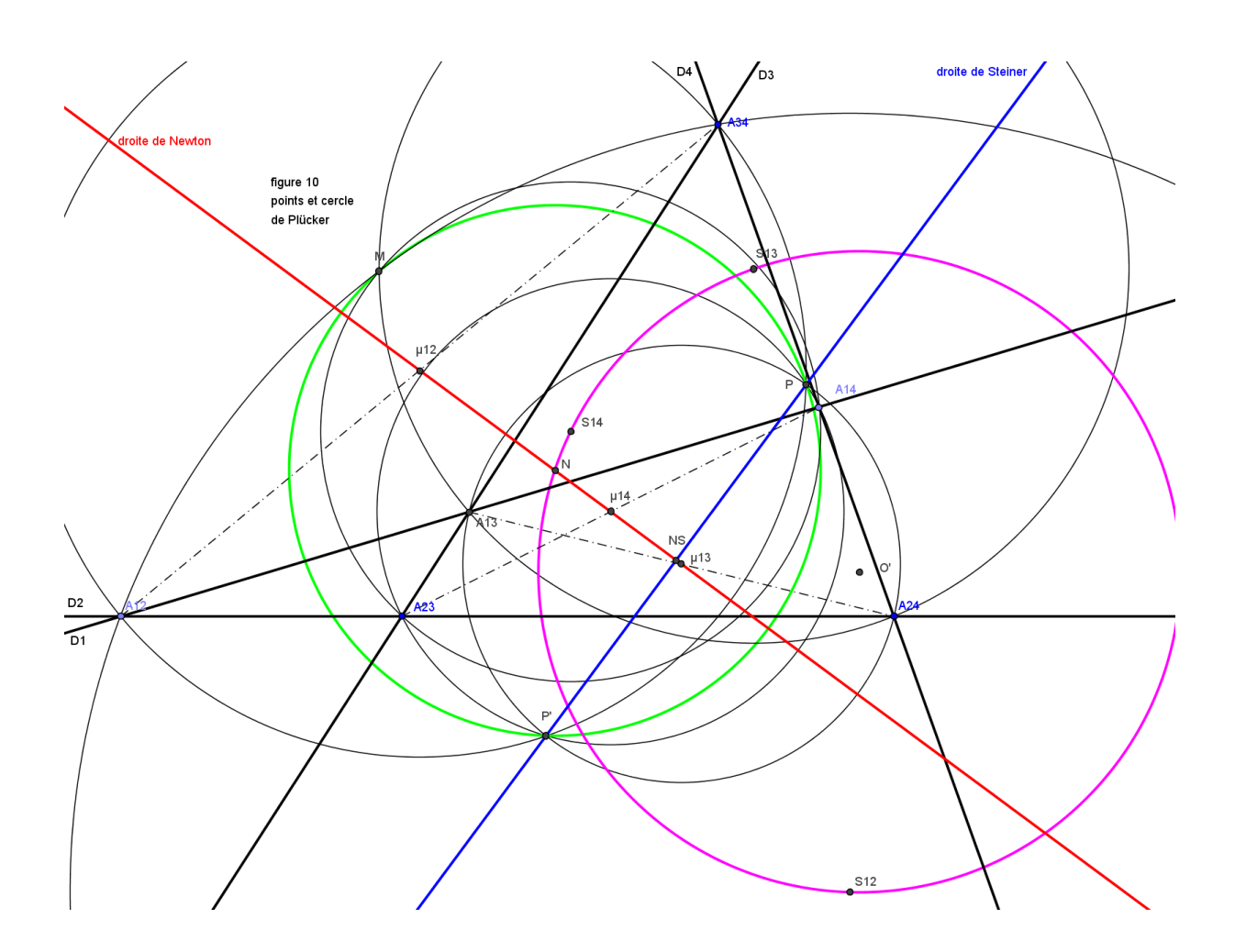
- On considère le QI formé par les 4 points Oi, centres des cercles circonscrits aux triangles de référence. On appelle G l'isobarycentre des Oi, N l'anticentre du QI et H son orthocentre; on a **OH** = **2 ON** = **4 OG** = ∑ **OOi.** G, N et H sont appelés respectivement QL-P6, QL-P5 et QL-P3 dans EQF.
- OH est la droite d'Euler du QI formé par les Oi.
- G est le milieu des segments joignant les milieux de 2 côtés opposés ou de 2 diagonales.
- N est le point de concours des perpendiculaires à un côté ou une diagonale menées respectivement par le milieu du côté opposé ou de l'autre diagonale.
- On a défini les 4 triangles de référence Ti (cf page 10).
- On définit les 4 triangles ti de sommets OjOkOl; le centre de leur cercle circonscrit est O, leurs orthocentres hi et leurs centres des cercles d'Euler ni, milieux de Ohi.
- Di est la droite de Steiner de M par rapport au triangle ti ; elle passe par hi.
- On a Ohi = \sum OOj avec j \neq i et Ohi + OOi = 2 ON = OH. N est le milieu de OH et des segments Oihi.
- On définit les 4 triangle t'i de sommets hjhkhl; le centre de leur cercle circonscrit est le point H, leurs orthocentres les 4 points Oi et leurs centres des cercles d'Euler les points n'i, milieux des segments HOi.



- Les 4 médiatrices des segments d'Euler OiHi concourent au point de Kantor-Hervey, qui est précisément le point H, orthocentre du QI des Oi.
 (cette propriété, énoncée sans démonstration par Kantor et démontrée ensuite par Hervey, se démontre en utilisant la similitude Si de centre M, de rapport 1/2cosθi et d'angle θi, où θi est l'angle orienté (Δh,Di) défini m° 2π; elle transforme le triangle Ti dans le triangle ti et la droite de Steiner du premier, Δh dans celle du second, Di.)
- Les perpendiculaires aux droites Di menées par les milieux Ni des segments d'Euler, centres des cercles d'Euler des triangles de référence, concourent au point H' appelé point de Morley; c'est le point QL-P2 de EQF.
- Ce point H' est à la fois la projection orthogonale de H sur Δh et l'isobarycentre des orthocentres des triangles de référence Hi.

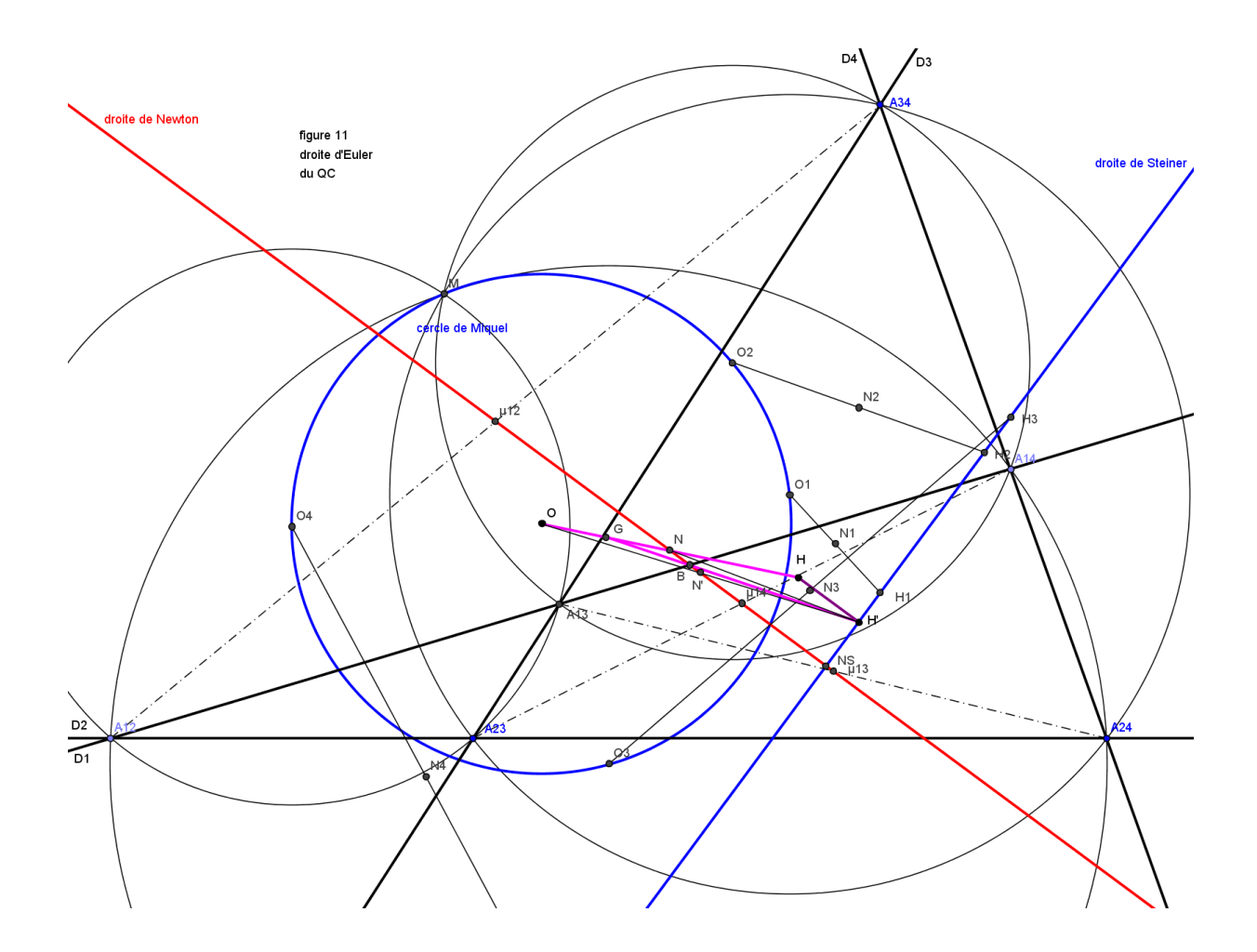


- Les 3 cercles ayant pour diamètres les segments joignant les 3 couples de points Aij et Akl se coupent en 2 points communs de Δh, P et P', appelés points de Plücker. Ce sont les points QL-P1a et QL-P1b de EQF.
 (la puissance de chacun des 4 points Hi par rapport aux 3 cercles est la même)
- Le cercle passant par M, P et P' est le cercle de Plücker; c'est le cercle QL-Ci5 de EQF. Son centre est le point N, milieu de OH, et anticentre du QI des Oi; il se situe sur la droite de Newton.
- N est le centre du cercle d'Euler commun aux 2 QI formés par les Oi et les hi, de rayon r/2, qui passe par les 8 centres des cercles d'Euler ni et n'i des triangles ti et t'i et il appartient à ces 8 cercles d'Euler. C'est par définition le point d'Euler-Poncelet des 2 QI formés l'un par les Oi et l'autre par les hi. EQF lui donne le nom de centre de Clawson du QC, car J.W. Clawson est le premier à avoir démontré que N est sur la droite de Newton.
- Les points Sij, centres des cercles passant par M et par 2 sommets opposés Aij et Akl sont sur un même cercle qui passe par le point N.

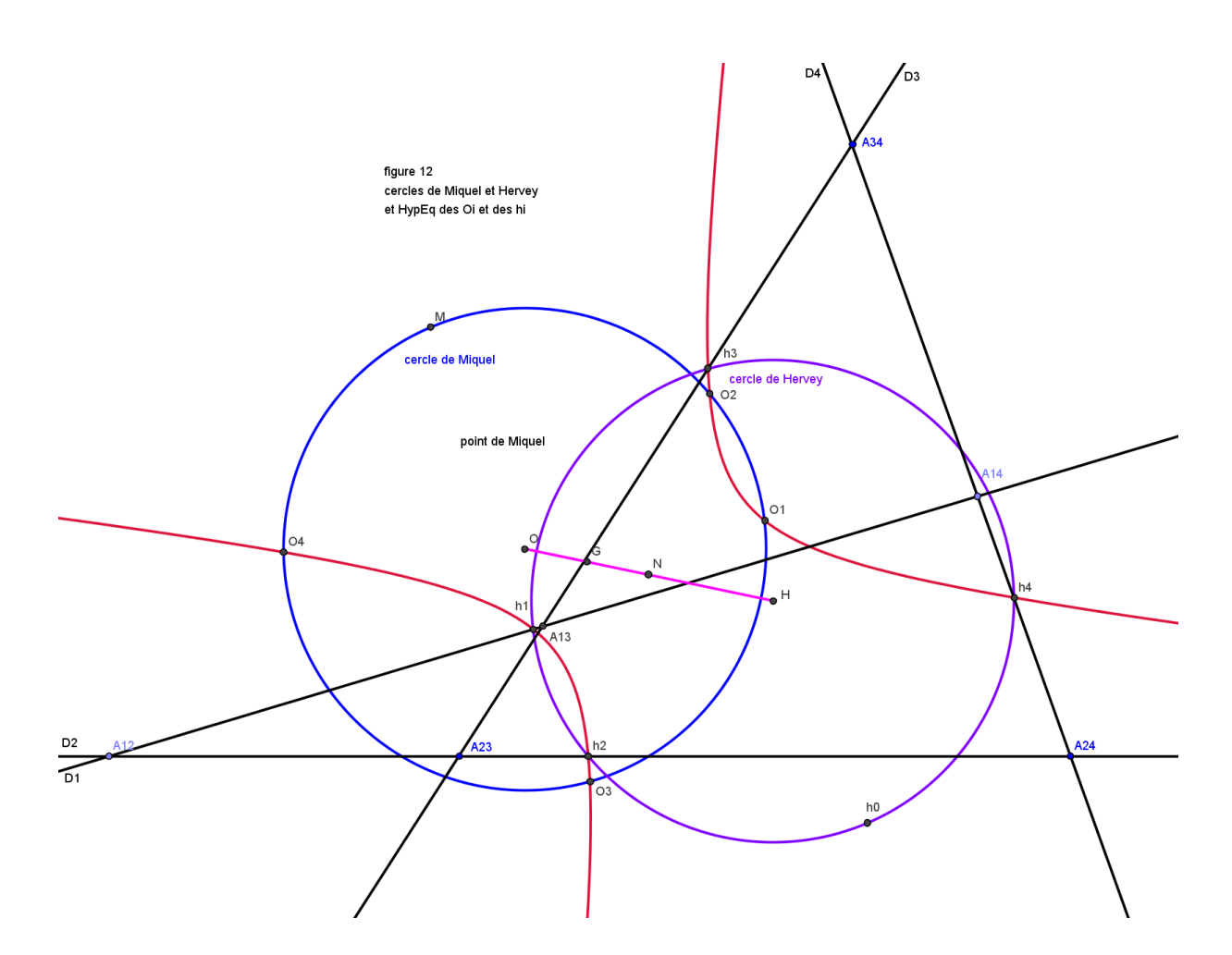


- L'isobarycentre B des 6 points Aij est aussi celui des 3 milieux des diagonales ; il est donc sur la droite de Newton Δn. C'est aussi l'isobarycentre des 4 centres de gravité Gi des triangles de référence Ti. C'est le point QL-P12 de EQF.
- Les points G, B et H' étant respectivement les barycentres des centres des cercles circonscrits, des centres de gravité et des orthocentres des 4 triangles Ti sont alignés sur le segment d'Euler du QC GH', B étant situé au 1/3 à partir de G.
- On appelle N' le milieu de OH'; il est situé sur la droite de Newton Δn. C'est le point QL-P22 de EQF.
- L'isobarycentre B des 6 sommets est le centre de gravité du triangle ONH'.

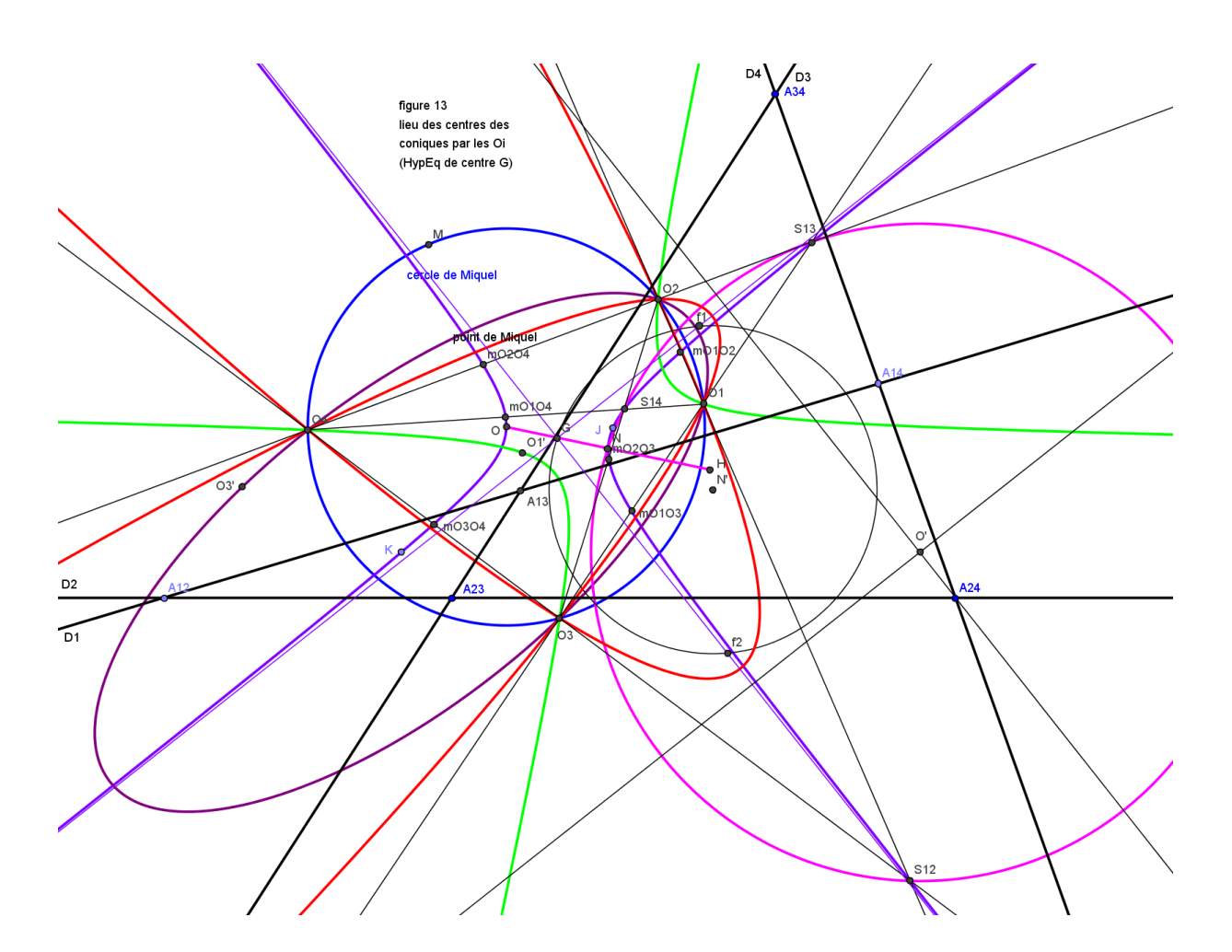
(ces propriétés se démontrent en considérant la transformation qui associe à un point du plan le milieu du segment joignant les symétriques par rapport à 2 droites concourantes ; cette transformation s'obtient par combinaison d'une homothétie ayant pour centre le point d'intersection des 2 droites et pour rapport le cosinus de l'angle qu'elles déterminent et d'une symétrie par rapport à la bissectrice de cet angle. En combinant les 4 points Oi 2 à 2, on obtient 3 couples de droites et 3 transformations ; les 4 points étant cocycliques, il se trouve que les 3 bissectrices obtenues sont parallèles. Les transformés du point de Miquel M dans les 3 transformations sont les milieux μij, μik et μil des 3 segments joignant les sommets opposés Aij et Akl et le transformé du point O dans chacune de ces 3 transformations est précisément le même point N.)



- Le cercle circonscrit aux triangles t'i est le cercle symétrique du cercle de Miquel dans une symétrie de centre N ; c'est le cercle de Hervey, appelé QL-Ci4 dans EQF.
- Les Oi et les hi sont sur une hyperbole équilatère de centre N, ce point étant, comme on l'a vu, le point d'Euler-Poncelet du QI des Oi, symétrique de leur centre du cercle circonscrit O par rapport à leur isobarycentre G et celui du QI des hi, symétrique de leur centre du cercle circonscrit H par rapport à leur isobarycentre G', symétrique de G par rapport à N.
- Les triangles t'i sont symétriques des triangles ti dans une symétrie de centre N ; ils sont inscrits dans les triangles Ti et leur sont inversement semblables. Ils sont directement semblables aux triangles médians des triangles Ti dans des similitudes si de centres Oi, de rapport 1/cosθi et d'angle θi.
- Le cercle circonscrit à t'i est le cercle podaire de Oi et de son conjugué isogonal Hi et le centre de ce cercle est sur la médiatrice de OiHi; il se déduit de Ni, milieu de OiHi, dans la similitude si et l'on retrouve le point H de Kantor-Hervey et le théorème des 4 médiatrices des sgments d'Euler (cf Lalesco Géométrie du triangle).



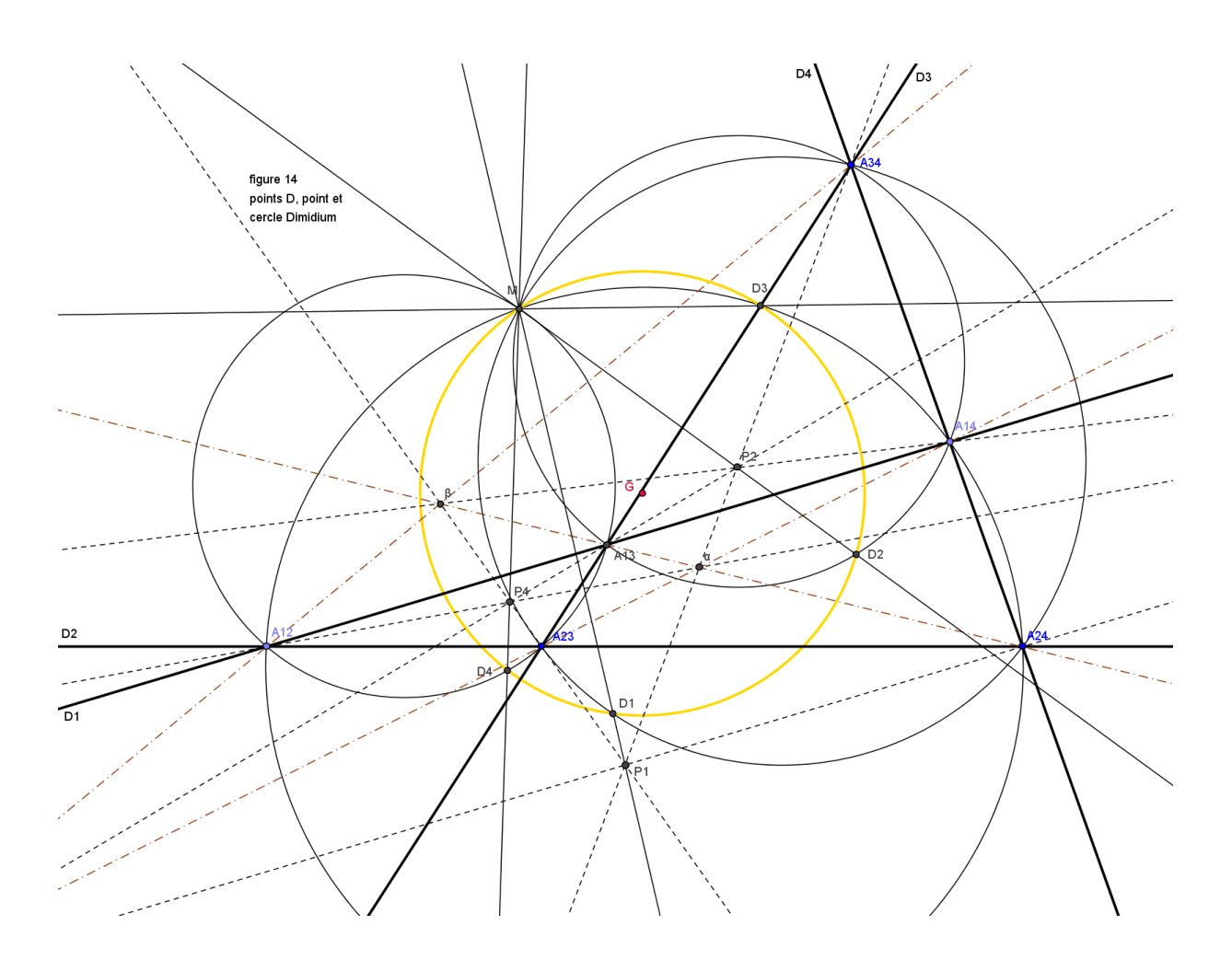
- Les points Oi étant cocycliques, le lieu des centres des coniques passant par ces 4 points est une hyperbole équilatère de centre l'isobarycentre G des 4 points. Elle passe par les 6 milieux des côtés ou des diagonales du QI des 4 points et par les sommets de son triangle diagonal (conique des 9 points).
- Les sommets de ce triangle diagonal sont précisément les 3 points Sij déjà rencontrés.
- La conique passe par O (le cercle circonscrit étant une conique particulière passant par les 4 points) et par H (l'hyperbole équilatère décrite figure 12 en étant une autre).
- Le cercle circonscrit aux 3 sommets du triangle diagonal Sij passe, comme on l'a vu, par le point N, point d'Euler-Poncelet du QI des Oi.
- Sur la figure 13, on a fait figurer 2 paraboles (en rouge), le cercle de Miquel de centre O (en bleu), une hyperbole de centre J (en vert) et une ellipse de centre K (en violet) ainsi que l'hyperbole équilatère de centre N (en vert) ; les points O, J, K et N sont sur l'hyperbole équilatère de centre G, milieu de ON (en mauve).



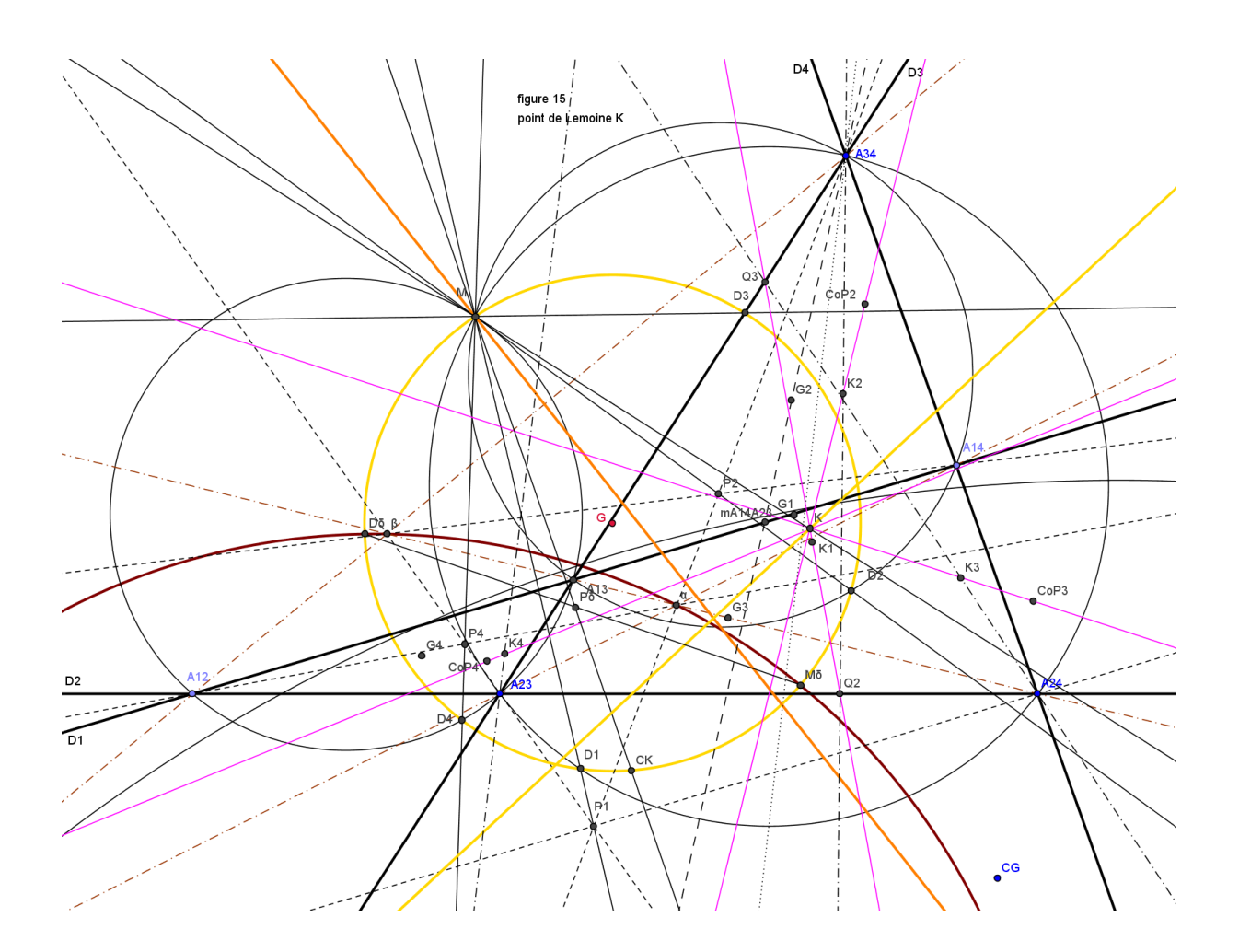
D) Autres points et propriétés remarquables

(figures 14, 15, 16, 17, 18 et 19) (cf L. Ripert (8), A. Oppermann (12), J.W. Clawson (13), J.P. Ehrmann (23) et C.A. van Tienhoven dans EQF)

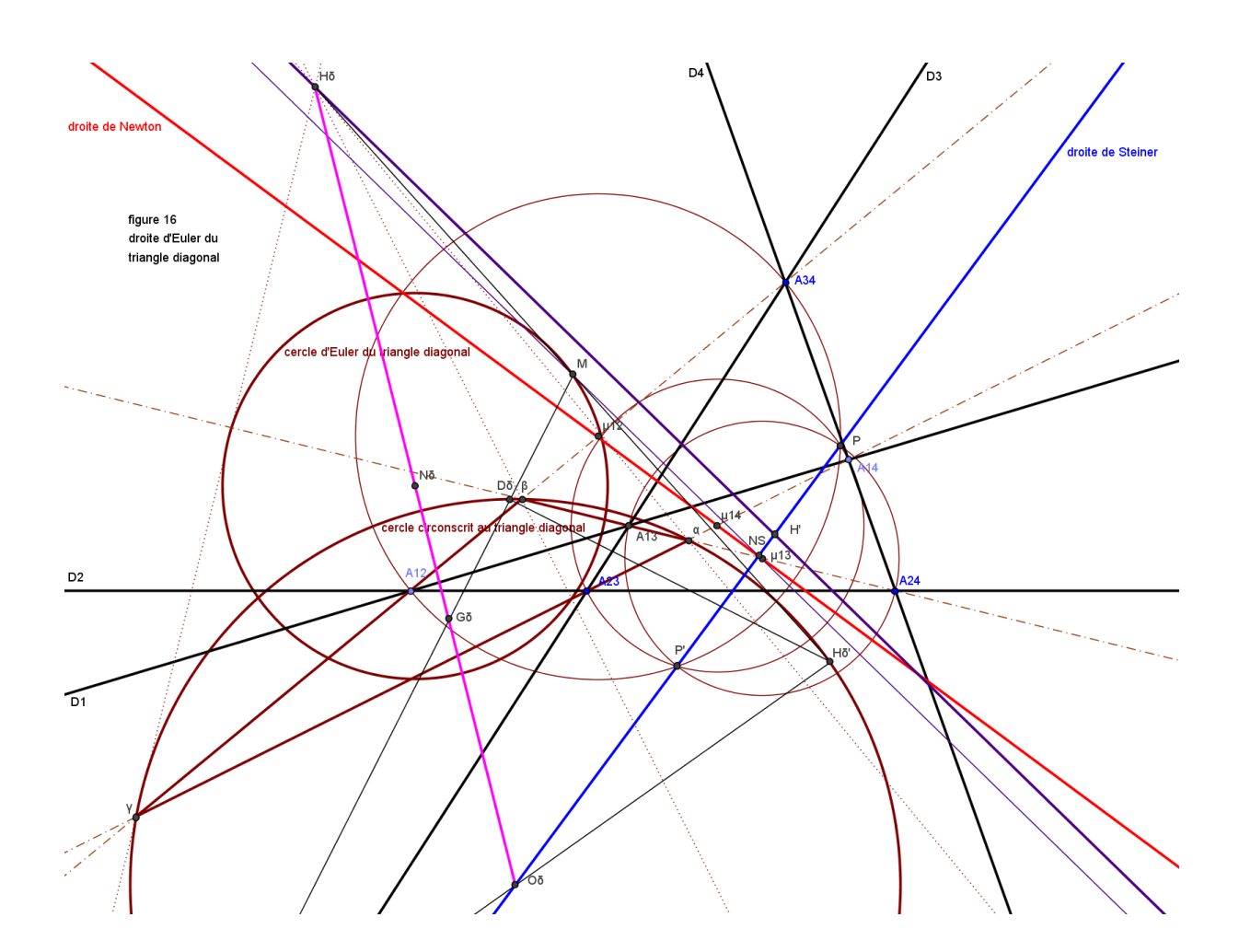
- Sur chacun des 4 cercles Ci circonscrits aux triangles de référence Ti, on appelle Di la seconde intersection de la droite passant par M et le centre de perspective Pi.
- Les 4 points Di sont sur un cercle appelé cercle intermédiaire ou Dimidium ; c'est le cercle QL-Ci6 de EQF.
- Ce cercle a pour centre le point G appelé point intermédiaire ou Dimidium et passe par le point de Miquel M.
- L'appellation de intermédiaire ou Dimidium pour le point G et le cercle de centre G passant par M est justifiée par le fait que G est le milieu de ON et que ce cercle est donc situé entre le cercle de Miquel de centre O et le cercle de Plücker de centre N, ces 2 cercles passant aussi par M.
- On verra plus loin que cette construction est la même pour le triangle diagonal et que le cercle Dimidium coupe le cercle circonscrit à ce triangle en 2 points $M\delta$ et $D\delta$; ce sont les points QL-P17 et QL-P24 de EQF.



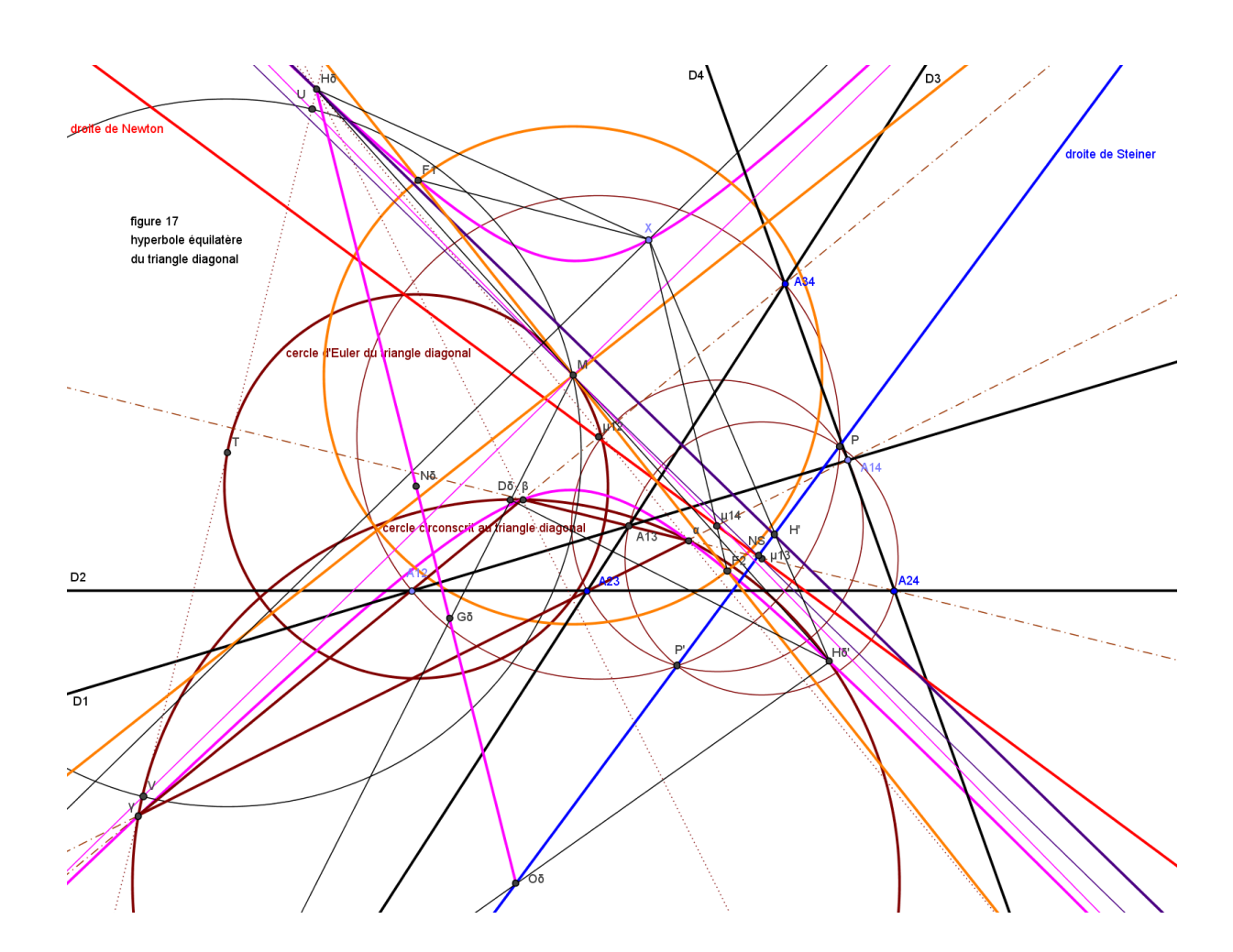
- On reprend ici la construction donnée par Léon Ripert (8).
- Pour chacun des triangles de référence Ti, on définit le point de Lemoine Ki, conjugué isogonal du centre de gravité Gi (Ki = CoGi) ; ce point minimise la somme des carrés des distances aux 3 côtés d'un triangle.
- On appelle par ailleurs CoPi le conjugué isogonal du centre de perspective Pi entre le triangle de référence Ti et le triangle diagonal.
- On considère le triangle de référence Ti formé par les 3 droites Dj, Dk et Dl et les intersections, appelées Qj, Qk et Ql, avec chacune de ces 3 droites de la symédiane (symétrique de la médiane par rapport à la bissectrice) issue du sommet opposé dans le triangle formé par les 3 autres droites (Di, Dk et Dl pour Dj). Ainsi, sur la figure 15, A34K2 coupe D2 en Q2, A24K3 coupe D3 en Q3 et A23K4 coupe D4 en O4.
- Les 3 points Qj, Qk et Ql sont alignés sur une droite qui passe par Ki et CoPi. Sur la figure 15, Q2, Q3 et Q4 sont alignés sur la droite K1CoP1.
- Les 4 droites ainsi déterminées concourent en un point K; ce point, noté QL-P26 dans EQF, minimise la somme des carrés des distances aux 4 droites Di du QC et est de ce fait appelé par Léon Ripert point de Lemoine du QC.



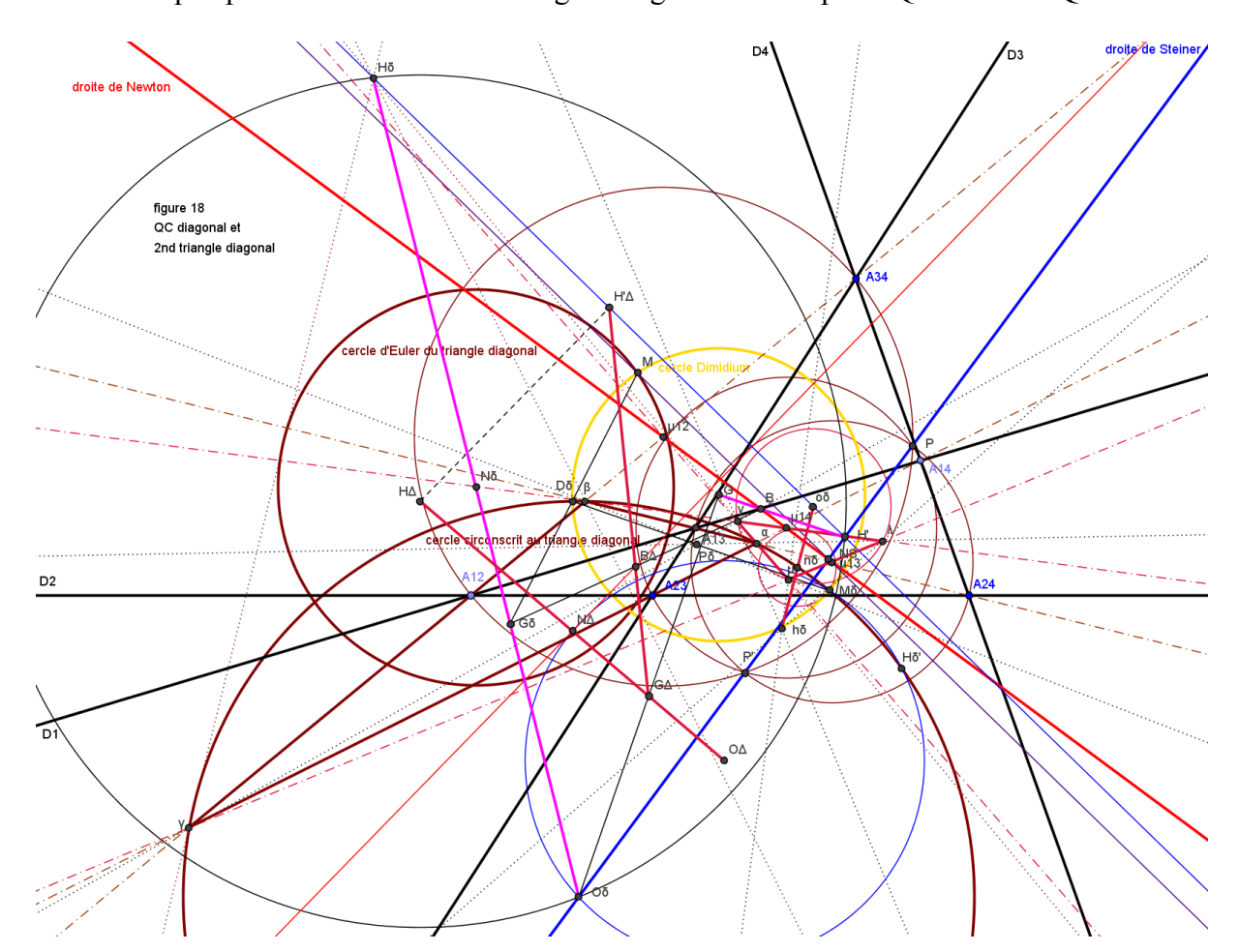
- On a vu que le triangle diagonal αβγ est formé par les 3 diagonales; son segment d'Euler comprend le centre du cercle circonscrit Oδ, l'orthocentre Hδ, le centre de gravité Gδ et le centre de son cercle d'Euler Nδ. Ce sont respectivement les points QL-P9, QL-P10, QL-P8 et QL-P11 de EQF.
- Le cercle circonscrit au triangle diagonal est orthogonal aux 3 cercles ayant pour diamètres les points Aij et Akl; c'est le cercle QL-Ci1 de EQF.
- Le centre O δ du cercle circonscrit est situé sur la droite de Steiner Δ h, axe radical des 3 cercles et perpendiculaire à la droite de Newton Δ n, ligne des centres.
- Le cercle d'Euler du triangle diagonal passe par le point M ; c'est le cercle QL-Ci2 de EQF.
- Du coup, le symétrique H'δ de Hδ par rapport à M est sur le cercle circonscrit au triangle diagonal ; c'est le point QL-P16 de EQF.
- L'anticomplément H'' δ de M (on a G δ H'' δ = -2 G δ M) est pour la même raison le point diamétralement opposé à H' δ sur le cercle circonscrit au triangle diagonal.
- Le 2^{nd} point d'intersection de MG δ avec le cercle circonscrit au triangle diagonal est un point D δ , appelé QL-P24 dans EQF; MG δ est perpendiculaire à H δ D δ .



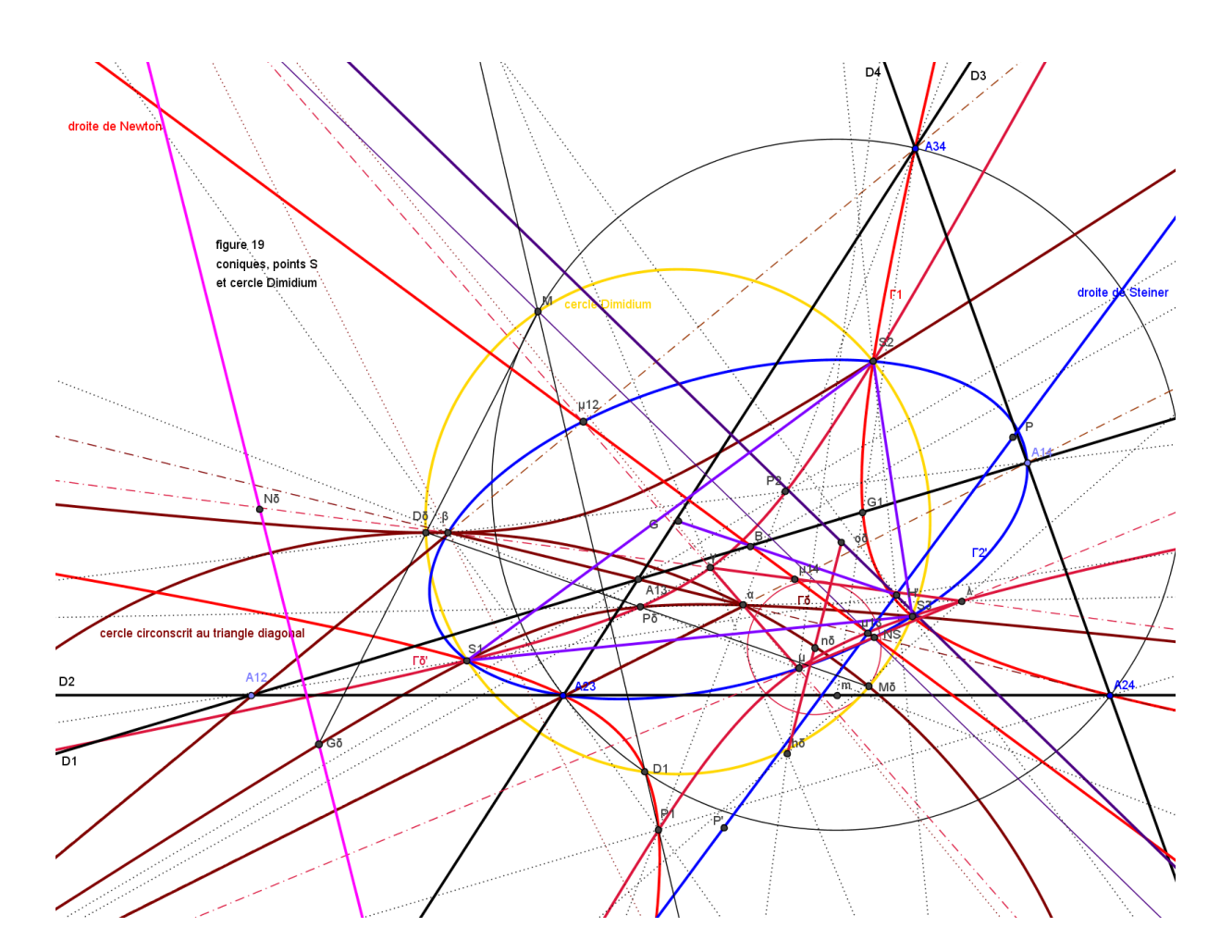
- Les sommets α, β et γ du triangle diagonal forment avec l'orthocentre Hδ un QA orthocentrique; les 4 points sont les points de base d'un faisceau d'hyperboles équilatères, le lieu des centres étant le cercle d'Euler commun aux 4 triangles du QA.
- Ce cercle passe, comme on l'a vu, par le point de Miquel M.
- L'hyperbole équilatère du faisceau ayant pour centre le point M passe par le symétrique H'δ de Hδ par rapport à M; elle passe surtout par les points F1 et F2 déjà rencontrés (cf page 13).
- On peut déterminer ses asymptotes de 2 manières en utilisant les propriétés connues de l'hyperbole équilatère :
 - O Les 2 segments découpés par une droite quelconque sur l'hyperbole et sur les 2 asymptotes ont même milieu (propriété générale d'une hyperbole); les asymptotes étant perpendiculaires, il suffit de tracer le cercle ayant pour centre le milieu d'un segment quelconque joignant 2 points de l'hyperbole équilatère à son centre M, il recoupe le segment en 2 points sur les asymptotes.
 - O Surtout, l'hyperbole équilatère est une stelloïde conique ; si l'on prend 2 points quelconques P1 et P2 symétriques par rapport au centre M comme pivots (par exemple F1 et F2 ou Hδ et H'δ), pour tout point X de la courbe, les bissectrices de l'angle P1XP2 sont parallèles aux asymptotes.



- Un QC est déterminé par 4 droites, çàd un triangle de référence et une 4^{ème} droite, appelée ménélienne de ce triangle. On appelle QC diagonal le QC formé par le triangle diagonal et par la droite de Newton du QC, prise comme ménélienne.
- Le point de Miquel du QC diagonal, appelé Mδ, est sur le cercle circonscrit au triangle diagonal, de centre Oδ, et sur le cercle d'Euler du second triangle diagonal (on l'identifie aisément comme le point QL-P17 de EQF).
- Le barycentre des 6 points du QC diagonal, appelé B_Δ est par construction le milieu du segment joignant le barycentre des 3 milieux des diagonales, çàd le barycentre B des 6 points du QC, et le centre de gravité du triangle diagonal Gδ.
- La droite de Steiner du QC diagonal est la droite $\Delta_{H\Delta}$ passant par H δ et H'; c'est la droite QL-L δ de EQF. La parabole de foyer M δ et de directrice $\delta_{H\Delta}$ est tangente aux 3 diagonales et à la droite de Newton du QC.
- Le point de Morley H'_{Δ} du QC diagonal est le milieu de $H\delta H'$; la droite de Steiner du QC diagonal porte les 2 points de Morley des 2 QC.
- Le point de Kantor-Hervey H_{Δ} du QC diagonal est le centre du cercle circonscrit au triangle H'O δ H δ (il est sur la médiatrice de O δ H δ et se projette en H' $_{\Delta}$ sur H'H δ).
- La connaissance des points B_Δ et H'_Δ permet de compléter la droite d'Euler du QC diagonal et fournit le point G_Δ; c'est le milieu du segment GOδ.
- La connaissance de G_{Δ} et H_{Δ} permet de compléter la droite d'Euler du QI et fournit les points O_{Δ} , centre du cercle circonscrit à $O\delta$, $M\delta$ et $H'\delta$, et N_{Δ} .
- Les droites joignant les sommets αβγ du triangle diagonal aux milieux des diagonales forment un second triangle diagonal λμν, en perspective à la fois avec chacun des triangles Ti et avec le premier triangle diagonal. Le centre de perspective Pδ entre les 2 triangles diagonaux est le point QL-P13 de EQF.



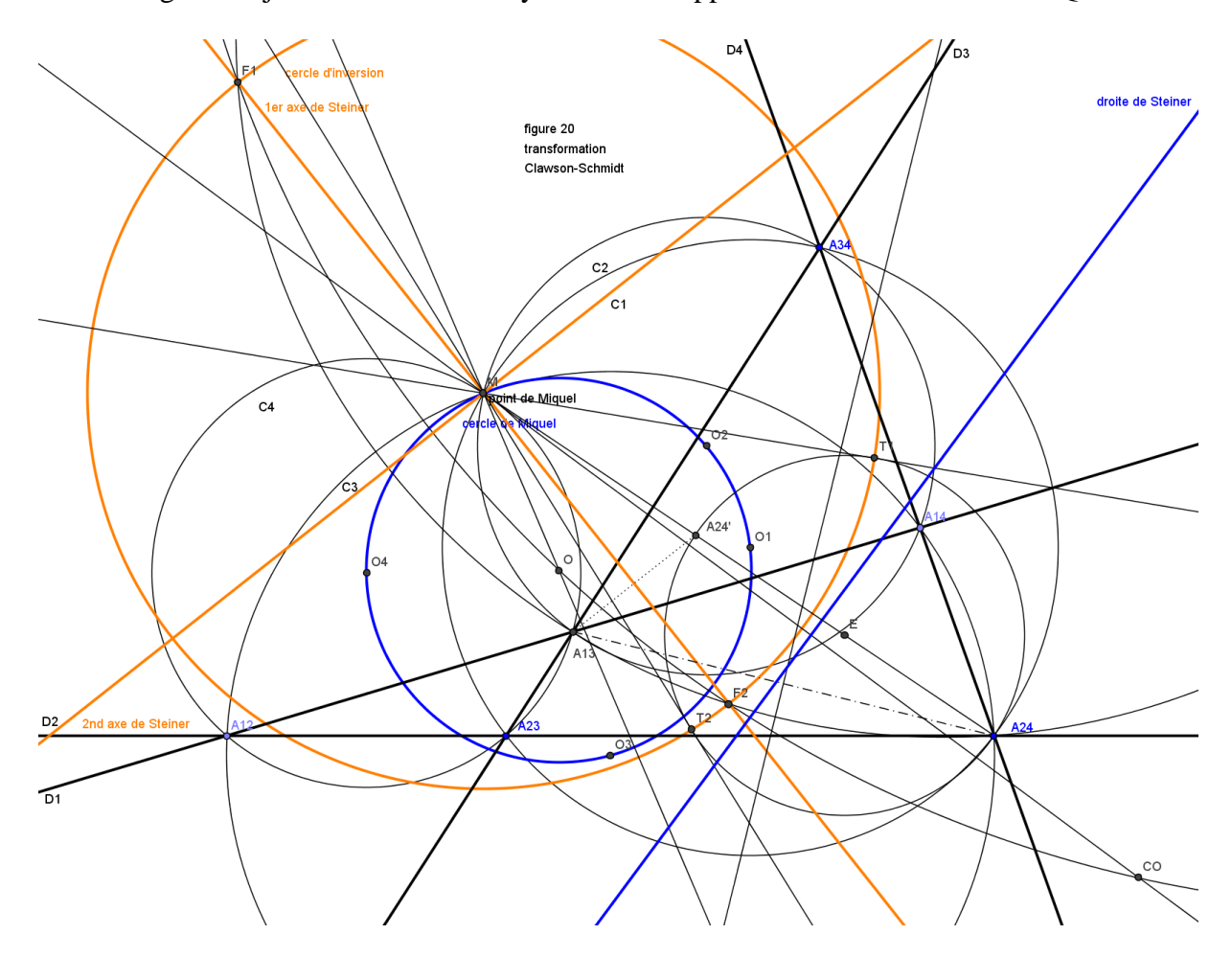
- Pour un triangle de référence Ti, on considère la conique Γi, conjuguée isogonale de la droite KiCoPi déjà rencontrée dans la construction du point K (cf page 22).
- Cette conique Γi passe par les 3 sommets du triangle, par son centre de gravité et par les points Pi et Di définis précédemment (cf pages 9 et 21).
- Pour le triangle diagonal, on considère de même la conique Γδ qui passe par les 3 sommets du triangle, par son centre de gravité Gδ et par les points Pδ et Dδ définis précédemment (cf pages 23 et 24).
- Les 4 coniques Γi se coupent 2 à 2 en 4 points, l'un étant un sommet du QC et les 3 autres étant 3 points S1, S2 et S3 du cercle Dimidium.
- La conique $\Gamma\delta$ passe aussi par les 3 S-points.
- Pour chacun des 3 QA formés par 4 des 6 sommets du QC situés aux extrémités de 2 diagonales, on considère la conique Γ'j des 9 points, lieu des centres des coniques passant par ces 4 points ; Γ'j passe par les 6 milieux des segments joignant les 4 points (dont les 2 milieux des 2 diagonales) et par les 3 sommets de son triangle diagonal (dont 2 sommets du QC et un sommet de son triangle diagonal).
- Les 3 coniques Γ 'j passent aussi par les 3 points S.
- Enfin, on définit la conique Γ ' δ qui passe par les 3 sommets λ , μ et ν du second triangle diagonal et par les 5 centres de perspective P δ et Pi.
- Cette conique P'δ passe aussi par les 3 points S.
- La parabole tangente aux 4 droites Di (cf partie G page 36) est tangente aux côtés du triangle S1S2S3 (source EQF) et Eckart Schmidt a montré que le segment d'Euler de ce triangle est celui du QC, G étant le centre du cercle circonscrit, B le centre de gravité et H' l'orthocentre.



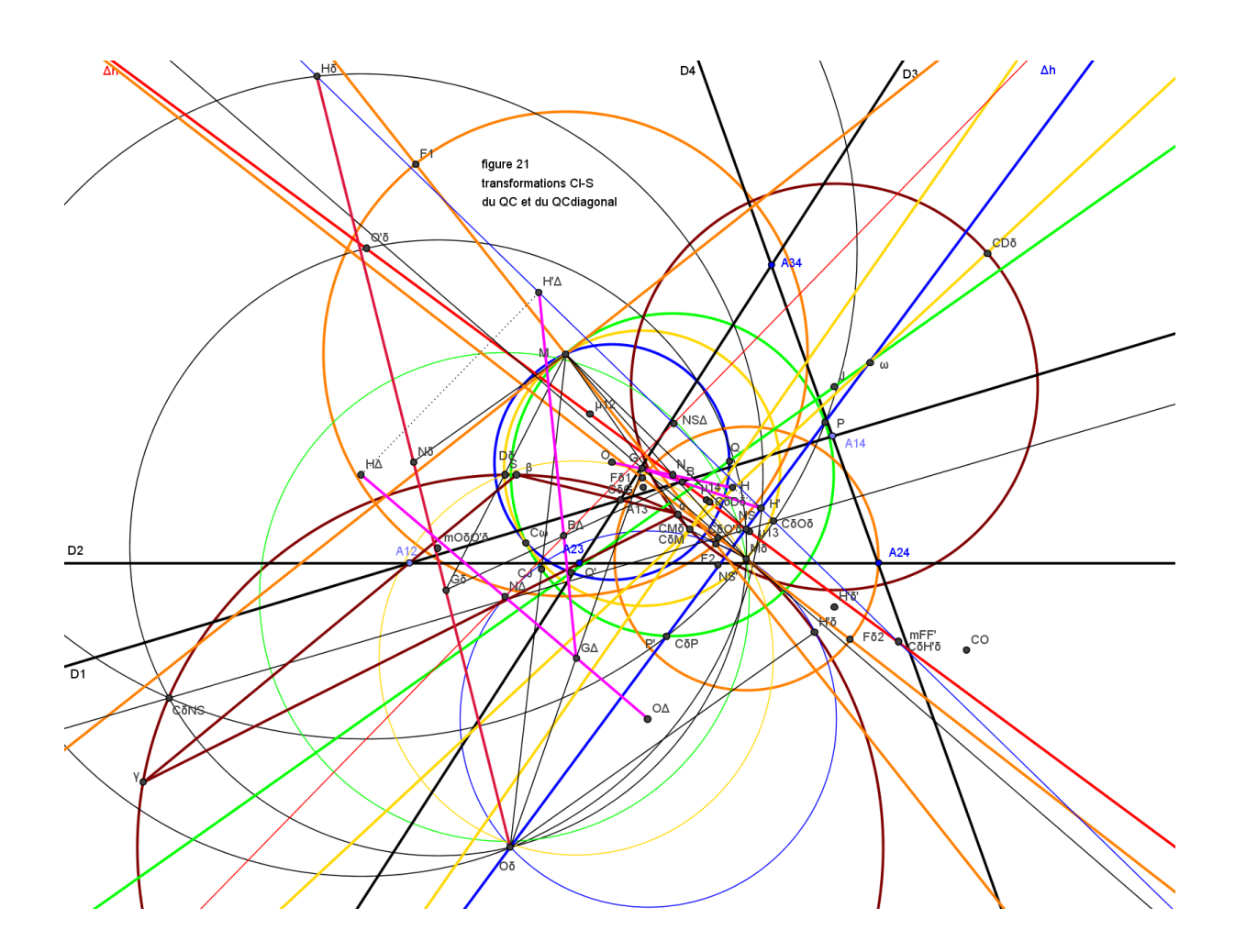
E) Transformations et constructions

(figures 20, 21, 22, 23, 24 et 25) (cf C.A. van Tienhoven dans EQF)

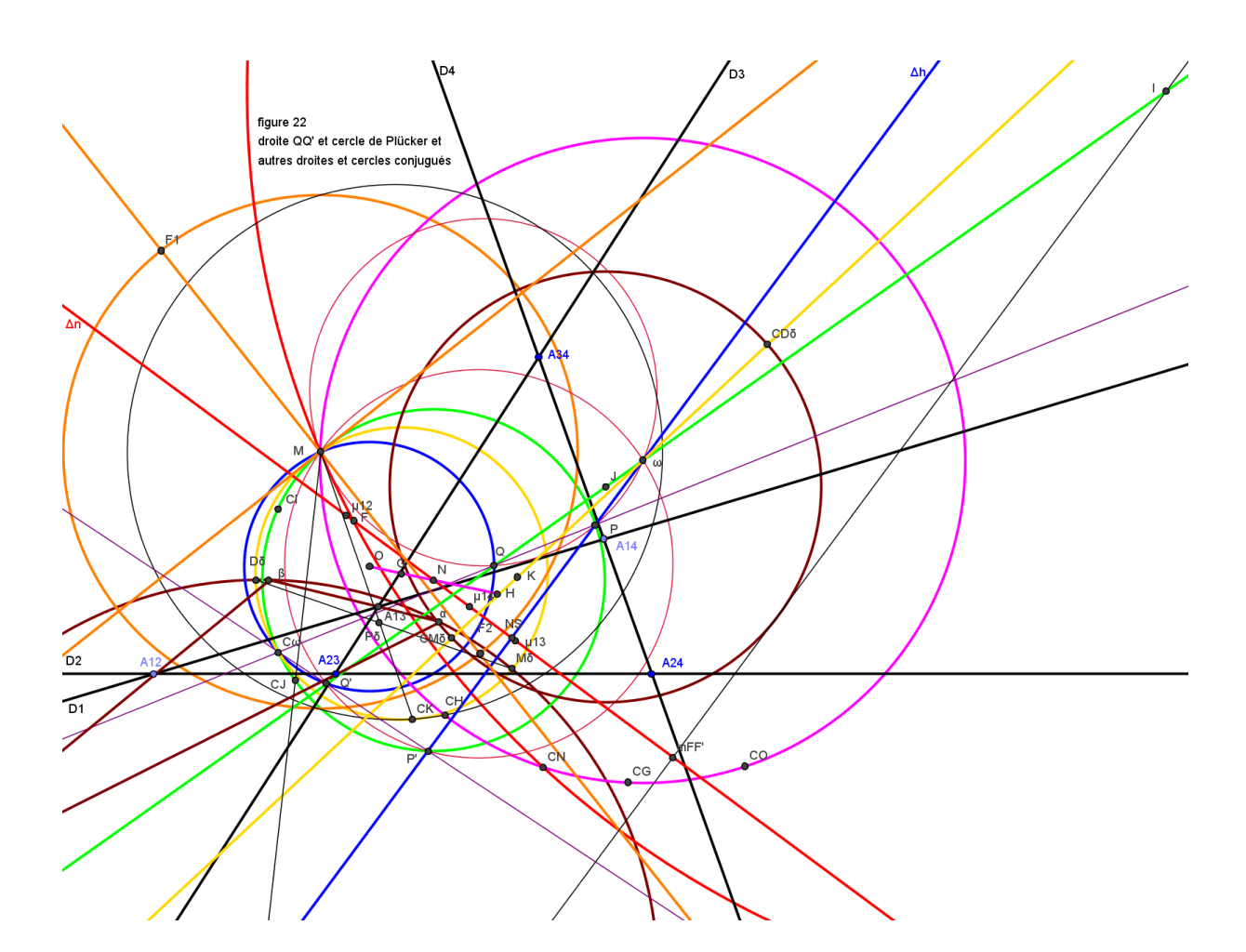
- On tire aisément de la similitude Si des triangles Ti et ti et des droites Δh et Di (cf page 16) la mesure des segments et des angles du QC et une belle propriété :
 - o on a appellé Ri le rayon du cercle circonscrit au triangle de référence et θ i l'angle orienté (Δ h,Di) défini m° 2π
 - o on a dès lors Ri = $2r\cos\theta i$, OkOl = $2r\sin(\theta l \theta k)$, AjkAjl = $4r\cos\theta i\sin(\theta l \theta k)$ et MAij = $4r\cos\theta k\cos\theta l$ (en toute rigueur avec des valeurs absolues).
 - o on appelle Mx la parallèle menée par M à la droite de Newton
 - on a les mesures d'angles (Mx; MAij) = $(\theta i + \theta j)$, (Mx; MOi) = $(\theta j + \theta k + \theta l)$ et (Mx; MO) = $\Sigma \theta i$. Les bissectrices des angles (Mx; MO), <AijMAkl> et de l'angle entre MOi et la perpendiculaire en M à Di sont confondues.
- On appelle p et pi les distances de M à Δh et aux droites Di. L'inversion de centre M et de rapport 2piRi = 2pr = 16r²Πcosθi transforme le QC en son symétrique par rapport à ces bissectrices et échange les droites et les cercles Di et C'i, Ci et D'i, C et Δ'h et C' et Δh. Du coup, la transformation qui combine l'inversion et la symétrie axiale échange les points Aij et Akl et laisse le QC globalement inchangé; énoncée par J. W. Clawson et par J. Marchand et développée par E. Schmidt, elle est appelée transformation Clawson-Schmidt (en bref Cl-S) ou QL-Tf1 dans EQF.
- Elle est déterminée par les 2 points invariants F1 et F2; ce sont les points QL-2P2 de EQF. Leur milieu est le point de Miquel M, le cercle de centre M passant par F1 et F2 est le cercle d'inversion, appelé cercle de Schmidt dans EQF et les bissectrices des angles <AijMAkl> ou axes de symétrie sont appelés axes de Steiner dans EQF.



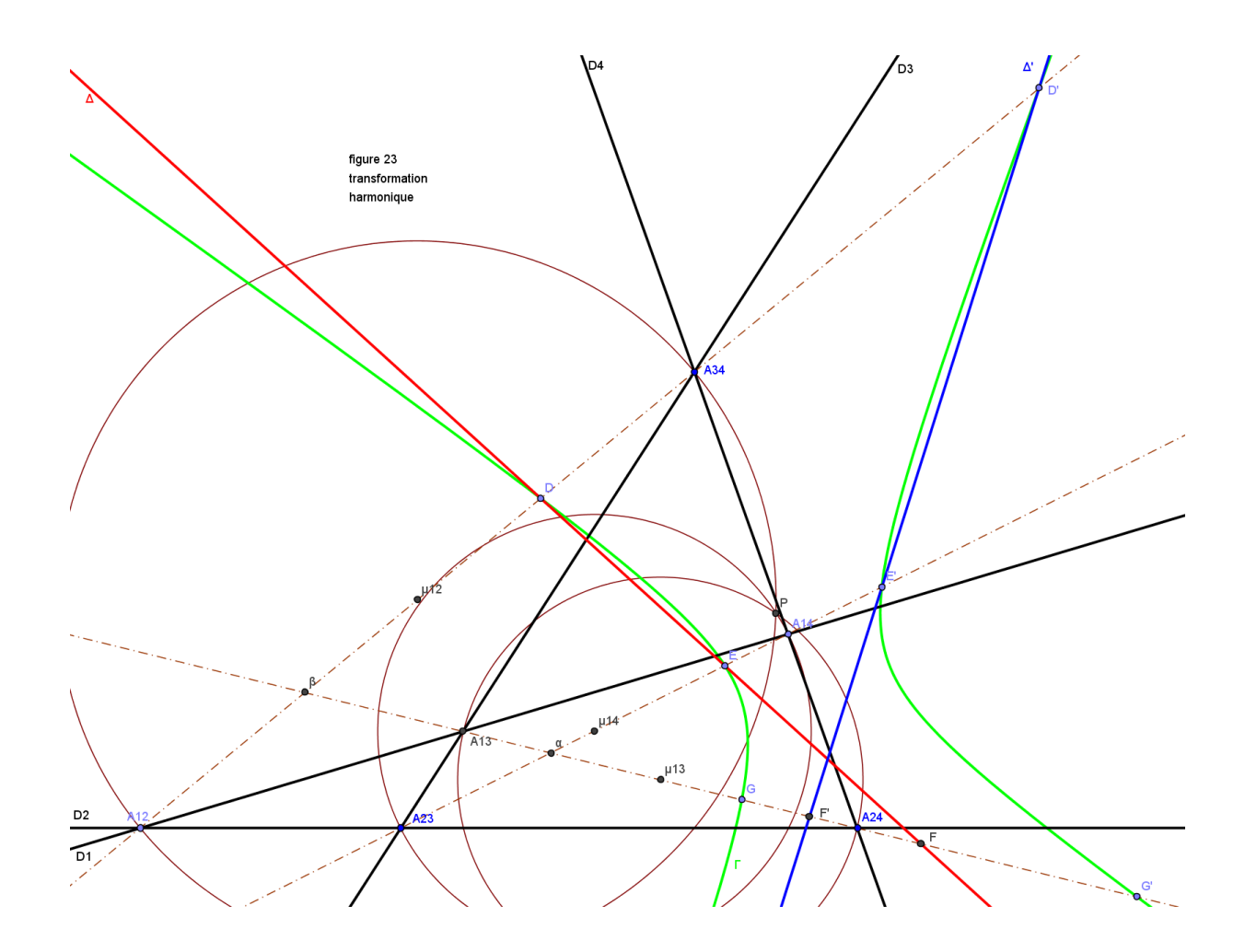
- Le QC diagonal formé par le triangle diagonal DT et la droite de Newton Δn détermine une transformation Clawson-Schmidt appelée Cl-Sdiag; elle est définie par 2 points invariants F1δ et F2δ, le cercle de centre Mδ passant par F1δ et F2δ est son cercle d'inversion et les bissectrices des angles αΜδμ12, βΜδμ14 et γΜδμ13 sont ses axes de Steiner.
- Cette Cl-Sdiag échange les sommets du triangle diagonal α, β et γ et les milieux des diagonales μij, les points de Plücker P et P' et la droite de Newton Δn et le cercle circonscrit au triangle diagonal Cδ.
- Les points conjugués de M δ dans la transformation Cl-S et de M dans la transformation Cl-Sdiag coïncident ; on a Cl-S(M δ) = Cl-Sdiag(M).
- On peut encore noter que les transformations Cl-S et Cl-Sdiag conservent les propriétés d'angles, comme la symétrie axiale et l'inversion; ainsi, 2 droites perpendiculaires se transforment en 2 cercles orthogonaux passant par M ou Mδ.
- Ceci permet de démontrer un certain nombre de propriétés intéressantes ; ainsi, pour ne prendre qu'un exemple, la droite Cl-Sdiag(Oδ)Cl-Sdiag(NS) passe par le point NS (cette droite est la transformée Cl-Sdiag du cercle passant par Oδ, NS et Mδ et par le centre du cercle transformé de Δh dans Cl-Sdiag, qui passe aussi par Mδ et NS et est orthogonal au cercle circonscrit au triangle diagonal Cδ).



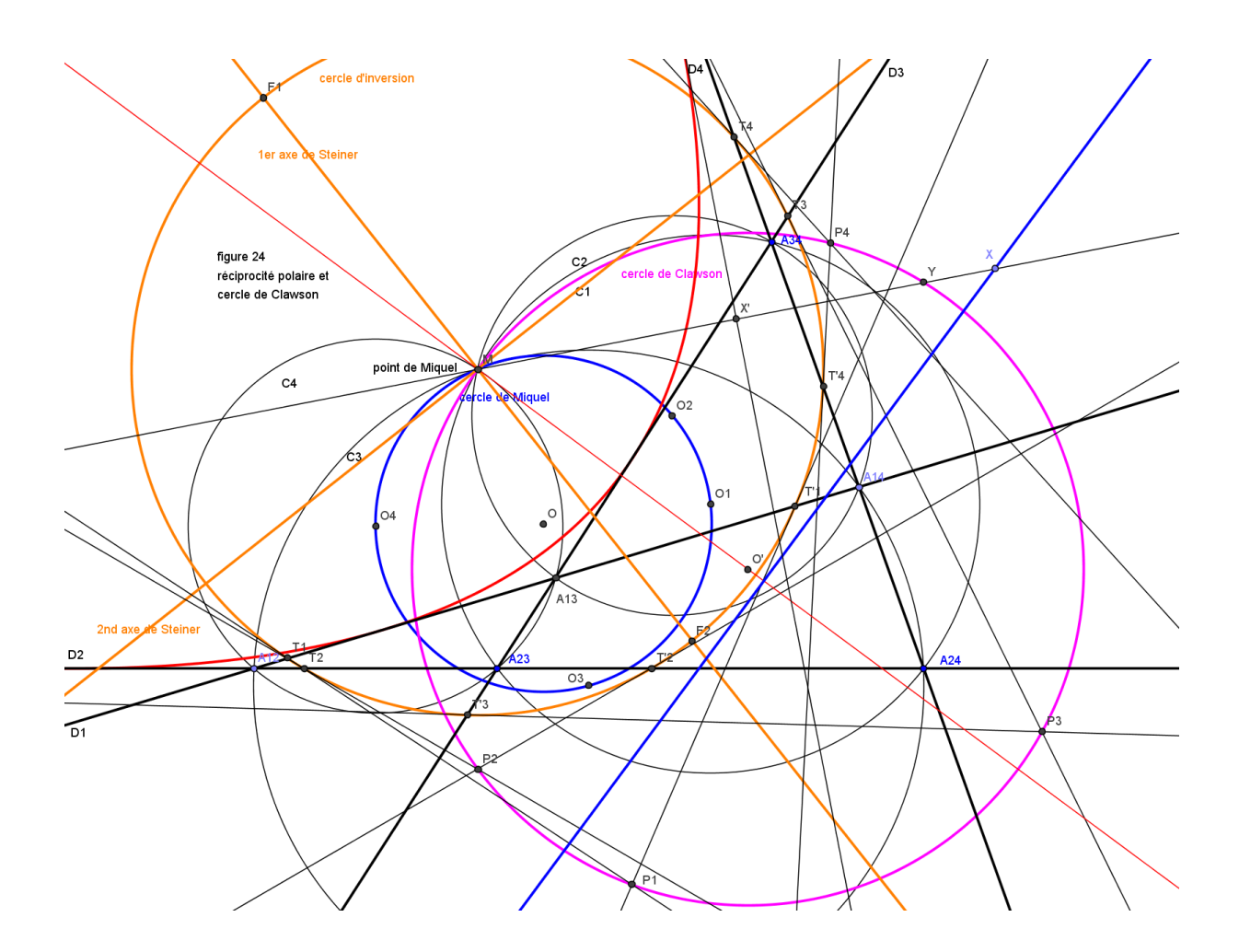
- On considère les 2 points Q et Q', conjugués des points de Plücker P et P' dans la transformation Clawson-Schmidt; on a Q = Cl-S(P) et Q' = Cl-S(P'). Q et Q' sont les points QL-2P2 de EQF.
- P et P' étant 2 points de Δh situés à l'intersection des 3 cercles ayant pour diamètres les diagonales AijAkl du QC, Q et Q' sont sur le cercle de Miquel et sur 3 autres cercles passant par 2 sommets opposés du QC.
- Ces 2 points Q et Q' sont, comme P et P', conjugués Cl-Sdiag; Q' = Cl-Sdiag(Q).
- Les 3 cercles de Plücker, Dimidium et de Plücker ont leurs centres O, G et N alignés; ils passent par M et par le symétrique de M par rapport à la droite d'Euler du QI des Oi, situé à l'intersection des droites PQ et P'Q'. Du coup, les conjugués Cl-S de ces 3 cercles sont 3 droites concourantes en un point ω, 2^{nde} intersection des cercles passant respectivement par M, P et Q et par M, P' et Q'.
- Le conjugué Cl-S du point de Lemoine K est situé sur le cercle Dimidium ; c'est la seconde intersection de MPδ avec ce cercle et K se situe sur la droite conjuguée du cercle Dimidium.
- Le conjugué Cl-S de la droite de Newton Δn est un cercle qui passe par M et recoupe Δn en 2 points conjugués Cl-S F et F'; ce cercle est orthogonal au cercle de Miquel. Comme Δn est un diamètre du cercle de Plücker, QQ' est un diamètre de ce cercle, çàd que son centre I est sur QQ', à l'intersection avec la médiatrice de FF'.
- Le cercle Cδ circonscrit au triangle diagonal DT a pour conjugué Cl-S un cercle de centre J. Le conjugué Cl-S de J est le point CJ, inverse de M par rapport au cercle Cδ; ce point étant situé sur le cercle de Plücker, J est sur QQ'.



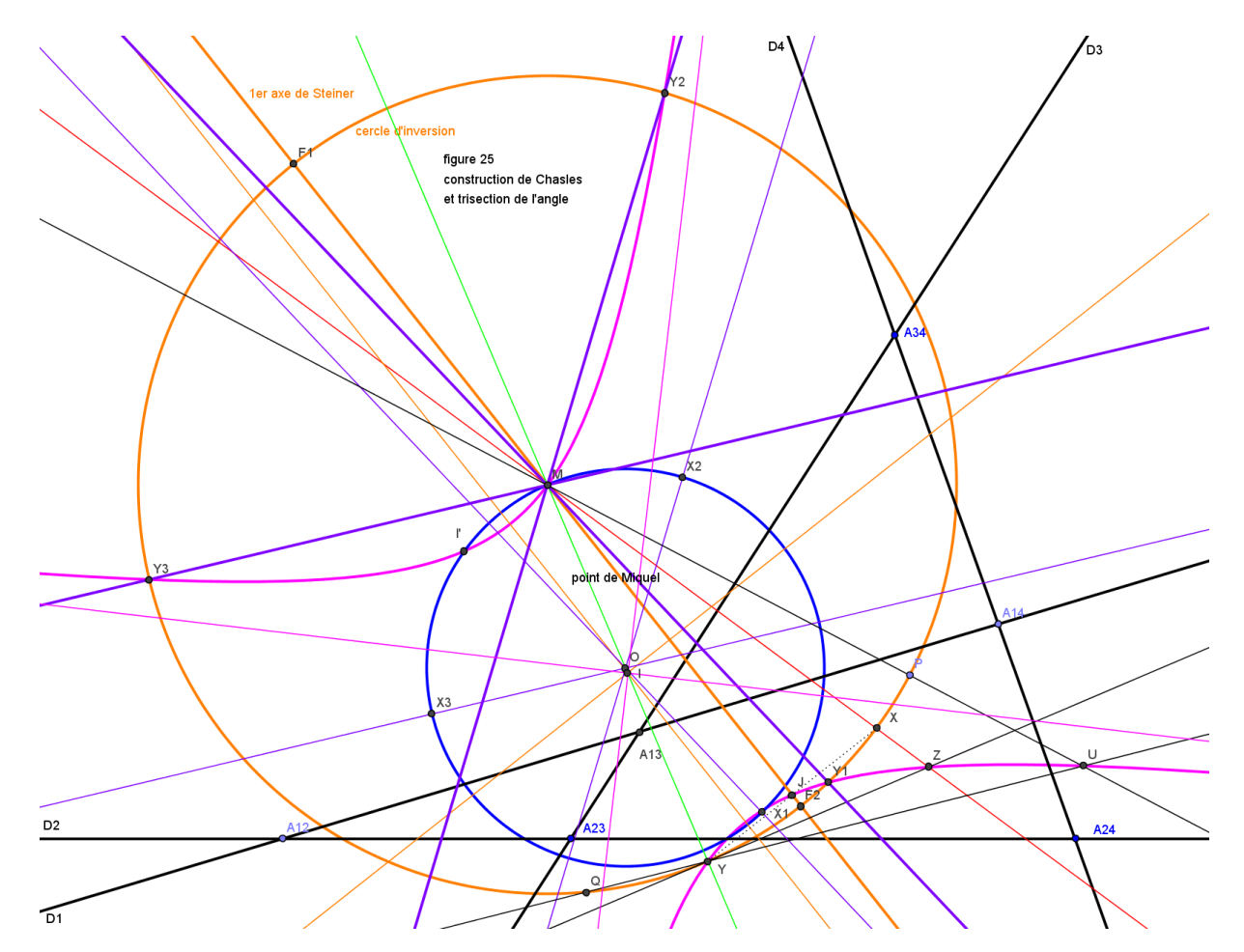
- On considère le QC et ses diagonales AijAkl et une droite quelconque Δ, qui coupe les 3 diagonales en 3 points D, E et F; les conjugués harmoniques respectifs D', E' et F' de D, E et F par rapport aux points Aij et Akl de la diagonale correspondante (ce sont les inverses de D, E et F par rapport aux cercles de diamètres AijAkl) sont alignés sur une droite Δ'.
- La transformation qui associe Δ ' à Δ est notée QL-Tf2 dans EQF.
- Un cas particulier est celui où Δ et Δ ' sont perpendiculaires : un exemple est constitué par les côtés et les hauteurs du triangle diagonal.
- Deux droites quelconques sont une forme dégénérée de conique. La transformation QL-Tf2 pour une conique s'exprime de la manière suivante : si une conique Γ coupe 2 diagonales du QC en 2 points D et D' et E et E' conjugués harmoniques par rapport aux sommets du QC portés par ces diagonales, elle coupe aussi la 3^{ème} diagonale en 2 points G et G' conjugués harmoniques par rapport aux 2 derniers sommets.
- Le cas particulier de droites perpendiculaires est une forme dégénérée d'hyperbole équilatère ; on rencontrera plus loin une famille d'hyperboles équilatères qui coupent harmoniquement les 3 diagonales du QC.



- On a vu que les distances de M à la droite Δh et aux droites Di s'exprimaient par p et pi avec p = $8r \Pi \cos\theta i$ et pi = $p/2\cos\theta i$.
- Une propriété du QC mentionnée par J. W. Clawson est que son transformé dans la transformation qui associe à chaque droite son pôle par rapport à un cercle quelconque de centre M est un quadrangle inscriptible.
- Si l'on prend par exemple le cercle d'inversion de centre M passant par F1 et F2 et de rayon ρ tel que ρ² = 2 pr = 2 piRi = 16 r² Πcosθi, le cercle circonscrit aux 4 pôles Pi des droites Di par rapport à ce cercle a pour centre un point O' de l'axe Mx (parallèle par M à la droite de Newton Δn et symétrique de MO par rapport au 1^{er} axe de Steiner) et pour rayon 2r. Ce cercle, appelé cercle de Clawson par E. Schmidt, se déduit du cercle de Miquel par une transformation qui associe une symétrie par rapport au 1^{er} axe de Steiner et une homothétie de centre M et rapport 2.
- Cette construction permet de démontrer un certain nombre de propriétés. Ainsi, la polaire de O' par rapport au cercle d'inversion est la droite de Steiner Δh.
- Toute courbe tangente aux 4 droites Di se transforme en une courbe passant par les 4 pôles Pi. Ainsi, par exemple, la parabole tangente aux 4 droites Di (cf partie F) a pour transformée le cercle de Clawson lui-même. La deltoïde tangente aux 4 droites Di (cf partie G) se transforme en une cubique passant par les 4 pôles Pi, ses 3 points d'inflexion réels correspondant aux 3 points de rebroussement de la deltoïde.



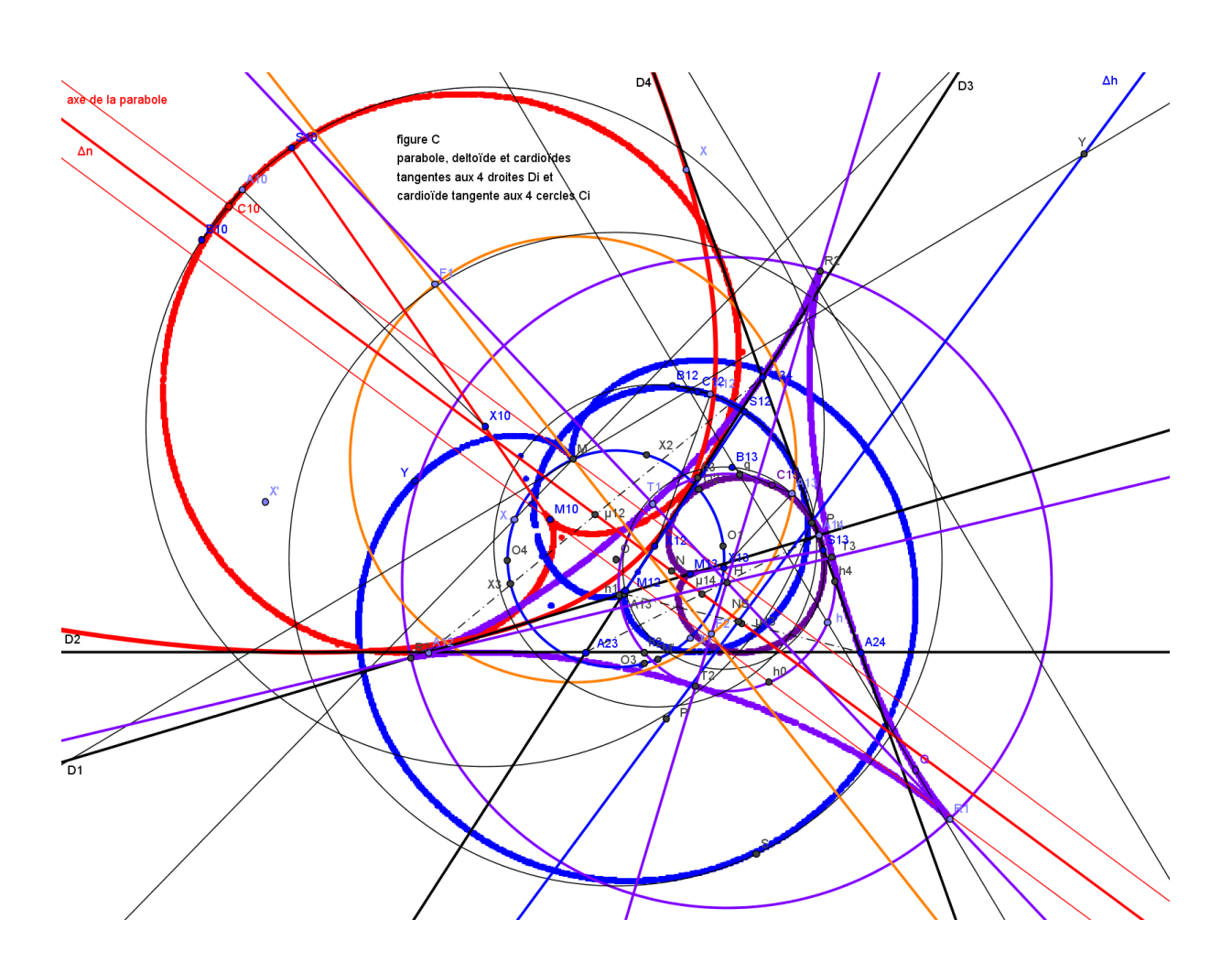
- Cette construction est inspirée de la construction de Chasles présentée par Roger Cuppens dans un bulletin de l'APMEP (29).
- On donne le cercle d'inversion de centre M et 2 points X et Y de ce cercle, MX étant l'axe de la parabole tangente aux 4 droites Di (cf partie F), parallèle par M à la droite de Newton Δn et MY l'axe de la monocardioïde tangente aux 4 cercles Ci (cf partie H) passant par O; le 1^{er} axe de Steiner est la bissectrice de l'angle XMY.
- On souhaite maintenant trisecter l'angle <XMY> ou, ce qui revient au même, l'angle <F2MX>.
- Pour cela, on associe à tout point P du cercle d'inversion le point Q défini par (arcQY) = 2 (arcXP) et on appelle U l'intersection de MP avec YQ. Le lieu du point U est une hyperbole équilatère qui passe par les 3 points Y1, Y2 et Y3 trisectant l'arc XY et l'angle <XMY> et par l'orthocentre M du triangle Y1Y2Y3. Elle passe aussi par les points Y (P en Y), I milieu de XY (P en F2), I' symétrique de I par rapport à M (PM perpendiculaire à PY et Q diamétralement opposé à Y) et Z intersection de MX avec la tangente en Y au cercle d'inversion (P en X). Elle est centrée au milieu de MY et a ses axes de symétrie parallèles aux axes de Steiner, les asymptotes étant les bissectrices de l'angle fait par les 2 axes de symétrie.
- Dès lors, la construction complète est la suivante : une fois donnés le cercle de centre M et les points X et Y de ce cercle, on détermine les milieux I de MY et J de XY et le point Z. L'hyperbole équilatère de centre I et d'axes de symétrie parallèles aux axes de Steiner passant par M, Y et J recoupe le cercle de centre M en 4 points Y, Y1, Y2 et Y3; MY1, MY2 et MY3 trisectent l'angle <XMY>.
- Cette construction sera utilisée pour déterminer les axes de la deltoïde (cf partie G), les triangles de Morley (cf partie I) et les asymptotes de la stelloïde cubique (cf partie K).



Seconde partie

Courbes classiques

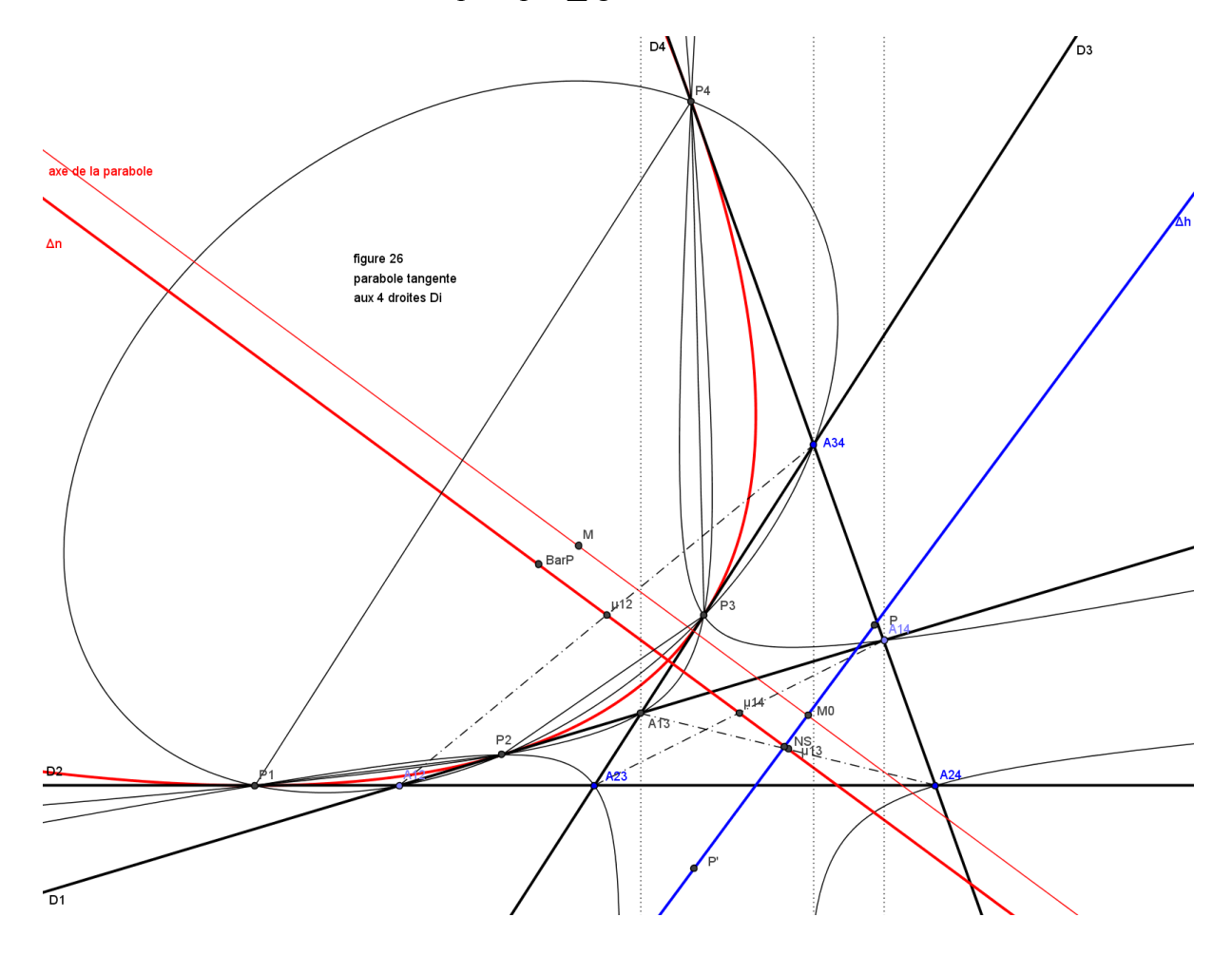
(Paraboles, deltoïde et cardioïdes)



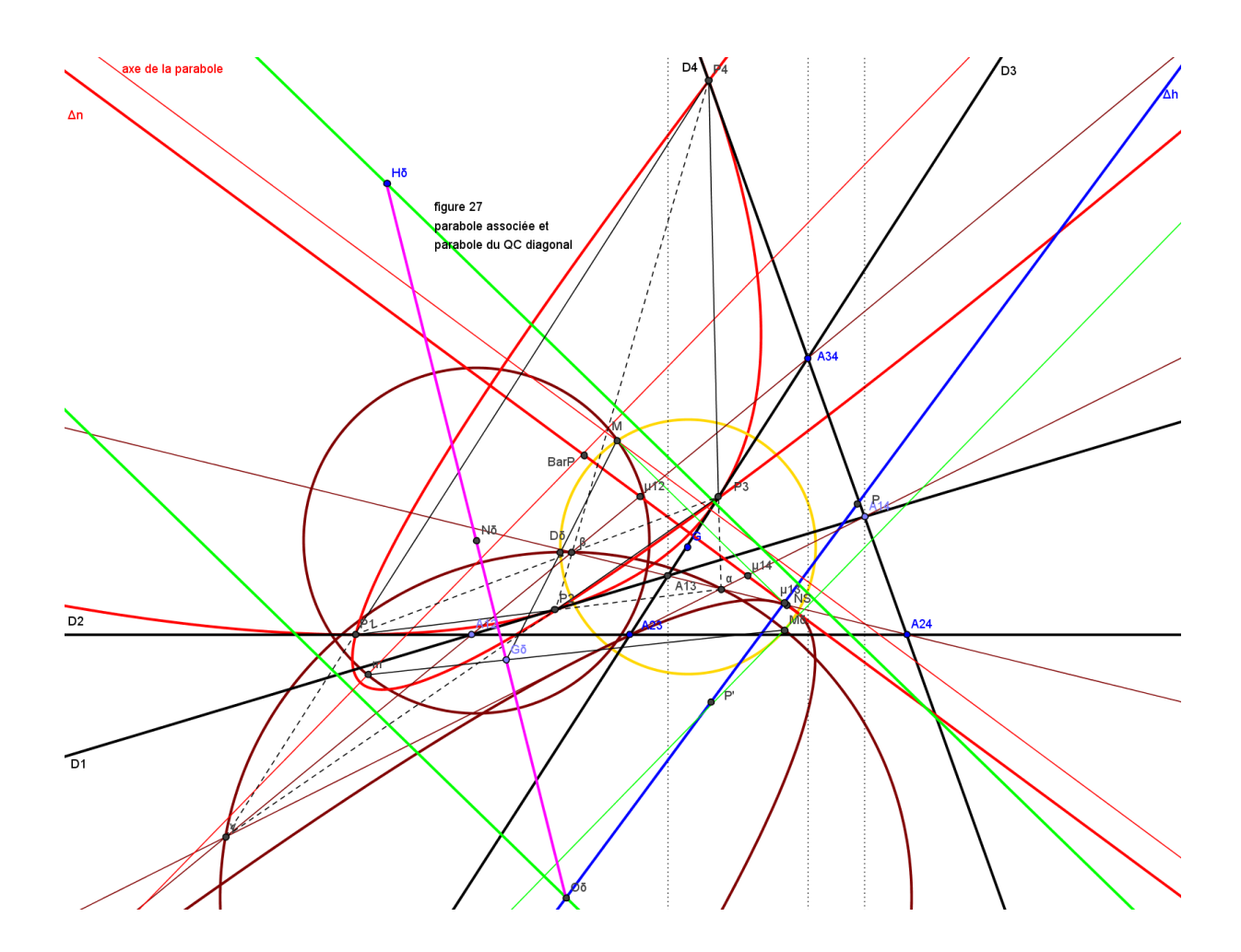
F) Parabole tangente aux 4 droites Di et parabole associée

(figures 26 et 27) (cf C.A. van Tienhoven dans EQF)

- Il existe une parabole unique tangente aux 4 droites Di ; c'est la conique QL-Co1 de EQF.
- Le point de Miquel M est le foyer de cette parabole.
- L'axe de cette parabole est la parallèle par M à la droite de Newton Δn, appelée Mx.
- La droite de Steiner Δh est la directrice de cette parabole.
- p étant son paramètre, distance de M à Δh, pi la distance de M à Di et θi l'angle de Di avec Δh, on a p = 8rΠcosθi et pi = 4rcosθjcosθkcosθl = p/2cosθi.
- P_0 est le sommet de la parabole, δ sa tangente en P_0 ; c'est la droite QL-L3 de EQF.
- M_0 est le point d'intersection de l'axe Mx et de la directrice Δh
- Si l'on considère le triangle Ti constitué par 3 tangentes Dj, Dk et Dl, le foyer M est sur le cercle Ci circonscrit à Ti, la tangente au sommet δ et la directrice Δh étant les droites de Simson et de Steiner de M par rapport à Ti ; ceci justifie l'appartenance de M aux 4 cercles Ci.
- Pi est le point de contact de Di avec la parabole ; Pi est sur la perpendiculaire en Mi à Δh . MiM est perpendiculaire à Di et les triangles PiMMi sont isocèles, les angles à la base étant égaux à θi . On a MPi = pi / $cos\theta i$ = p / 2 $cos^2\theta i$ et, en effectuant le produit, $\Pi MPi = p^4$ / 16 (Π $cos\theta i$) $^2 = 4$ p^2r^2 .
- BarP, l'isobarycentre des 4 points Pi, est sur Δn .
- La distance de M à Δn est pn = p/4 $\sum tg\theta i$.



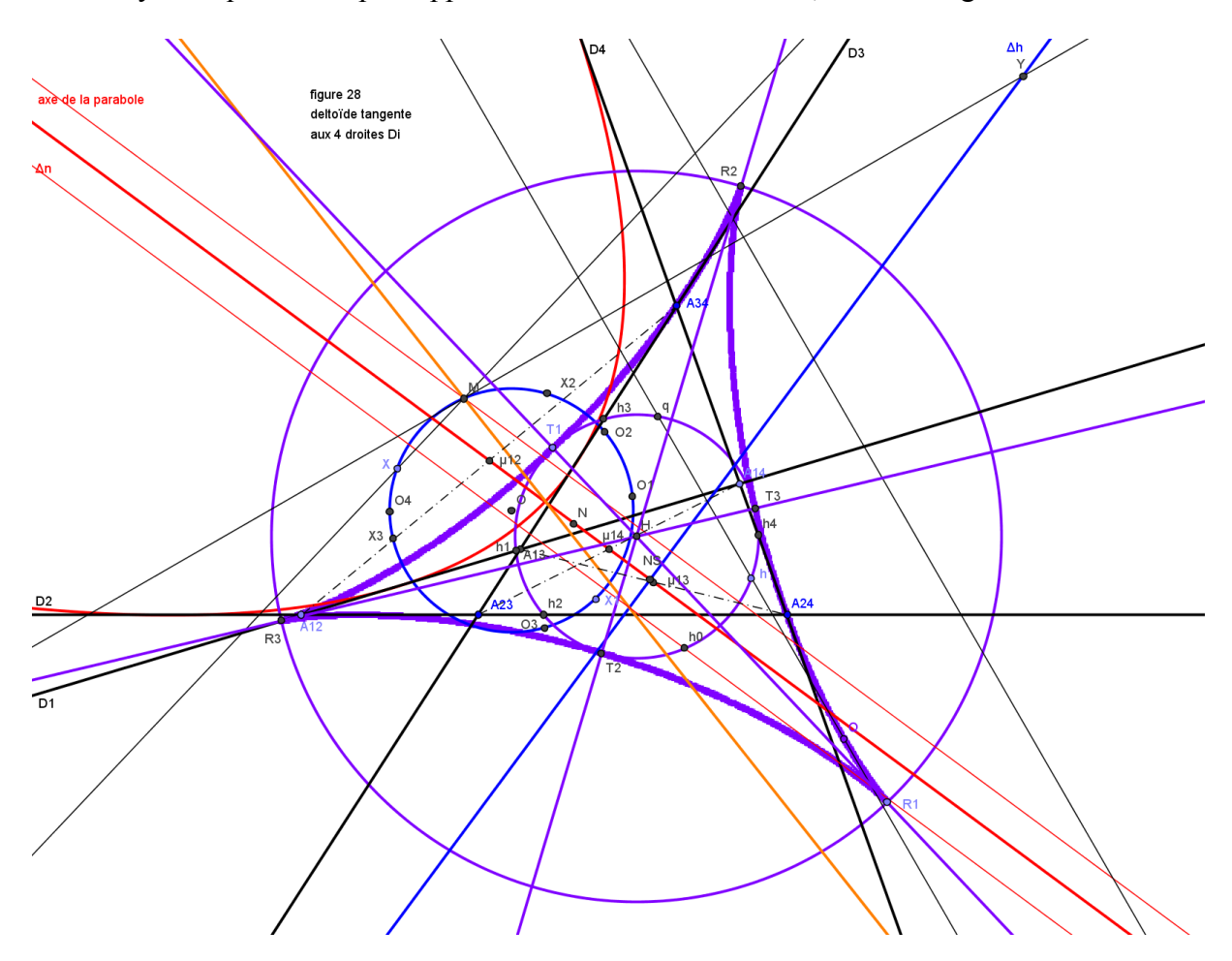
- C.A. van Tienhoven a introduit dans EQF un complément intéressant. Par les 4 points de tangence appelés Pi, il passe 2 paraboles circonscrites, la première étant la parabole tangente aux 4 droites Di. La seconde a pour foyer un point du cercle d'Euler du triangle diagonal, appelé QL-P25 dans EQF, qui se construit comme le complément par rapport au triangle diagonal du point Mδ, l'un des 2 points d'intersection du cercle circonscrit au triangle diagonal et du cercle intermédiaire ou Dimidium (cf page 24 et figure 7). Elle a pour directrice la parallèle menée par le point Oδ, centre du cercle circonscrit au triangle diagonal, à la droite joignant le point de Miquel M au point de Newton-Steiner NS, point d'intersection des droites de Newton et de Steiner.
- Cette parabole est le complément de la parabole décrite page 25, tangente aux 3 diagonales et à la droite de Newton, ces 4 droites constituant le QC diagonal; elle a pour foyer le point Mδ et pour directrice la droite de Steiner HδH' du QC diagonal.
- La seconde parabole est appelées QL-Co3 dans EQF. Les tangentes à la seconde parabole aux points de contact Pi déterminent un second QC et les 2 QC ont même triangle diagonal, qui est aussi celui du quadrangle formé par les 4 points, ce qui détermine quelques belles propriétés symétriques. Les foyers des 2 paraboles sont sur le cercle d'Euler du triangle diagonal commun, les 2 directrices se coupent au centre du cercle circonscrit à ce triangle et la directrice de chacune des 2 paraboles est parallèle au segment joignant le point de Miquel au point de Newton-Steiner de l'autre QC (Δh est parallèle à NSM et Δh' est parallèle à NSM'); enfin, les 2 droites de Newton se coupent en un point qui est le barycentre BarP des 4 points de contact Pi.



G) Deltoïde tangente aux 4 droites Di

(figure 28) (cf Laguerre (4) et J. Lemaire (9))

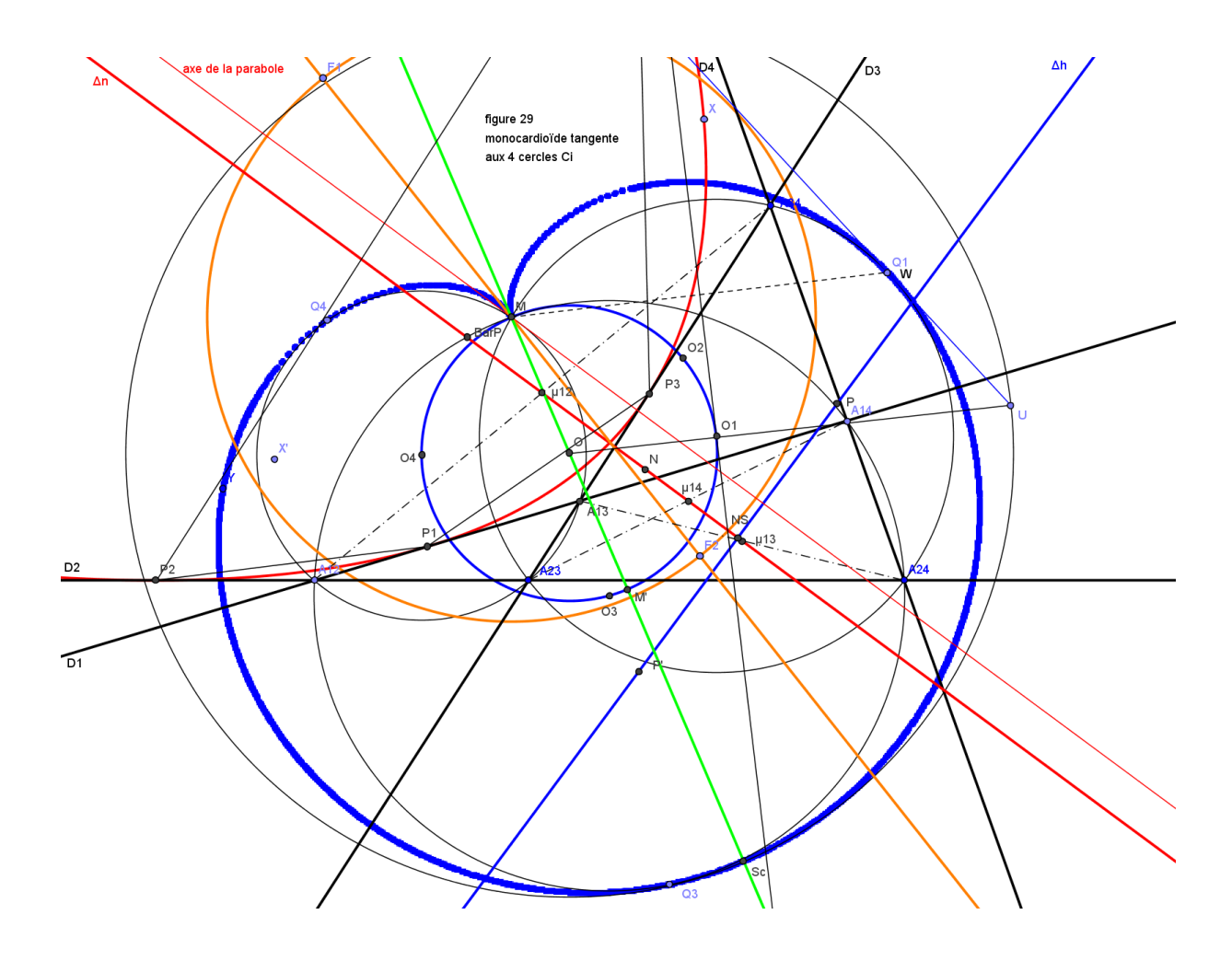
- Il existe une deltoïde, hypocycloïde à 3 rebroussements ou H3, tangente aux 4 droites Di ; c'est la deltoïde de Kantor-Hervey ou quartique QL-Qu2 de EQF.
- Le point de Kantor-Hervey H est le centre du cercle de Hervey (cf partie C page 19) inscrit dans cette H3; R1, R2 et R3 sont les sommets de la H3 (points de rebroussement) et T1, T2 et T3 ses points de contact et de tangence avec son cercle inscrit. R1T1, R2T2 et R3T3 sont tangentes à la H3, se coupent en H et sont les axes de symétrie de la H3; elles font un angle de 1/3∑θi (m° 2π/3) avec Mx.
- On peut donner une construction simple de la deltoïde : pour un point X du cercle de Miquel, on détermine le point Y conjugué Cl-S de X, situé sur la droite de Steiner Δh et le symétrique h de X par rapport au centre de Clawson N. La médiatrice de MY est tangente à la parabole et la parallèle à cette droite par le point h est tangente à la deltoïde ; elle coupe le cercle de Hervey en un second point q et le symétrique Q de q par rapport à h est le point de contact de la tangente avec la deltoïde.
- Les points T1, T2 et T3 sont situés sur les arcs hq entre h et q au tiers à partir de h.
- Lorsque X est en Oi, h est en hi, qi est le point d'intersection autre que hi de Di avec le cercle inscrit dans la H3 et Qi, symétrique de qi par rapport à hi, est le point de contact de Di avec la H3.
- Lorsque X est en M, Y est le point à l'infini de la droite de Steiner et la tangente à la parabole est son axe Mx; la parallèle à Mx par le symétrique h0 de M par rapport à N, symétrique de Mx par rapport à la droite de Newton Δn, est une tangente à la deltoïde.



H) Monocardioïde tangente aux 4 cercles Ci

figure 29 (cf F. Morley (7) et A. Bogomolny (22))

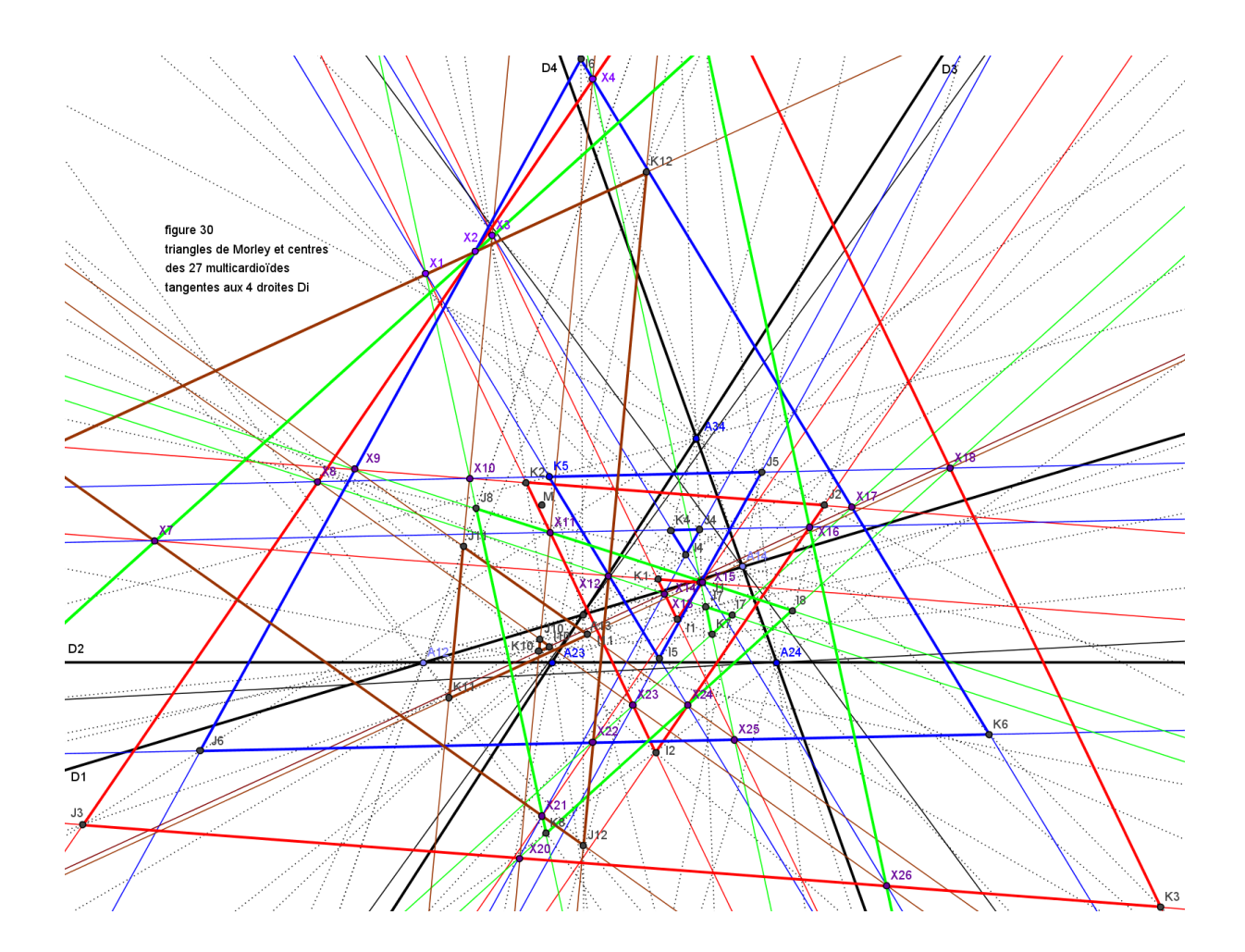
- On a vu précédemment que la transformation Clawson-Schmidt laissait le QC globalement invariant, les droites Di et les cercles Ci échangeant leurs rôles.
- La courbe transformée de la parabole tangente aux 4 Di est une cardioïde tangente aux 4 cercles Ci, épicycloïde à 1 rebroussement ou E1; c'est la quartique appelée monocardioïde de Morley QL-Qu1 de EQF.
- Cette cardioïde admet M comme point de rebroussement, MO comme axe de symétrie,
 O comme centre du cercle intérieur de rayon r (cercle de Miquel) et du cercle directeur de rayon 3r, M' symétrique de M par rapport à O comme centre du cercle inscrit de rayon 2r et Sc, symétrique de M par rapport à M' comme sommet.
- L'angle entre les axes de la parabole et de la cardioïde est (Mx; MO) = $\sum \theta i$ et on a MSc = 2 MM' = 4 MO = 4r.
- On peut donner une construction simple de la cardioïde : sur le cercle de centre O et de rayon OSc = 3r, on place un point U et son symétrique V par rapport à OU ; UV est tangente à la cardioïde et le point de contact W est situé au tiers à partir de A.
- Lorsque Ui est aligné avec Oi (OUi = 3*OOi), le point de contact Wi = Qi avec le cercle Ci est le symétrique de M par rapport à la tangente au cercle (C) au point Oi.



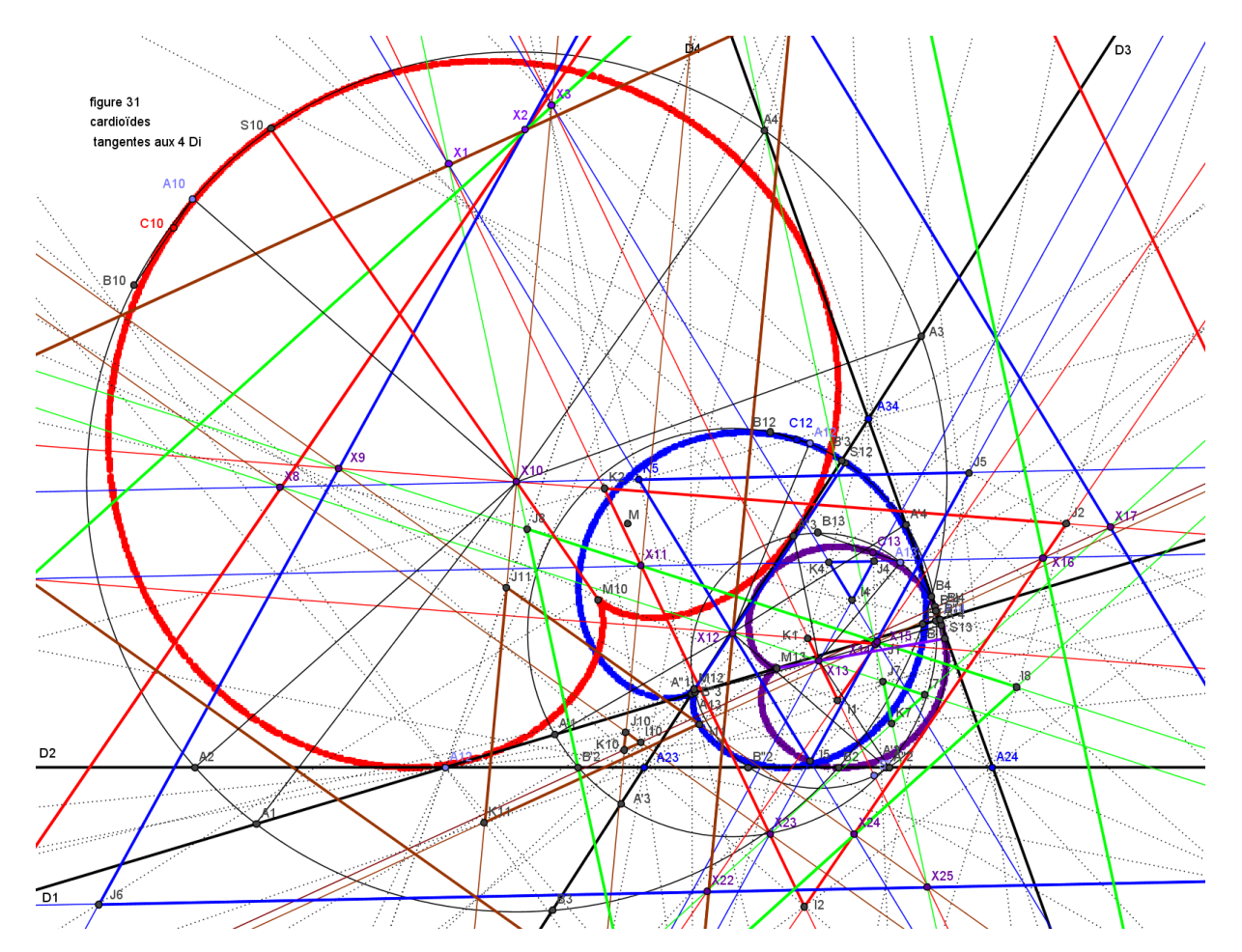
I) Triangles de Morley et multicardioïdes tangentes aux 4 droites Di (figures 30 et 31)

(cf F. Morley (7), Sister Mary Gervase (11), R. Bricard (14), Général Marmion (20) et A. Viricel (21))

- On sait que Frank Morley a trouvé son merveilleux théorème sur les trisectrices en étudiant les cardioïdes. Chaque cardioïde admet une bitangente et chaque tangente ordinaire coupe cette bitangente en un point tel que la droite joignant ce point au centre est une trisectrice de l'angle fait par la tangente avec la bitangente.
- Le lieu des centres des cardioïdes tangentes aux 3 côtés d'un triangle est un maillage de 3*3 = 9 droites, appelées axes du triangle et dont les directions sont celles des triangles de Morley et sont parallèles à la direction moyenne des 3 côtés m° π/3. Ces droites déterminent 27 triangles équilatéraux et si le centre est situé en l'un des sommets, la cardioïde admet un des côtés du triangle comme tangente double.
- Le premier triangle équilatéral principal de Morley a pour sommets les 3 points I1, J1 et K1 intersections des trisectrices intérieures adjacentes aux côtés; les 2 autres triangles équilatéraux principaux de Morley ont pour sommets les points I2, J2 et K2 intersections des trisectrices extérieures adjacentes aux côtés et I3, J3 et K3.
- En théorie, pour le QC, pour qu'une cardioïde soit tangente aux 4 triangles Ti, il faut que son centre soit sur une des intersections des 4 maillages, ce qui devrait représenter 81 points possibles. En pratique, il y a 27 points d'intersection, chaque point se situant à l'intersection de 4 droites (1 par maillage) et chacune des 36 droites portant 3 points.



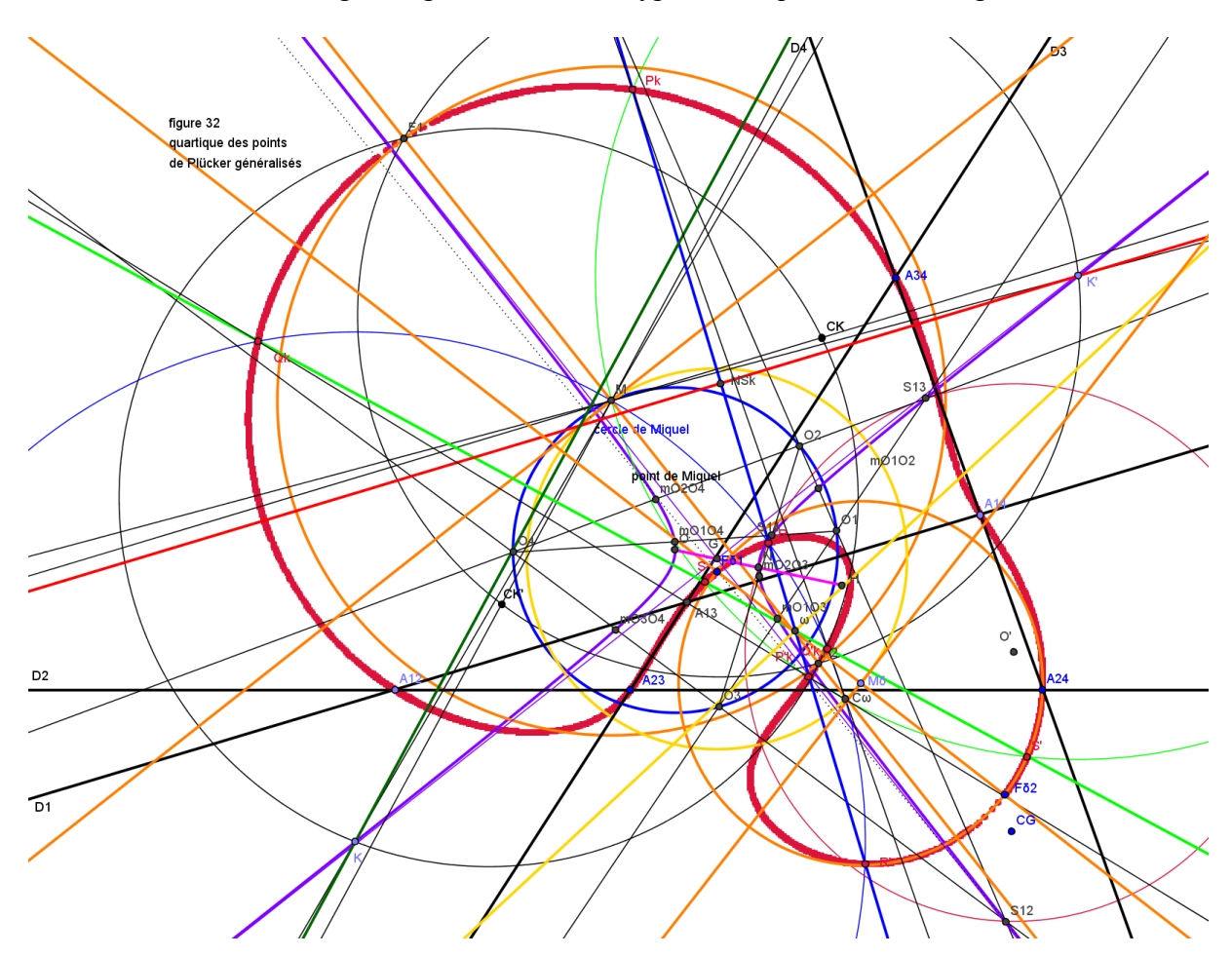
- Eckart Schmidt, membre du groupe Quadrifigures, a prouvé que ces 27 points appartiennent à une cubique, dont les axes, parallèles à ceux de la deltoïde, se coupent au point de Miquel et Bernard Gibert, grand spécialiste des cubiques, a consacré une étude complète à cette courbe.
- Pour une deltoïde de centre O, les points primaires hi sont situés sur le cercle directeur de telle sorte que (Ohi; Ohj) = 2 (Di; Dj) et il n'y a qu'une forme de quadrilatère de sommets hi, les angles entre les côtés étant égaux à (Di; Dj). Pour une cardioïde de centre O, les points primaires ei sont disposés sur le cercle directeur de telle manière que (Oei; Oej) = 2/3 (Di; Dj) m° π/3. A partir d'un ensemble de 4 droites Di, on peut choisir parmi 3 valeurs possibles pour 3 des 4 angles et il y a donc 27 quadrilatères inscrits de sommets ei de formes différentes, les angles entre les côtés étant égaux à 1/3 (Di; Dj) m° π/3.
- Or il n'existe qu'une manière d'inscrire un quadrilatère de forme donnée dans un ensemble de 4 droites données (avec un sommet sur chaque droite).
- Pour la deltoïde, le lieu du centre est, pour un triangle donné, la médiatrice d'Euler et, pour le QC, ces 4 médiatrices sont concourantes, ce qui constitue le théorème de Kantor-Hervey. Pour la cardioïde, ce lieu est, pour un triangle donné, le maillage de Morley et, pour le QC, l'intersection de ces 4 maillages, constituée des 27 points appartenant à la conique identifiée par Eckart Schmidt et étudiée par Bernard Gibert.
- Il y a 27 cardioïdes tangentes aux 4 droites Di du QC; ce sont les quartiques appelées multicardioïdes de Morley QL-27Qu1 de EQF.
- On a représenté sur la figure 31 les cardioïdes de centres X10, X12 et X13. Les droites Di sont orientées comme pour la parabole pour la cardioïde de centre X12 et comme pour la deltoïde pour celle de centre X13.



J) Quartique des points de Plücker généralisés

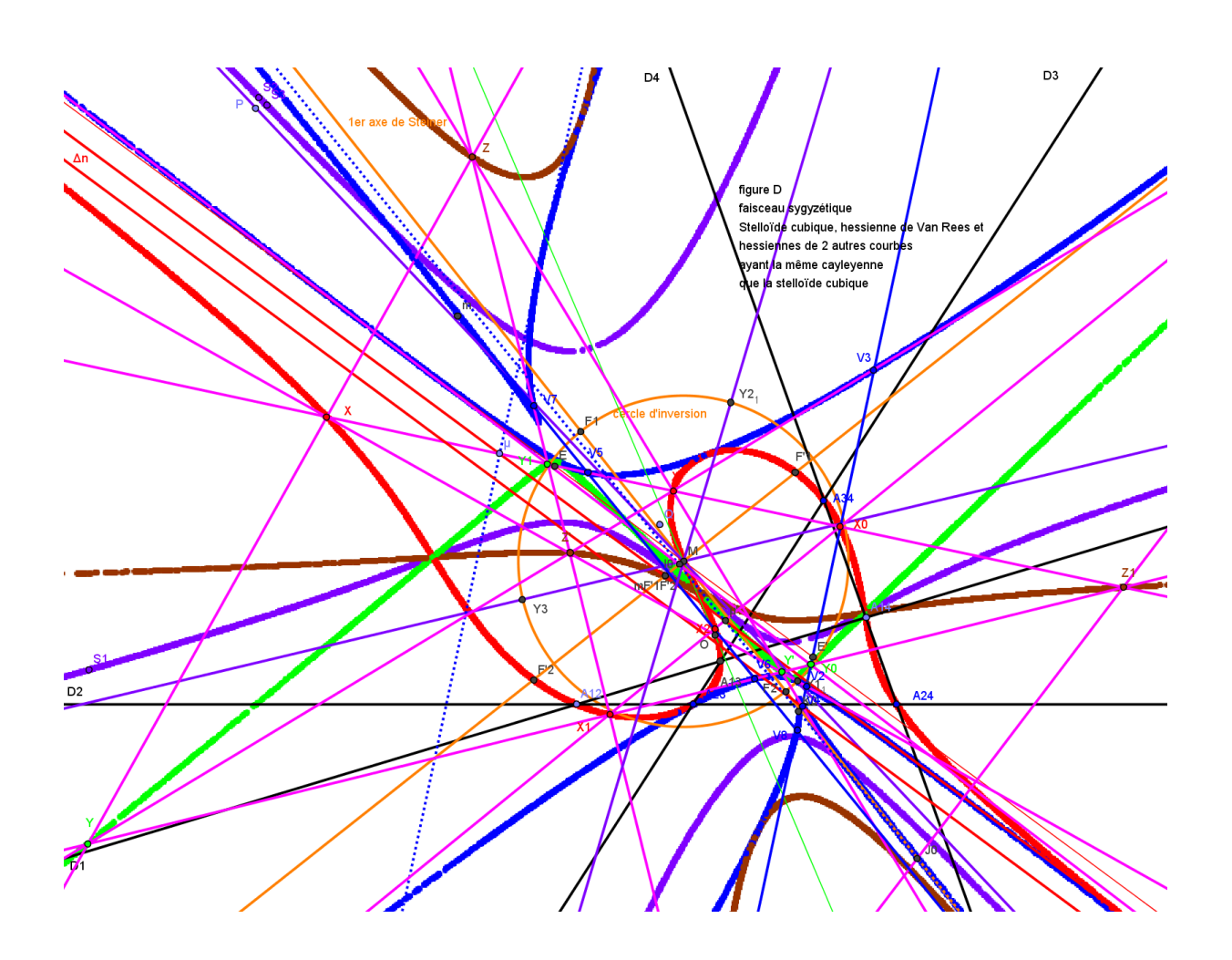
(figure 32) (cf E. Schmidt (26))

- On a vu que les points de Plücker P et P' sont sur les 3 cercles ayant pour diamètres les diagonales AijAkl du QC et que les 3 cercles conjugués de ces 3 cercles passent aussi par Aij et Akl et par les conjugués Cl-S Q et Q' de P et P'.
- On considère plus généralement l'ensemble des points X et X' situés sur 3 cercles passant par les couples de points Aij et Akl.
- X et X' décrivent une quartique qui passe par les 6 sommets du QC, par les points P et P', Q et Q', F1 et F2 et F1δ et F2δ, invariants des transformations Cl-S et Cl-Sdiag.
- Pour construire la quartique, on donne 2 points K et K' symétriques par rapport à G sur l'hyperbole équilatère de centre G passant par O et N et décrite sur la figure 13. On construit les cercles de centres K et K' passant par M et leurs conjugués Cl-S, 2 droites qui coupent les 2 cercles respectivement en Pk, P'k, Rk et R'k et Qk, Q'k, Sk et S'k.
- P et Q, P' et Q', R et R', S et S' sont 4 couples de points conjugués Cl-S.
- P et P', Q et Q', R et S et R' et S' sont 4 couples de points conjugués Cl-Sdiag.
- Lorsque K et K' décrivent l'hyperbole équilatère de la figure 13, les 8 points décrivent la quartique, qui est ainsi par construction invariante dans Cl-S et Cl-Sdiag.
- Un QC détermine les 2 transformations Cl-S et Cl-Sdiag, ainsi que les hyperboles équilatères des figures 13 et 17. Mais il y a une infinité de QC inscrits dans la quartique ; ils ont en commun les points M, G et Mδ ainsi que les transformations Cl-S et Cl-Sdiag, les points O et N sont sur l'hyperbole équilatère de la figure 13 et les sommets du triangle diagonal sont sur l'hyperbole équilatère de la figure 17.



Troisième partie

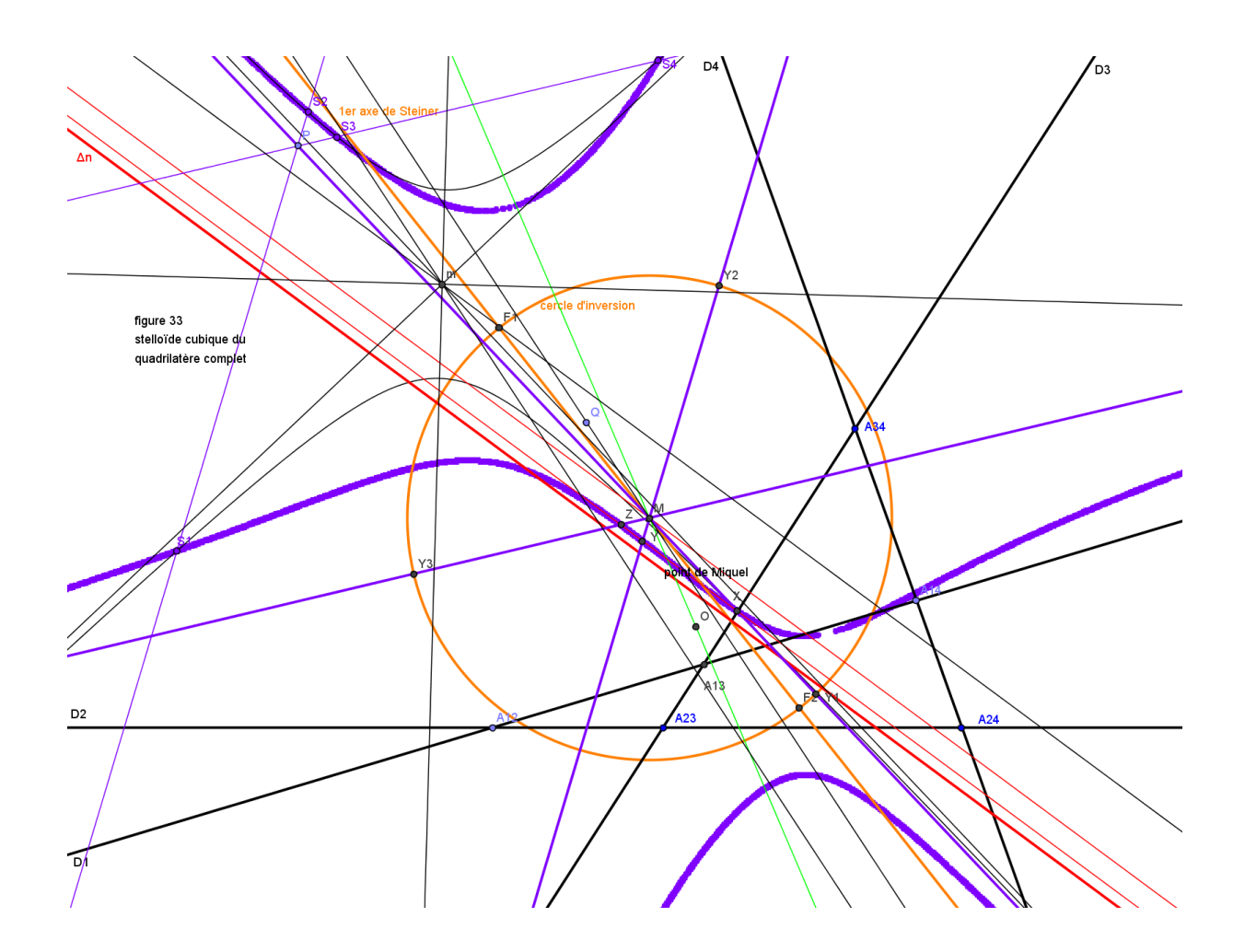
Stelloïde cubique, hessienne, cayleyenne et courbes associées



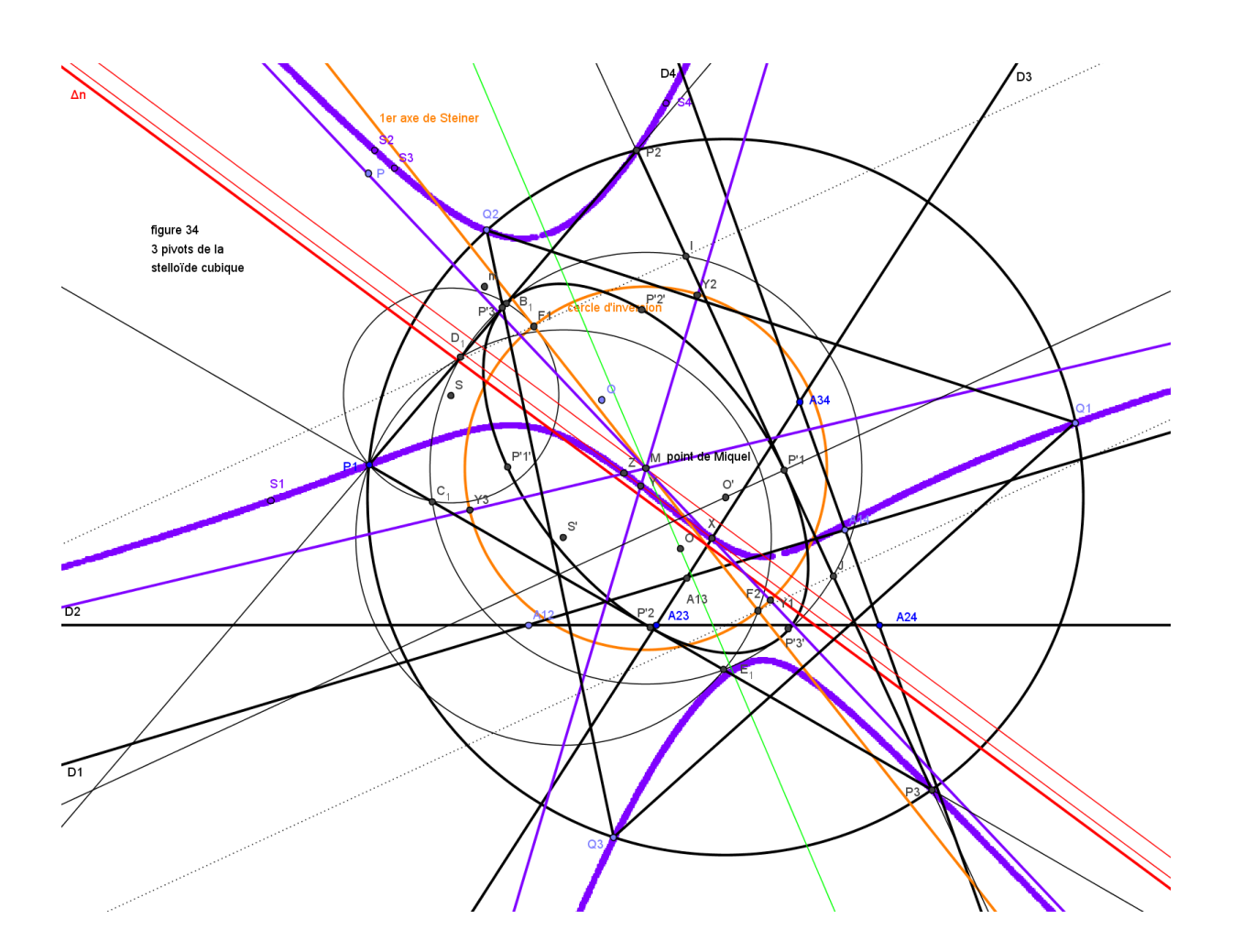
K) Stelloïde cubique de J. Marchand

(figures 33, 34 et 35) (cf E. Schmidt (26), B. Gibert (31) et J. Marchand (16))

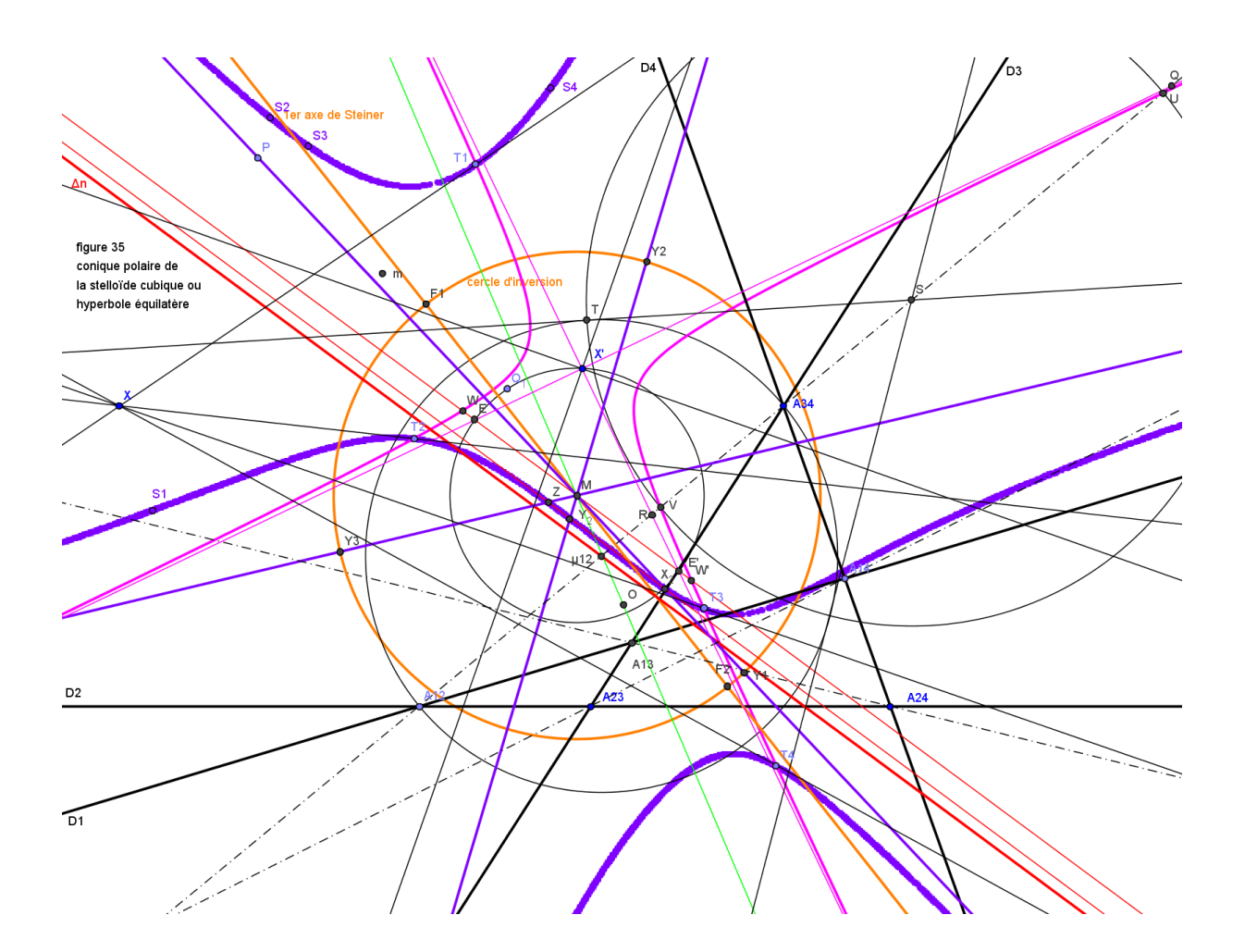
- Une cubique est une courbe définie par une équation du 3^{ème} degré ; elle est coupée par une droite en 3 points.
- On a vu que la courbe lieu des centres des 27 multicardioïdes tangentes aux 4 droites Di était une cubique trouvée par Eckart Schmidt et étudiée par Bernard Gibert; elle porte le nom de cubique de Eckart ou QL-Cu2 dans EQF.
- Bernard Gibert a montré que cette courbe coïncide en fait avec la stelloïde cubique conjuguée du QC décrite par Jules Marchand.
- Cette courbe a 3 asymptotes concourant au point M et faisant entre elles des angles de π/3; ces asymptotes trisectent l'angle orienté en M fait par l'axe de la parabole avec le 1^{er} axe de Steiner (ou l'angle fait par l'axe de la cardioïde avec l'axe de la parabole).
- La courbe recoupe ses asymptotes en 3 points alignés sur une parallèle à la droite de Newton Δn s'en déduisant dans une homothétie de centre M et de rapport 2/3.
- On utilise une construction fournie par Eckart Schmidt: pour un point P sur une asymptote, on détermine son conjugué Cl-S Q, le milieu m de PQ et on trace l'hyperbole équilatère de centre m, d'asymptotes parallèles aux bissectrices de l'angle entre MQ et l'axe de la parabole Mx et passant par le point fixe de l'asymptote choisie; cette hyperbole équilatère coupe les parallèles aux asymptotes par le point P en 4 points autres que le point fixe S1, S2, S3 et S4 qui décrivent la SC lorsque P décrit l'asymptote.



- La stelloïde de degré n est le lieu des points P tels que la direction moyenne des droites PAi soit fixe, les Ai étant n points de la courbe constituant un polygone de référence.
- La stelloïde conique de degré 2 est l'hyperbole équilatère, lieu des points P tels que les bissectrices de l'angle (PP1, PP2) aient une direction fixe, P1 et P2 étant 2 points de l'hyperbole équilatère symétriques par rapport à son centre et la direction fixe étant celle des asymptotes orthogonales de la courbe.
- La stelloïde cubique de degré 3 est le lieu des points P tels que la direction moyenne des droites PP1, PP2 et PP3 soit fixe, P1, P2 et P3 étant 3 points pivots de la SC, leur isobarycentre étant le centre de la SC, point de concours de ses asymptotes, et la direction fixe étant celle des asymptotes, faisant entre elles des angles de $\pi/3$.
- On reprend ici une construction fournie par Bernard Gibert. Si P1 est un point pivot choisi arbitrairement sur la courbe, on construit le point P'1 tel que MP'1 = -1/2 MP1, la bissectrice intérieure de l'angle <F1P'1F2> et l'ellipse de foyers F1 et F2 et tangente en P'1 à cette bissectrice. Les 2 tangentes issues de P1 déterminent les 2 autres pivots P2 et P3, M est le centre de gravité du triangle P1P2P3 et l'ellipse est l'ellipse de Steiner de ce triangle, tangente aux 3 côtés en leurs milieux.
- Le cercle de centre O' circonscrit à P1P2P3 recoupe la SC en 3 points Q1Q2Q3 sommets d'un triangle équilatéral.



- Par tout point du plan, il passe en général 6 tangentes et la conique polaire de la cubique passe par les 6 points de contact (réels ou imaginaires).
- La SC a pour réseau ponctuel de coniques polaires l'ensemble des hyperboles équilatères qui coupent les 3 côtés du triangle diagonal, çàd les diagonales du QC, harmoniquement par rapport aux 2 sommets du QC portés par cette diagonale.
- Ces hyperboles équilatères coupent harmoniquement n'importe quelle diagonale d'un QC ayant même Cl-S et même droite de Newton Δn que le QC initial; autrement dit, elles coupent n'importe quelle droite joignant 2 points conjugués Cl-S dont le milieu est sur Δn en 2 points conjugués harmoniques par rapport à ces 2 points.
- En particulier, elles coupent l'axe de la parabole en 2 points symétriques par rapport au point de Miquel M et plus généralement toute parallèle à la droite de Newton en 2 points dont le milieu est aligné avec le centre de l'hyperbole équilatère et le point M.
- Pour un point quelconque X, on mène les tangentes à la SC; on appelle T1, T2, T3 et T4 les points de contact réels. La conique polaire du point est une hyperbole équilatère centrée au point X' conjugué Cl-S de X. On sait qu'elle coupe l'axe de la parabole Mx en 2 points W et W' symétriques par rapport à M; les asymptotes de l'hyperbole équilatère se coupent orthogonalement en X' et coupent aussi Mx en 2 points E et E' symétriques par rapport à M, ce qui permet de les déterminer en traçant le cercle de centre M passant par X'.



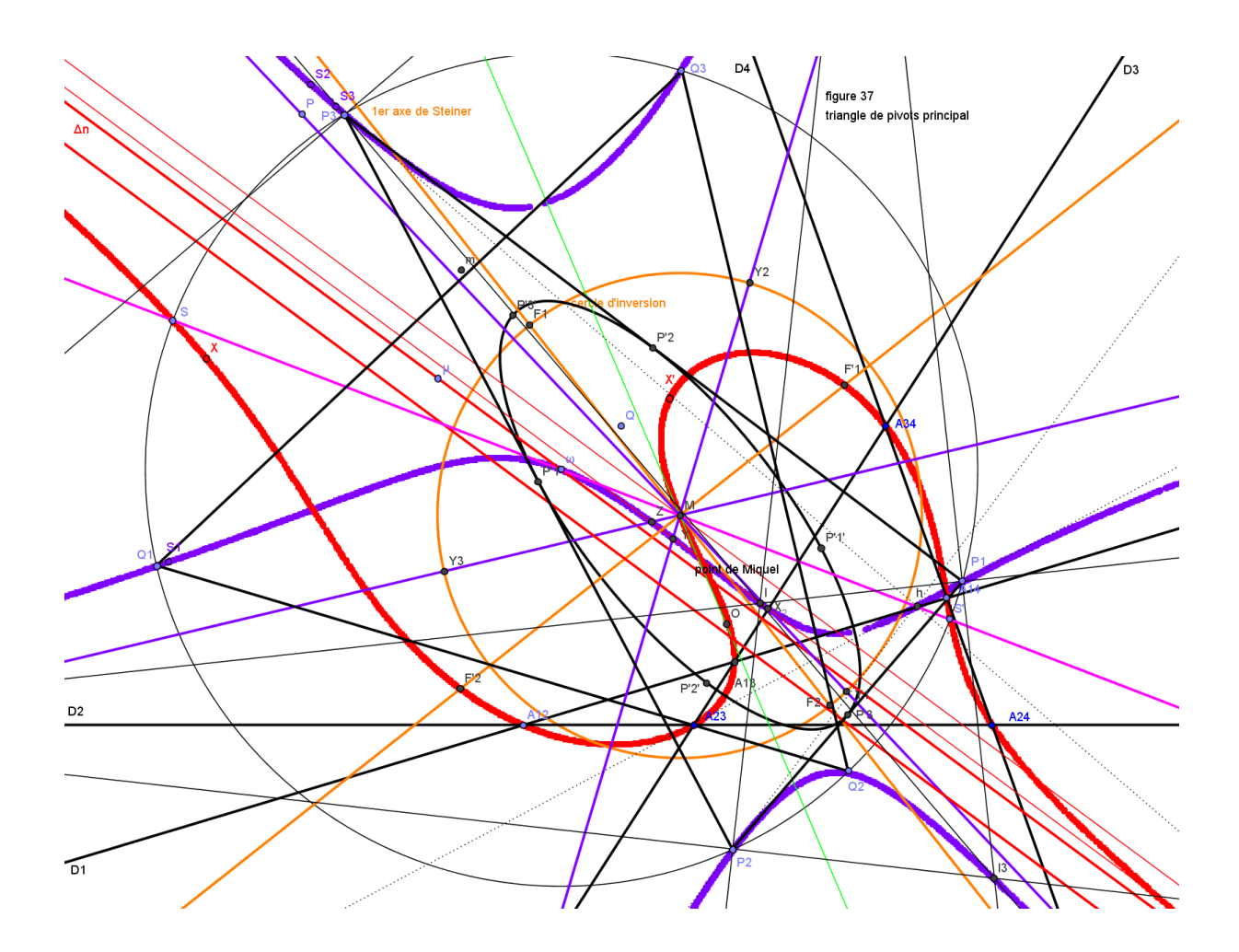
L) Hessienne de Van Rees

(figures 36, 37 et 38) (cf Van Rees (2), D. Roux et M. Tixier (24), J.P. Ehrmann (23) et B. Gibert (31))

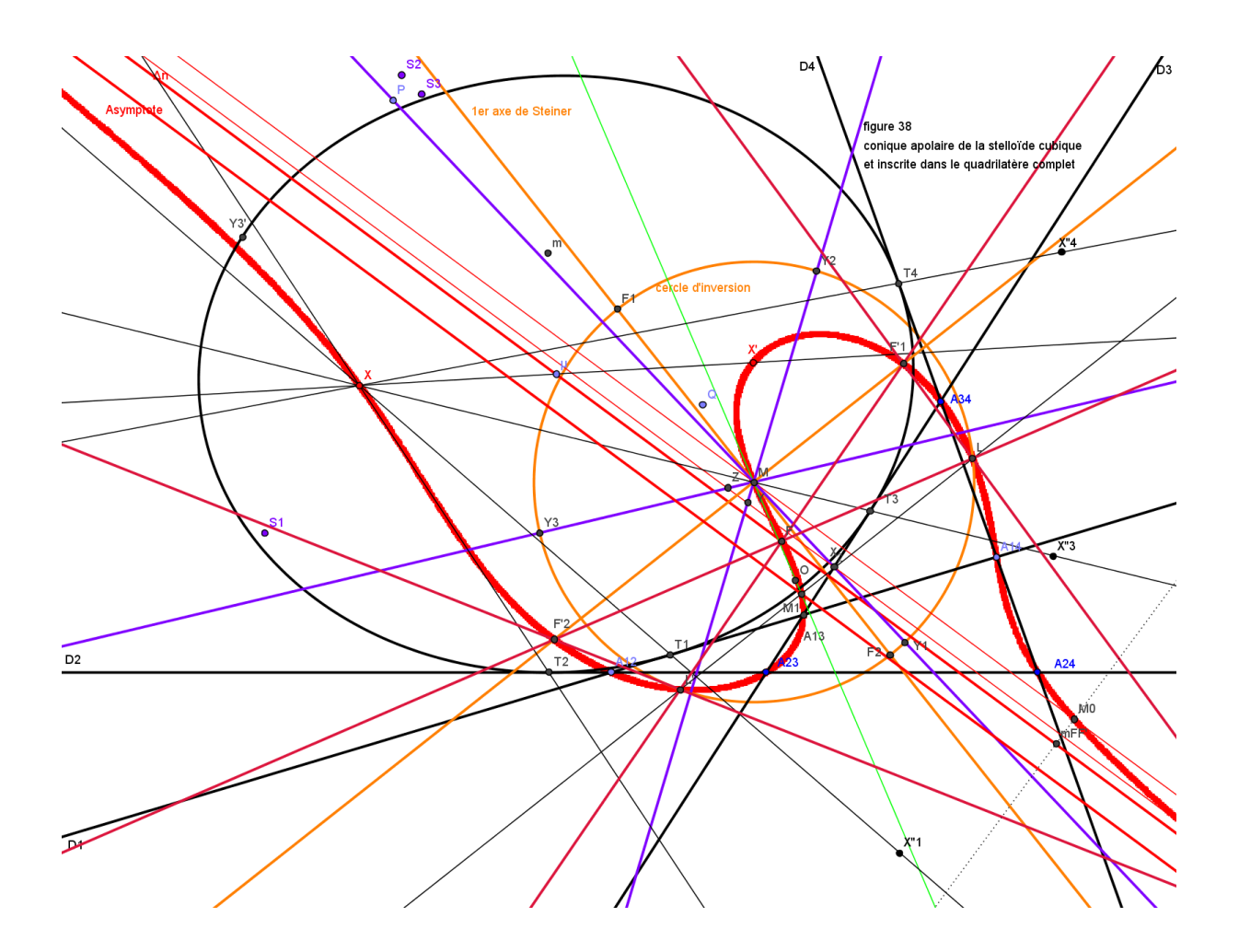
- La hessienne d'une cubique est une autre cubique, lieu des points X pour lesquels la conique polaire dégénère en 2 droites qui se coupent en un point X' de cette seconde cubique, appelé conjugué du point X; la conique polaire de X' dégénère aussi en 2 droites qui se coupent en X, réciproquement conjugué du point X'.
- La hessienne de la SC est la courbe cubique circulaire focale de van Rees (VR), qui passe par les 6 points Aij et par le foyer M de la parabole, ainsi que par les 2 points circulaires à l'infini et par les pieds des hauteurs du triangle diagonal (projections de α, β et γ sur les côtés AijAkl); on notera que les 4 cubiques dégénérées composées d'un cercle Ci et d'une droite Di passent aussi par les 6 points Aij, par les 2 points circulaires à l'infini et par le point de Miquel M.
- Cette courbe VR admet une asymptote réelle symétrique de l'axe de la parabole par rapport à la droite de Newton (tangente à la H3) et 2 asymptotes imaginaires passant par M et par les 2 points circulaires à l'infini ; c'est la cubique QL-Cu1 de EQF.
- La courbe de Van Rees est à la fois autoisogonale par rapport à chacun des 4 triangles Ti et globalement invariante dans la transformation Clawson-Schmidt.
- Pour construire la courbe, on donne un point μ sur la droite de Newton Δn, on trace les 2 bissectrices de l'angle F1μF2; la bissectrice extérieure coupe le 2nd axe de Steiner en un point I et la bissectrice intérieure coupe le cercle de centre I passant par F1 et F2 en 2 points X et X', conjugués Cl-S et de milieu μ. Lorsque μ décrit la droite de Newton, X et X' décrivent la hessienne de Van Rees.



- Si l'on reprend la construction de la figure 35 pour un point S de la hessienne, l'hyperbole équilatère dégénère en un couple de 2 droites orthogonales se coupant au point S', conjugué Cl-S de S et recoupant la SC en 4 points T1, T3 et T4 alignés et T2.
- La connaissance de la hessienne permet de déterminer le triangle de pivots principal de la SC. La droite de Newton Δn coupe la SC en un point Ω; MΩ est tangente à la SC en Ω et coupe la hessienne en 2 points S et S'. Le cercle de centre Ω passant par S et S' coupe la SC en 6 points P1, P2 et P3 et Q1, Q2 et Q3; Q1Q2Q3 est un triangle équilatéral. P1P2P3 est le triangle de pivots principal, son centre du cercle circonscrit est Ω sur la SC, son centre de gravité est M et son orthocentre Hsc est sur la SC. Mieux encore, les centres des cercles inscrit et exinscrits de ce triangle I, I1, I2 et I3 sont aussi sur la SC. On trace sans difficulté l'ellipse de Steiner de foyers F1 et F2.
- La forme de la SC et de la hessienne dépend de la position respective de la droite de Newton Δn et de l'axe de Steiner F1F2 : si le point d'intersection de ces 2 droites se situe entre F1 et F2, la SC est formée de 3 parties indépendantes, dont 2 concaves tournées vers l'extérieur et une centrale plus allongée (type Mc Cay) et la hessienne est unicursale ; si le point d'intersection est à l'extérieur du segment, la SC est formée de 3 parties concaves tournées vers l'extérieur (type Kjp) et la hessienne est bicursale ; si le point d'intersection est F1 ou F2, les 2 courbes forment un nœud en ce point.
- La SC de la figure 37 est du 1^{er} type mentionné et sa hessienne est unicursale.



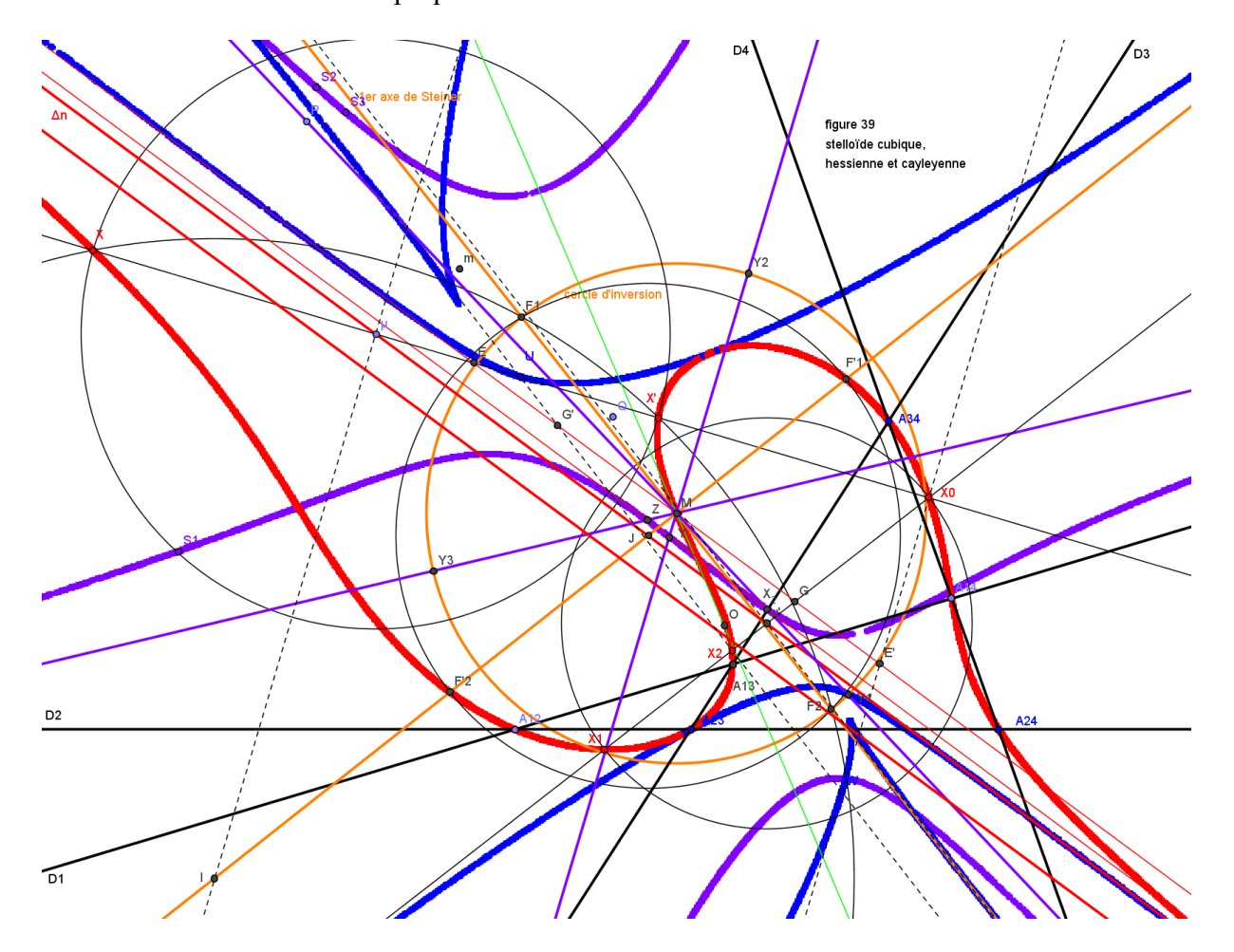
- La SC a pour réseau tangentiel de coniques apolaires l'ensemble des coniques inscrites dans le QC, çàd tangentes aux 4 droites Di. Ces coniques ont pour centres les points μ de la droite de Newton Δn, milieux des segments XX', et pour foyers les couples de points X et X' conjugués Cl-S de la hessienne VR.
- Un QC détermine une transformation Cl-S et une droite de Newton et par conséquent une SC et une hessienne. Mais il existe une infinité de QC ayant la même SC : ils sont tous inscrits dans la hessienne et ont la même Cl-S et la même droite de Newton.
- Toute droite coupe la hessienne en 3 points réels ou imaginaires, dont les conjugués sont sur un cercle passant par M; le cercle et la droite sont conjugués Cl-S et le centre du cercle est le conjugué Cl-S du symétrique de M par rapport à la droite.
- Pour tout point X de la courbe VR, on appelle tangentiel de X le point X₁ où la tangente en X recoupe la courbe. Deux points conjugués X et X' ont le même tangentiel X₁ et XX' recoupe la courbe au point X₀ conjugué de X₁.
- Ainsi, la courbe VR coupe la droite de Newton en 2 points conjugués F et F', dont le tangentiel est M; le conjugué M' (second foyer de la parabole) de M est le point à l'infini de la droite de Newton et le tangentiel commun à M et M' est le point M₁ où la courbe VR recoupe son asymptote (M₁ est sur MO); le conjugué M₀ de M₁ est sur la parallèle à la droite de Newton menée par M (çàd l'axe de la parabole).
- La perpendiculaire par M1 au 1^{er} axe de Steiner coupe le cercle d'inversion en 2 points L et L'; le 2nd axe de Steiner coupe le cercle d'inversion en 2 points F'1 et F'2, qui sont 2 centres d'inversion de la hessienne VR (courbe anallagmatique).
- F, F', L, L', F'1 et F'2 constituent le QC principal de la hessienne.



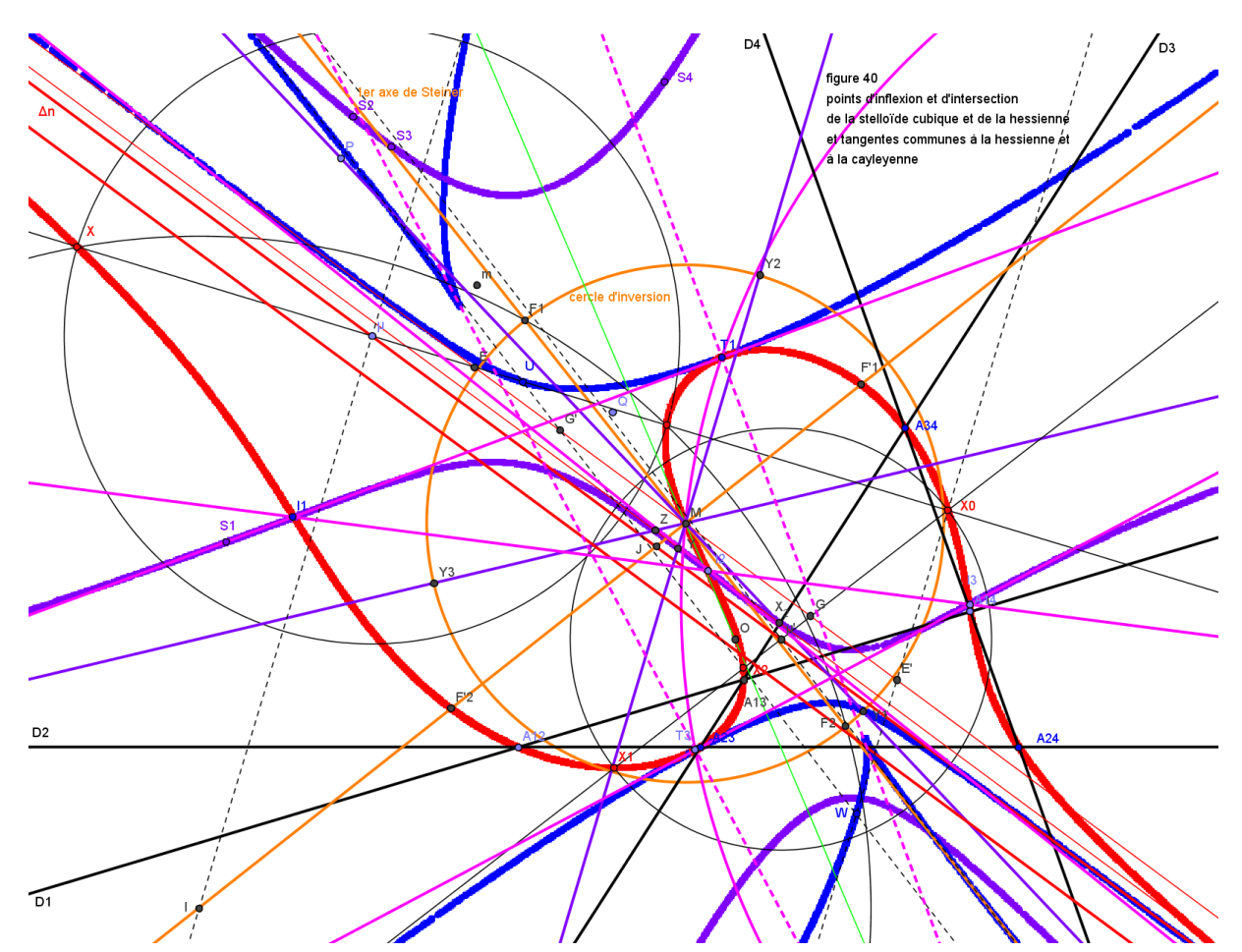
M) Cayleyenne

(figures 39 et 40)

- Deux points conjugués d'une cubique ont le même tangentiel, point d'intersection situé sur la cubique des tangentes en ces 2 points; ce point est le conjugué du 3^{ème} point d'intersection de la droite passant par ces 2 points avec la cubique.
- La cayleyenne d'une cubique est une sextique, enveloppe des droites constituant les coniques polaires dégénérées des points de la hessienne ; pour chaque droite passant par 2 points conjugués, le point de contact avec la cayleyenne est le conjugué harmonique du 3^{ème} point par rapport aux 2 points conjugués.
- La cayleyenne de la SC est la sextique enveloppant l'ensemble des droites perpendiculaires constituant les coniques polaires dégénérées de la hessienne VR; elle enveloppe les axes des coniques inscrites, axe principal passant par 2 points conjugués Cl-S de la hessienne et axe secondaire, médiatrice du segment joignant ces 2 points.
- Pour tracer la cayleyenne de la SC, on part d'un couple de points conjugués de la hessienne X et X', de milieu μ sur Δn. On détermine le 3ème point d'intersection X0 de la droite XX' avec la hessienne (on sait que XX' et la perpendiculaire à XX' en X0 coupent l'axe de la parabole en 2 points E et E' symétriques par rapport à M). Le point U conjugué harmonique de X0 par rapport à X et X' (inverse du point X0 par rapport au cercle de centre μ passant par X et X') appartient à la cayleyenne.
- On peut recommencer l'opération avec le point X0 et son conjugué X1; on détermine la 3^{ème} intersection X2 et le point V conjugué de X2 par rapport à X0 et X1. Enfin, la perpendiculaire en X0 à XX' est aussi tangente à la cayleyenne en un point W situé à l'intersection avec la perpendiculaire en X2 à X0X1.



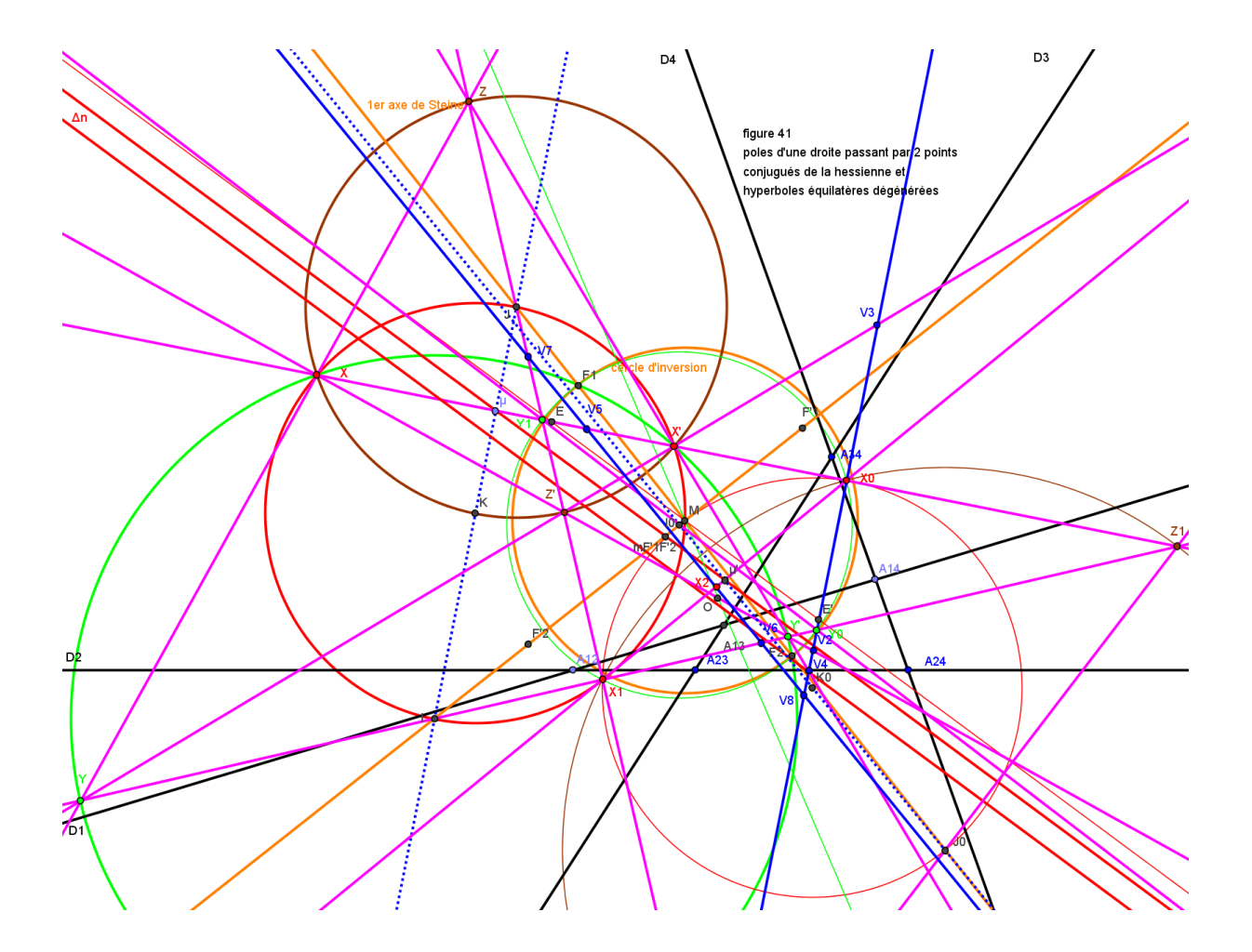
- Une cubique a en général 9 points d'inflexion, dont au moins 1 est réel, les points imaginaires étant en nombre pair.
- La SC et la hessienne ont 3 points d'inflexion alignés I₁, I₂ et I₃; ce sont aussi leurs points d'intersection. Les conjugués Cl-S de ces 3 points sont les 3 points de tangence T1, T2 et T3 entre la hessienne et la cayleyenne; ils sont sur un cercle passant par M. On note que les points d'inflexion I1, I2 et I3 sont à la fois les tangentiels et les conjugués Cl-S des points de tangence T1, T2 et T3.
- Les 3 tangentes communes à la hessienne et à la cayleyenne aux points de contact T1, T2 et T3 déterminent un triangle dont l'orthocentre est le point de concours des 3 normales communes aux 2 courbes en ces 3 points, qui sont tangentes à la cayleyenne en ses points de rebroussement.
- Cette courbe étonnante a notamment comme tangentes les droites passant par un certain nombre de points conjugués Cl-S du QC déjà rencontrés : l'axe de la parabole, le point de contact étant le symétrique de M0 par rapport à M, la droite de Newton Δn, le point de contact étant le milieu de FF', le second axe de Steiner, le point de contact étant le conjugué harmonique de M par rapport à F'1 et F'2, la droite LL', le point de contact étant le conjugué harmonique de M1 par rapport à L et L' ...
- La forme de la cayleyenne dépend aussi de celle de la SC; on a déjà mentionné que les figures décrites correspondent au 1^{er} type dit Mc Cay avec une hessienne unicursale. Pour une forme bicursale, on retrouve les 3 points d'inflexion et d'intersection de la SC et de la hessienne et leurs conjugués Cl-S comme points de tangence entre la hessienne et la cayleyenne ainsi que l'orthocentre du triangle des tangentes communes comme point de concours des normales en ces points tangentes à la cayleyenne en ses points de rebroussement.



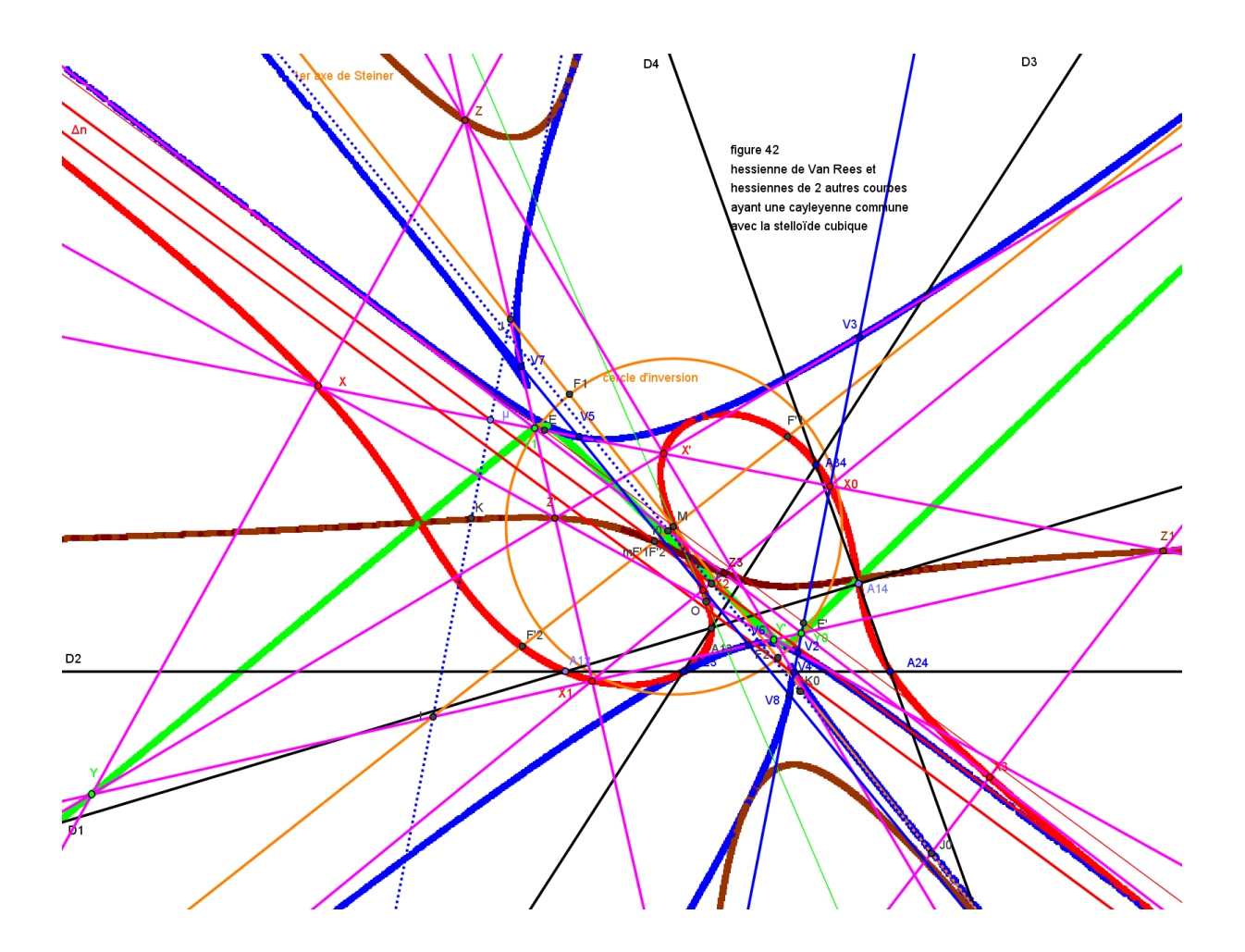
N) Courbes associées

(figures 41 et 42)

- La figure 41 généralise la figure 7 : pour 2 points conjugués X et X' de la hessienne, on trace les bissectrices des angles <F'1XF'2> et <F'1X'F'2>.
- Ces 2 couples de droites perpendiculaires constituent respectivement les coniques polaires des points X et X'; ils se coupent en 4 points Y et Y' et Z et Z' qui constituent les pôles de la droite XX'. Tout point de de la droite XX' a pour conique polaire une conique passant par ces 4 points.
- En particulier au point X1 d'intersection de YY' et ZZ', la conique polaire dégénère en 2 droites orthogonales YY' et ZZ' qui constituent la conique polaire dégénérée du 3^{ème} point d'intersection X0 de XX' avec la hessienne. X0 et X1 sont à leur tour 2 points conjugués de la hessienne et la conique polaire dégénérée de X1 est constituée de la droite XX' et de la perpendiculaire en X0 à XX'.
- Y et Y' sont sur un cercle de centre I sur le 2nd axe de Steiner qui passe par X et X' et par F1 et F2; Z et Z' sont sur un cercle de centre J sur le 1^{er} axe de Steiner qui passe aussi par X et X' et est orthogonal au précédent. Ces 2 cercles constituent la généralisation des cercles de Steiner rencontrés pages 13 et 14. Les points Y, Y', Z et Z' forment un quadrangle orthocentrique; le cercle d'Euler commun aux 4 triangles passe par X, X' et X1 et par le point de Miquel M.
- Les 3 couples de points X et X', Y et Y' et Z et Z' jouent un rôle symétrique : XX' et YY' se coupent en Z1, XX' et ZZ' en Y1 et la perpendiculaire en X0 à XX' coupe YY' en Y0 et ZZ' en Z0. Y0 et Y1 et Z0 et Z1 sont 2 couples de points conjugués.



- On peut bien sûr recommencer au tour suivant : Y0, Y1, Z0 et Z1 sont les 4 pôles de la droite X0X1 et on construit sans difficulté les points X3, Y3 et Z3 intersections respectives de Y0Y1 et Z0Z1, X0X1 et Z0Z1 et X0X1 et Y0Y1 et X2, Y2 et Z2 leurs conjugués, X2 étant la 3^{ème} intersection de X0X1 avec la hessienne et Y2 et Z2 étant les intersections respectives de la perpendiculaire en X2 à X0X1 avec Y0Y1 et Z0Z1.
- On a compris bien sûr que l'on peut mener de chacun des 2 points X et X' 2 tangentes à la cayleyenne orthogonales ; mais on peut aussi mener de chacun des 2 points Y et Y' et de chacun des 2 points Z et Z' 2 tangentes à la cayleyenne, ce sont les mêmes droites prises dans un ordre différent.
- On définit dès lors sur la perpendiculaire en X0 à XX', qui comprend déjà les points Y0 et Z0 intersections avec YY' et ZZ', les 4 points V1, V2, V3 et V4 intersections avec XYZ, XY'Z', X'YZ' et X'Y'Z et sur la perpendiculaire en X2 à X0X1 les 4 points V5, V6, V7 et V8 intersections avec XX', YY', ZZ' et X0Y0Z0.
- Lorsque μ décrit la droite de Newton Δn, X, X', X0, X1, X2 et X3 décrivent la hessienne de la SC, Y, Y', Y0, Y1, Y2 et Y3 décrivent une 2^{nde} cubique et Z, Z',Z0, Z1, Z2 et Z3 une 3^{ème} cubique. Les 8 points V1 à V8 décrivent la cayleyenne de la SC.
- La 2^{nde} et la 3^{ème} cubique sont les hessiennes de 2 autres cubiques qui ont la même cayleyenne que la SC.
- Les mystérieux cercles de Steiner orthogonaux passant l'un par X, X', Y et Y' et F1 et F2 et l'autre par X, X', Z et Z' sont les cercles appartenant aux 2 réseaux des autopoloconiques communes à la SC et à la préhessienne de la 2^{nde} cubique ou communes à la SC et à la préhessienne de la 3^{ème} cubique.



Résumé et remarques

Le quadrilatère complet ou QC, formé par 4 droites Di et leurs 6 points d'intersection Aij, est une figure fascinante, étudiée en détail notamment par Jakob Steiner en 1827, par A. Miquel en 1838 et par F. Morley, comme cas particulier du n-droites, en divers articles de 1900 à 1929.

Un certain nombre d'articles et d'ouvrages ont été régulièrement consacrés au QC, en particulier par A. Oppermann en 1919, J.W. Clawson de 1917 à 1921 et plus récemment J.P. Ehrmann en 2004.

Le théorème de Kantor-Hervey ou des 4 médiatrices a été énoncé par S. Kantor en 1879 et démontré par F.R.J. Hervey en 1891 ; il a été repris par V. Thébault en 1944 et H.E. Fettis en 1948 et récemment par J.L. Aymé et A. Levelut en 2011.

L'approche barycentrique esquissée par L. Ripert en 1901 a été reprise de manière systématique et approfondie par C.A. van Tienhoven sur le site Encyclopedia of Quadrifigures ou EQF, permettant au groupe Quadriforum de poursuivre ses travaux.

La stelloïde cubique conjuguée du quadrilatère complet a été mentionnée par Jules Marchand en 1937, un siècle après Miquel ; elle a été redécouverte par Eckart Schmidt et étudiée par Bernard Gibert en 2014.

Au terme de cet article qui passe en revue le quadrilatère complet, ses courbes traditionnelles (parabole, deltoïde et cardioïdes) et d'autres, plus sophistiquées (stelloïde cubique, sa hessienne et sa cayleyenne), l'unité profonde de cette figure liée à la trisection de l'angle apparaît pleinement.

Un quadrilatère complet quelconque détermine une droite de Newton et une transformation Clawson-Schmidt, qui associe une inversion et une symétrie axiale; elle est définie par 2 points invariants F1 et F2 de milieu M (le cercle d'inversion a pour centre M et passe par F1 et F2 et l'axe de la symétrie est le 1^{er} axe de Steiner F1F2, la médiatrice de F1F2 étant le 2nd axe de Steiner). A l'inverse, une Cl-S et une droite Δn déterminent une infinité de QC inscrits dans la hessienne de Van Rees de la SC et dont les 6 sommets sont constitués de 3 paires de points conjugués Cl-S.

La somme des directions des 4 droites Di des QC inscrits dans la hessienne VR par rapport à une direction fixe (droite de Newton) est constante ; on a Σ θi = Cte.

Les QC partagent les propriétés suivantes, liées à la SC et à ses courbes associées :

- Les cercles circonscrits aux 4 triangles de référence Ti formés par ces droites prises 3 par 3 ont un point commun M, foyer de la parabole tangente aux 4 droites et appelé point de Miquel du QC.
- O Ce point M et les centres Oi de ces cercles circonscrits sont sur un même cercle de centre O et de rayon r, appelé cercle de Miquel du QC; ce cercle est le cercle intérieur d'une cardioïde tangente aux 4 cercles Ci, de centre O et de foyer M, transformée de la parabole dans la transformation Cl-S.
- \circ Les orthocentres Hi des triangles Ti sont alignés sur une droite Δh , appelée droite de Steiner-Miquel du QC.
- Les milieux μij des diagonales sont alignés sur une droite Δn, appelée droite de Newton du QC, qui passe par les milieux N de OH et N' de OH'.

- Les 16 centres des cercles inscrits et exinscrits des 4 triangles de référence sont sur 8 cercles de Steiner, dont 4 sont centrés sur le 2nd axe de Steiner et passent par F1 et F2 et 4 sont centrés sur le 1^{er} axe de Steiner.
- O Les médiatrices des segments OiHi sont concourantes en un point H, centre du cercle de Hervey, orthocentre du QI formé par les Oi et appelé point de Kantor-Hervey du QC; H se projette sur la directrice en un point H', barycentre des Hi et appelé point de Morley du QC.
- o L'axe de la parabole tangente aux 4 droites Di est la parallèle par M à la droite de Newton et sa directrice est perpendiculaire à cette droite.
- ο Les axes de la deltoïde tangente aux 4 droites Di sont parallèles aux asymptotes de la SC et font un angle de $\frac{1}{3}\Sigma\theta$ i m° $\pi/3$ avec l'axe de la parabole.
- o La droite symétrique de cet axe par rapport à la droite de Newton est l'asymptote de la hessienne VR; elle est tangente à la deltoïde.
- o Le cercle inscrit dans la deltoïde est le cercle de Hervey, de centre H, symétrique du cercle de Miquel par rapport au point N.
- O L'axe MO de la cardioïde tangente aux 4 cercles Ci fait un angle Σ θi avec l'axe de la parabole ; c'est le symétrique de l'axe de la parabole par rapport au 1^{er} axe de Steiner de la transformation Cl-S et la tangente en M à la hessienne.
- Les centres des 27 cardioïdes tangentes aux 4 droites Di sont les intersections des maillages de Morley des 4 triangles Ti : ils appartiennent à la stelloïde cubique conjuguée du quadrilatère complet; ses asymptotes sont les trisectrices de l'angle entre les axes de la parabole et de la cardioïde (ou de l'angle entre le 1^{er} axe de Steiner et l'axe de la parabole).

Si l'on considère un QC et 2 coniques inscrites dans ce QC, l'ensemble des QC inscrits dans la hessienne VR est déterminé par les 4 tangentes communes à 2 coniques confocales des 2 coniques inscrites (elles ont par construction leurs foyers sur la hessienne et leurs centres sur la droite de Newton).

- La SC conjuguée du QC a comme réseau tangentiel de coniques apolaires l'ensemble des coniques inscrites dans le QC; leurs foyers sont sur la hessienne VR et leurs centres sur la droite de Newton Δn.
- Elle a comme réseau ponctuel de coniques polaires l'ensemble des hyperboles équilatères qui coupent harmoniquement tous les segments joignant 2 points conjugués Cl-S; elles coupent la droite portant ces 2 points en 2 autres points conjugués harmoniques par rapport aux 2 premiers.
- La hessienne VR est le lieu des points pour lesquels les coniques polaires dégénèrent en un couple de droites perpendiculaires; elle est aussi le lieu des foyers des coniques inscrites qui sont 2 points conjugués Cl-S.
- La cayleyenne est l'enveloppe de l'ensemble des droites perpendiculaires constituant les coniques polaires dégénérées des points de la hessienne ou des axes des coniques inscrites, axe principal passant par 2 points conjugués Cl-S de la hessienne et axe secondaire, médiatrice du segment joignant ces 2 points.
- o La cayleyenne de la SC est aussi par construction celle de 2 autres cubiques.
- L'ensemble des cercles passant par 2 points conjugués de la hessienne et centrés sur l'un des 2 axes de Steiner généralisent les cercles de Steiner et appartiennent aux 2 réseaux d'autopoloconiques de la SC, communes à la SC et à l'une ou l'autre des 2 cubiques ayant la même cayleyenne.

Tableau des éléments remarquables

Nature	Légende	Nom	EQF	Propriété	Conjugué CI-S
Points	Aij Oi	6 sommets du QC 4 centres des Ci	Li^Lj	2 à 2 conjugués CI-S sur cercle de Miquel	Akl autre sommet symétrique de M/Di
	Hi	4 orthocentres des Ti		alignés sur droite Δh	
	hi	4 orthocentres des ti		symétriques des Oi/N	
	μij = μkl	milieu de AijAkl		alignés sur droite Δn	
	M	point de Miquel	P1	point des Ci et de C	point à l'infini
	0	centre centrique	P4	centre de cercle Cm	
	Н	point de Kantor-Hervey	Р3	sur 4 médiatrices d'Euler	
	H'	point de Morley	P2	barycentre des Hi	
	N	centre de Clawson	P5	milieu de OH - sur ∆n	
	N'		P22	milieu de OH' - sur ∆n	
	Ва	barycentre du QC	P12	sur droite de Newton	
	G	point Dimidium	P6	barycentre des Oi	
	G'			barycentre des hi	
	NS	point Newton-Steiner	P7	intersection Δn et Δh	
	Gδ		P8	centre de gravité de DT	
	Οδ		Р9	centre cercle circon de DT	-
	Нδ		P10	orthocentre de DT	
	Νδ		P11	centre cercle Euler de DT	
	P et P'	points de Plücker	2P1	cercles diamètre AijAkl	Q et Q'
	Q et Q'		2P4	cercle de Miquel	P et P'
	D1 à D4	points D		sur le cercle Dimidium	
	P1 à P4	centres de perspective		M, Di et Pi alignés	
	S1 à S3	points S		sur le cercle Dimidium	
	M1	tangentiel de M sur MO		asymptote et hessienne	M0
	F1 et F2 F'1 et	invariants CI-S	2P3	1er axe de Steiner	F1 et F2
	F'2			centres inversion de Cu1	F'2 et F'1
	F et F'		2P2	Δn et hessienne	
	F1δ et F2	lδinvariants Cl-Sdiag			
	ω			sur Δh, QQ' et Cl-S(Dimid)	Cω
	Cω			cercles Cm, Cp et Cd	ω

Tableau des éléments remarquables

Nature	Légende	Nom	EQF	Propriété	Conjugué CI-S
Droites	Di Δn Δh δ H'Hδ	4 droites du QC Newton Steiner M/Ti Simson M/Ti	L1 L2 L3 L4	milieux diagonales directrice de parabole tgte sommet de parab directrice de parabolediag	cercle Ci cercle par M, F et F' cercle Cm cercle tgt à cardioïde
Triangles	Ti ti t'i αβγ λμν	4 triangles de référence 4 triangles OjOkOl 4 triangles hjhkhl 1er diagonal 2nd diagonal	CT DT DDT	symétriques de ti/N perspective avec Ti perspective avec ti	
Cercles	Ci Cm Ch Cp Cd	4 circonscrits aux Ti Miquel Hervey Plücker Dimidium	Ci3 Ci4 Ci5 Ci6	point commun M centreO par les Oi centre h par les hi centre N par M, P et P' centre G par M et les S	droite Di droite Δh droite QQ' droite $K\omega$
Coniques	Γί Γ'ί Γδ Γ'δ	Parabole Parabole associée 4 isogonales de KiCoPi 3 coniques des 9 points isogonale de KδCoPδ	Co1 Co2	tangente aux 4 Di par 4 points de tgce par les 3 points S par les 3 points S par les 3 points S par les 3 points S	cardioïde de Morley
Cubiques	27 points	stelloïde cubique hessienne de Van Rees 2 autres hessiennes	Cu2 Cu1	centres des cardioïdes 6 sommets et M même cayleyenne que Cu	invariante 2
Quartiques	Deltoïde Cardioïde Cardioïdes	•		tangente aux 4 Ci tangentes aux 4 Di	parabole tgte aux 4 Di
Sextique		Cayleyenne de la SC		commune à 3 cubiques	

Bibliographie

(On trouvera dans les articles de Jean-Pierre Ehrmann, John Wentworth Clawson et Jean-Louis Aymé et sur le site de Chris van Tienhoven Encyclopedia of Quadricenters de nombreuses autres références non reprises)

Pères fondateurs

- (1) J. Steiner 1827 Théorème sur le Quadrilatère Complet Annales de Gergonne
- (2) Van Rees 1829 Mémoire sur les focales
- (3) A. Miquel 1838 Théorèmes de géométrie Journal de mathématiques de Liouville

Anciens

- (4) Laguerre 1878 Sur la cardioïde et 1879 Sur quelques propriétés de la H3
- (5) S. Kantor 1879 Quelques théorèmes nouveaux sur la H3
- (6) F.R.J. Hervey 1891 problem 10088 and solution Mathematical questions and solutions from the Educational Times (reproduit dans l'article de J.L. Aymé)
- (7) Frank Morley 1900 On the metric geometry of the plane n-line

1902 Orthocentric properties of the plane n-line

1907 On reflexive geometry

1929 Extensions of Clifford's Chain Theorem

1929 Inversive Geometry

- (8) Léon Ripert 1901 Notes sur la géométrie du quadrilatère
- (9) J. Lemaire 1913 et 1918 Sur l'hypocycloïde à trois rebroussements (repris et développé dans l'ouvrage réédité en 1967 Hypocycloïdes et épicycloïdes Blanchard)
- (10) R. Goormagtigh 1914 Mathesis (article cité par A. Oppermann et J.P. Ehrmann)
- (11) Sister Mary Gervase 1917 On the cardioïds fulfilling certain assigned conditions Catholic University of America
- (12) A. Oppermann 1919 Premiers éléments d'une théorie du QC Gauthiers-Villars
- (13) J.W. Clawson 1917 Points, Lines and Circles connected with the QC

1919 The complete Quadrilateral

1921 More theorems on the Complete Quadrilateral

- (14) R. Bricard 1923 Sur les droites moyennes d'un triangle
- (15) Paul Smith Wagner 1929 An extension to Clifford's chain

Modernes

- (16) Jules Marchand 1937 Géométrie du quadrilatère complet Bulletin de la Société Vaudoise des Sciences Naturelles
- (17) Victor Thébault 1944 Sur le point de Kantor-Hervey et 1954 Concerning the QC
- (18) R. Goormagtigh 1947 The Hervey point of the general n-line
- (19) Henry E. Fettis 1948 The complete quadrilateral
- (20) Général Marmion 1956 Epi- ou hypocycloïdes semblables tangentes à 2,3 ou 4 droites Mathesis

Contemporains

- (21) André Viricel Le théorème de Morley A.D.C.S. 1993
- (22) Alex Bogomolny 1998 Doodling and Miracles Morley's Pursuit of Incidence 1999 Lines, Circles and Beyond – On Motivation and Understanding
- (23) Jean-Pierre Ehrmann 2004 Steiner's Theorems on the Complete Quadrilateral
- (24) D. Roux et M. Tixier, 3 articles sur les cubiques, configurations de Reyes et involutions quadratiques dans Quadrature numéros 46, 47 et 65
- (25) Jean-Pierre Ehrmann and Bernard Gibert Special Isocubics in the Triangle Plane
- (26) Eckart Schmidt Das Steiner Dreieck von vier Punkten

Miquel-, Poncelet- und Bennett Punkt eines Vierecks Geometrie auf der Zirkularkurve

- (27) Quadrature (problème numéro E274 des 4 médiatrices posé par F. Gaspalou dans le numéro 64 de la revue et solution de J.N. Pasquay publiée dans le numéro 73)
- (28) Jean-Louis Aymé 2003 Méthodes et techniques en géométrie ; à propos de la droite de Newton et 2011 Le point de Kantor-Hervey
- (29) Alain Levelut 2011 A Note on the Hervey Point of a Complete Quadrilateral
- (30) Bernard Keizer 2013 La Géométrie du Quadrilatère Complet
- (31) Bernard Gibert 2013 Inscribed Cardioïds and Eckart Cubics

Ouvrages généraux

- (32) R. Cuppens Faire de la géométrie supérieure en jouant avec Cabri-géométre II Bulletins de l'APMEP n° 124 et 125
- (33) T. Lalesco La géométrie du triangle Vuibert 1952
- (34) H. Brocard et T. Lemoyne Courbes géométriques remarquables Vuibert 1919
- (35) J.D. Eiden Géométrie analytique classique Calvage et Mounet 2009
- (36) G. Salmon Traité de géométrie analytique : courbes planes 1884

Sites Internet

- http://bernardkeizer.blogspot.fr, article de Bernard Keizer
- <u>www.forumgeom.fau.edu</u>, site Forum Geometricorum, articles de Jean-Pierre Ehrmann et Alain Levelut
- <u>www.jl.ayme.pagesperso-orange.fr</u>, articles de Jean-Louis Aymé
- <u>www.numdam.org</u>, site d'articles numérisés de la Bibliothèque Nationale de France : articles de Bricard, Kantor, Laguerre, Lemaire et Steiner
- http://retro.seals.ch/stelloïde cubique, article de Jules Marchand
- www.mathworld.wolfram.com, site de mathématiques de référence de Eric Weisstein
- www.cut-the-knot.org, articles de Alex Bogomolny
- <u>www.faculty.evansville.edu</u>, Encyclopedia of Triangle Centers ETC, site de Clark Kimberling consacré aux points remarquables du triangle
- <u>www.chrisvantienhoven.nl</u>, Encyclopedia of Quadri-Figures, site de Chris van Tienhoven consacré aux points, lignes, courbes et transformations remarquables des quadrangles et quadrilatères
- <u>www.bernard.gibert.pagesperso-orange.fr</u>, site de Bernard Gibert consacré aux cubiques
- www.eckartschmidt.de, articles de Eckart Schmidt

« On a compris déjà que Sisyphe est le héros absurde.

Il l'est autant par ses passions que par ses tourments.

Son mépris des dieux, sa haine de la mort et sa passion pour la vie lui ont valu ce supplice indicible où tout l'être s'emploie à ne rien achever «

Albert Camus Le mythe de Sisyphe